



ใบรับรองวิทยานิพนธ์
บัณฑิตวิทยาลัย มหาวิทยาลัยเกษตรศาสตร์

วิศวกรรมศาสตร์มหาบัณฑิต (วิศวกรรมเคมี)

บริษัทฯ

วิศวกรรมเคมี

สาขา

วิศวกรรมเคมี

ภาควิชา

เรื่อง การจำลองการเปลี่ยนแปลงทางสัณฐานวิทยาในช่วงระหว่างการตกผลึกของพอลิเมอร์
ภายใต้สภาพที่มีเกรดีบันต์ของอุณหภูมิ

Simulation of Morphological Development during Polymer Crystallization in a
Temperature Gradient

นามผู้วิจัย นางสาวฐิติพร สุขสด

ได้พิจารณาเห็นชอบโดย

อาจารย์ที่ปรึกษาวิทยานิพนธ์หลัก

(ผู้ช่วยศาสตราจารย์ศิริพล อนันดาธรรม, Ph.D.)

อาจารย์ที่ปรึกษาวิทยานิพนธ์ร่วม

(รองศาสตราจารย์พึงพา บรรณวดี, Ph.D.)

หัวหน้าภาควิชา

(รองศาสตราจารย์พึงพา บรรณวดี, Ph.D.)

บัณฑิตวิทยาลัย มหาวิทยาลัยเกษตรศาสตร์รับรองแล้ว

(รองศาสตราจารย์กัญจนा ชีระกุล, D.Agr.)

คณบดีบัณฑิตวิทยาลัย

วันที่ เดือน พ.ศ.

สิงห์ มหาวิทยาลัยเกษตรศาสตร์

วิทยานิพนธ์

เรื่อง

การจำลองการเปลี่ยนแปลงทางสัณฐานวิทยาในช่วงระหว่างการตกผลึกของพอลิเมอร์
ภายใต้สภาวะที่มีเกรดีบันต์ของอุณหภูมิ

Simulation of Morphological Development during Polymer Crystallization in
a Temperature Gradient

โดย

นางสาวจิตติพร สุขสด

เสนอ

บัณฑิตวิทยาลัย มหาวิทยาลัยเกษตรศาสตร์
เพื่อความสมบูรณ์แห่งปริญญาวิศวกรรมศาสตร์บัณฑิต (วิศวกรรมเคมี)

พ.ศ. 2553

สิงหาคม ๒๕๕๓ มหาวิทยาลัยเกษตรศาสตร์

ฐิติพร สุขสด 2553: การจำลองการเปลี่ยนแปลงทางสัมฐานวิทยาในช่วงระหว่างการตกผลึกของโพลีเมอร์ภายใต้สภาพที่มีเกรดเดียนต์ของอุณหภูมิ ปริญญาวิศวกรรมศาสตร์ มหาบัณฑิต (วิศวกรรมเคมี) สาขาวิศวกรรมเคมี ภาควิชาเคมี อาจารย์ที่ปรึกษา วิทยานิพนธ์หลัก: ผู้ช่วยศาสตราจารย์สิริพลด อนันต์วรสกุล, Ph.D. 114 หน้า

การตกผลึกโพลีเมอร์ในระดับอุตสาหกรรมส่วนใหญ่จะเกิดการตกผลึกภายใต้สภาพที่มีเกรดเดียนต์ของอุณหภูมิ งานวิจัยนี้จึงศึกษาการจำลองการตกผลึกของชินดิโอลแทคติก พอลิโพร์พีลิน ในลักษณะ 2 มิติ ภายใต้สภาพที่มีเกรดเดียนต์ของอุณหภูมิที่ส่งผลกระทบต่อจลนพลศาสตร์ของการตกผลึกและการเปลี่ยนแปลงทางสัมฐานวิทยาในช่วงระหว่างการตกผลึกของโพลีเมอร์ จากการเปรียบเทียบผลการจำลองกับผลการทดลองพบว่ามีความสอดคล้องกัน จึงสามารถยืนยันได้ว่าผลการจำลองการตกผลึกภายใต้สภาพที่มีเกรดเดียนต์ของอุณหภูมิมีความถูกต้อง ผลการศึกษาแสดงให้เห็นว่าการตกผลึกภายใต้สภาพที่มีเกรดเดียนต์ของอุณหภูมิจะส่งผลกระทบต่อความหนาแน่นของนิวเคลียสและการกระจายตัวของตำแหน่งนิวเคลียส โดยนิวเคลียสส่วนใหญ่จะเกิดหนาแน่นในบริเวณที่อุณหภูมิต่ำ และส่งผลกระทบต่อรูปร่างของสเฟียร์ไอลท์ทำให้มีลักษณะคล้ายวงรี ซึ่งรูปร่างของสเฟียร์ไอลท์จะขึ้นอยู่กับตำแหน่งที่เกิดนิวเคลียสในช่วงอุณหภูมิที่พิจารณา สำหรับการตกผลึกทั้งในช่วงอุณหภูมิ 40 ถึง 100 องศาเซลเซียส ซึ่งมีการเกิดนิวเคลียสแบบวิชพันธุ์ และในช่วงอุณหภูมิ 10 ถึง 40 องศาเซลเซียส ซึ่งมีการเกิดนิวเคลียสแบบเอกพันธุ์ พบว่าการตกผลึกภายใต้สภาพที่มีเกรดเดียนต์ของอุณหภูมิจะส่งผลกระทบต่อการเปลี่ยนแปลงของจลนพลศาสตร์ของการตกผลึกและการสัมฐานวิทยา ซึ่งต้องพิจารณาถึงความหนาแน่นของนิวเคลียส การกระจายตัวของตำแหน่งนิวเคลียสและอัตราการเติบโตของผลึกในช่วงอุณหภูมิที่พิจารณา นอกจากนี้ยังพบว่าส่วนใหญ่การตกผลึกภายใต้สภาพที่มีเกรดเดียนต์ของอุณหภูมิสามารถนำค่าเฉลี่ยของค่าอัตราการตกผลึกของ Avrami มาใช้เป็นตัวชี้วัดอัตราการตกผลึกได้โดยเฉพาะในช่วงต้นของการตกผลึก

Thtitporn Sooksod 2010: Simulation of Morphological Development during Polymer Crystallization in a Temperature Gradient. Master of Engineering (Chemical Engineering), Major Field: Chemical Engineering, Department of Chemical Engineering. Thesis Advisor: Assistant Professor Siripon Anantawaraskul, Ph.D. 114 pages.

Polymer crystallization in the industrial process mostly occurs in temperature gradient. This research investigated crystallization simulation of syndiotactic polypropylene in 2 dimensions in a temperature gradient, which affects crystallization kinetics and morphological development during polymer crystallization. Crystallization kinetics obtained from simulation was found to be in a good agreement with those obtained from experiments, confirming the validity of the proposed simulation approach. It was found that temperature gradient affected nucleation density and position of nuclei. Most of nuclei occurred in the low temperature area. It also affected the spherulite shape, distorting to an elliptical shape. The shape is depended on position of nuclei at the considered temperature period. For crystallization in temperature range between 40°C and 100°C (heterogeneous nucleation) and between 10°C and 40°C (homogeneous nucleation), it was found that temperature gradient affect crystallization kinetics and morphological development. Effect of temperature gradient on nucleation density, distribution of nuclei position and growth rate must be considered. The study found that the average of Avrami crystallization rate constants can be used to indicate crystallization kinetic rate, especially at the early of crystallization.

Student's signature

Thesis Advisor's signature

/ /

กิตติกรรมประกาศ

ผู้วิจัยขอกราบขอบพระคุณ ผศ. ดร. สิริพล อนันต์วรสกุล อาจารย์ที่ปรึกษาวิทยานิพนธ์ หลัก ที่ให้คำปรึกษาในการเรียน การค้นคว้าวิจัย ตลอดจนการตรวจแก้ไขวิทยานิพนธ์จนกระทั่ง งานวิจัยนี้เสร็จสมบูรณ์ และขอกราบขอบพระคุณ รศ.ดร. ฟิลิป พวรรณวดี กรรมการที่ปรึกษาร่วม ที่ให้คำแนะนำที่มีประโยชน์ต่อการศึกษานี้

ขอขอบคุณ โครงการพัฒนาบัณฑิตศึกษาและวิจัยด้านวิชากรรมเคมี ภายใต้ศูนย์ความเป็น เลิศแห่งชาติด้านปิโตรเคมี ปิโตรเคมี และวัสดุขั้นสูง และสถาบันวิจัยและพัฒนาแห่ง มหาวิทยาลัยเกษตรศาสตร์ ที่สนับสนุนทุนวิจัยในการพัฒนาการจำลองในงานวิจัยนี้

ขอกราบขอบพระคุณอาจารย์ภาควิชาเคมีทุกท่าน มหาวิทยาลัยเกษตรศาสตร์ ที่ ได้อบรมสั่งสอนและมอบความรู้อันเป็นประโยชน์อย่างยิ่งในการนำไปใช้ประโยชน์ต่อไป และ เจ้าหน้าที่ภาควิชาเคมีทุกท่าน ที่ได้ให้ความช่วยเหลือและให้คำแนะนำต่างๆ และที่ขาด ไม่ได้ขอบพระคุณ พี่อุเทน นันพลกุทรพย์ ที่เคยให้คำปรึกษาในทุกเรื่อง นอกจากนี้ขอขอบคุณ กำลังใจอีกมากจากเพื่อนๆ และน้องๆ ในห้องวิจัยทุกคน

ฐิติพร สุขสุด
ธันวาคม 2552

สารบัญ

หน้า

สารบัญ	(1)
สารบัญตาราง	(2)
สารบัญภาพ	(4)
คำอธิบายสัญลักษณ์และคำย่อ	(10)
คำนำ	1
วัตถุประสงค์และขอบเขตงานวิจัย	4
การตรวจเอกสาร	5
อุปกรณ์และวิธีการ	27
อุปกรณ์	27
วิธีการ	28
ผลและวิจารณ์	38
สรุปและข้อเสนอแนะ	91
เอกสารและสิ่งอ้างอิง	93
ภาคผนวก	97
ประวัติการศึกษา และการทำงาน	114

สารบัญตาราง

ตารางที่	หน้า
1 ค่าคงที่พิเศษมิติของ Avrami	16
2 ค่าเฉลี่ยของค่าคงที่อัตราการตกผลึกของ Avrami ภายใต้สภาวะที่มีกรดเป็นตัวของอุณหภูมิด้วยการเกิดนิวเคลียสแบบบิวิชพันธุ์ที่อุณหภูมิกึ่งกลาง 60 องศาเซลเซียส	53
3 ค่าเฉลี่ยของค่าคงที่อัตราการตกผลึกของ Avrami ภายใต้สภาวะที่มีกรดเป็นตัวของอุณหภูมิด้วยการเกิดนิวเคลียสแบบบิวิชพันธุ์ที่อุณหภูมิกึ่งกลาง 70 องศาเซลเซียส	54
4 ค่าเฉลี่ยของค่าคงที่อัตราการตกผลึกของ Avrami ภายใต้สภาวะที่มีกรดเป็นตัวของอุณหภูมิด้วยการเกิดนิวเคลียสแบบบิวิชพันธุ์ที่อุณหภูมิกึ่งกลาง 80 องศาเซลเซียส	55
5 ค่าเฉลี่ยของค่าคงที่อัตราการตกผลึกของ Avrami ภายใต้สภาวะที่มีกรดเป็นตัวของอุณหภูมิด้วยการเกิดนิวเคลียสแบบบิวิชพันธุ์ที่อุณหภูมิด้านซ้าย 40 องศาเซลเซียส	56
6 ค่าเฉลี่ยของค่าคงที่อัตราการตกผลึกของ Avrami ภายใต้สภาวะที่มีกรดเป็นตัวของอุณหภูมิด้วยการเกิดนิวเคลียสแบบเอกพันธุ์ที่ช่วงอุณหภูมิต่างๆ	78
7 ค่าเฉลี่ยของค่าคงที่อัตราการตกผลึกของ Avrami ภายใต้สภาวะที่มีกรดเป็นตัวของอุณหภูมิด้วยการเกิดนิวเคลียสแบบเอกพันธุ์ที่อุณหภูมิกึ่งกลาง 25 องศาเซลเซียส	79
8 ค่าเฉลี่ยของค่าคงที่อัตราการตกผลึกของ Avrami ภายใต้สภาวะที่มีกรดเป็นตัวของอุณหภูมิด้วยการเกิดนิวเคลียสแบบเอกพันธุ์ที่อุณหภูมิด้านซ้าย 10 องศาเซลเซียส	80

ตารางผนวกที่

1 ค่าสัดส่วนความเป็นผลึกที่ช่วงอุณหภูมิต่างๆ ด้วยการเกิดนิวเคลียสแบบบิวิชพันธุ์	98
2 ค่าสัดส่วนความเป็นผลึกที่อุณหภูมิกึ่งกลาง 60 องศาเซลเซียส ด้วยการเกิดนิวเคลียสแบบบิวิชพันธุ์	99
3 ค่าสัดส่วนความเป็นผลึกที่อุณหภูมิกึ่งกลาง 70 องศาเซลเซียส ด้วยการเกิดนิวเคลียสแบบบิวิชพันธุ์	100
4 ค่าสัดส่วนความเป็นผลึกที่อุณหภูมิกึ่งกลาง 80 องศาเซลเซียส ด้วยการเกิดนิวเคลียสแบบบิวิชพันธุ์	101

สารบัญตาราง (ต่อ)

ตารางที่	หน้า
5 ค่าสัดส่วนความเป็นผลึกที่อุณหภูมิด้านซ้าย 40 องศาเซลเซียส ด้วยการเกิดนิวเคลียสแบบวิธพันธุ์	102
6 ค่าสัดส่วนจำนวนผลึกเมื่อตกลดลึกระยะที่ช่วงอุณหภูมิต่างๆ ด้วยการเกิดนิวเคลียสแบบวิธพันธุ์	103
7 ค่าสัดส่วนจำนวนผลึกเมื่อตกลดลึกระยะที่อุณหภูมิกึ่งกลาง 60 องศาเซลเซียส ด้วยการเกิดนิวเคลียสแบบวิธพันธุ์	104
8 ค่าสัดส่วนจำนวนผลึกเมื่อตกลดลึกระยะที่อุณหภูมิกึ่งกลาง 70 องศาเซลเซียส ด้วยการเกิดนิวเคลียสแบบวิธพันธุ์	105
9 ค่าสัดส่วนจำนวนผลึกเมื่อตกลดลึกระยะที่อุณหภูมิกึ่งกลาง 80 องศาเซลเซียส ด้วยการเกิดนิวเคลียสแบบวิธพันธุ์	106
10 ค่าสัดส่วนจำนวนผลึกเมื่อตกลดลึกระยะที่อุณหภูมิด้านซ้าย 40 องศาเซลเซียส ด้วยการเกิดนิวเคลียสแบบวิธพันธุ์	107
11 ค่าสัดส่วนความเป็นผลึกที่ช่วงอุณหภูมิต่างๆ ด้วยการเกิดนิวเคลียสแบบเอกพันธุ์	108
12 ค่าสัดส่วนความเป็นผลึกที่อุณหภูมิกึ่งกลาง 25 องศาเซลเซียส ด้วยการเกิดนิวเคลียสแบบเอกพันธุ์	109
13 ค่าสัดส่วนความเป็นผลึกที่อุณหภูมิด้านซ้าย 10 องศาเซลเซียส ด้วยการเกิดนิวเคลียสแบบเอกพันธุ์	110
14 ค่าสัดส่วนจำนวนผลึกเมื่อตกลดลึกระยะที่ช่วงอุณหภูมิต่างๆ ด้วยการเกิดนิวเคลียสแบบเอกพันธุ์	111
15 ค่าสัดส่วนจำนวนผลึกเมื่อตกลดลึกระยะที่อุณหภูมิกึ่งกลาง 25 องศาเซลเซียส ด้วยการเกิดนิวเคลียสแบบเอกพันธุ์	112

สารบัญภาพ

ภาพที่	หน้า
1 โครงสร้างของ Fringed Micelle เสนอโดย Hermann และ Gerngross	6
2 ภาพวาดในลักษณะ 2 มิติของลาไมลาที่มีการจัดเรียงตัวเป็นทรงกลมโดยนิวเคลียส เกิดจากหนึ่งลาไมลา	6
3 ความสัมพันธ์ระหว่างความเร็วของการเติบโตของผลึกในลักษณะเด่นตรงของ Poly(tetramethyl-p-silphenylene siloxene) กับอุณหภูมิที่ตกผลึก	12
4 แผนภาพการเปรียบเทียบของอัตราการตกผลึกกับอุณหภูมิ	14
5 ตัวอย่างภาพถ่ายจากกล้องจุลทรรศน์แบบใช้แสงโพลาร์ไรซ์แสดงถึงสัมฐานวิทยา เมื่อตกผลึกสมบูรณ์ของ Poly (L-lactic acid) ที่ตกผลึกภายใต้สภาวะอุณหภูมิกองที่ ที่อุณหภูมิ (ก) 116 องศาเซลเซียส และ (ข) 121 องศาเซลเซียส แลบวัดขนาดยาว 50 ไมโครเมตร	18
6 ตัวอย่างภาพถ่ายจากกล้องจุลทรรศน์แบบใช้แสงโพลาร์ไรซ์แสดงถึงการเปลี่ยนแปลงสัมฐานวิทยาในช่วงระหว่างการตกผลึกของไอโซแทคติก พอลิโพรพิลีนภายใต้สภาวะที่มีเกรดีเยนต์ของอุณหภูมิ 20 องศาเซลเซียสต่อ มิลลิเมตร	23
7 ตัวอย่างสัมฐานวิทยาในเชิงคุณภาพในช่วงระหว่างการตกผลึกของไอโซแทคติก พอลิโพรพิลีนภายใต้สภาวะที่มีเกรดีเยนต์ของอุณหภูมิ 35 องศาเซลเซียสต่อ มิลลิเมตร (ก) ผลการจำลอง (ข) ผลการทดลองจากกล้องจุลทรรศน์แบบใช้แสงโพลาร์ไรซ์จาก Pawlak and Piorkowska (2001)	25
8 การจำลองการตกผลึกภายใต้สภาวะที่มีเกรดีเยนต์ของอุณหภูมิที่เวลาเริ่มต้น ($t_0 = 0$)	28
9 การคำนวณค่าความหนาแน่นของนิวเคลียสด้วยการเกิดนิวเคลียสแบบวิธีพันธุ์ ภายใต้สภาวะที่มีเกรดีเยนต์ของอุณหภูมิพิจารณาในช่วงอุณหภูมิ 40 ถึง 100 องศาเซลเซียส	30
10 แผนผังลำดับขั้นตอนการจำลองการตกผลึกของพอลิเมอร์ภายใต้สภาวะที่มีเกรดีเยนต์ของอุณหภูมิ ด้วยการเกิดนิวเคลียสแบบวิธีพันธุ์	32

สารบัญภาพ (ต่อ)

ภาพที่	หน้า
11 ความสัมพันธ์ของอัตราการเติบโตของผลึก ค่าคงที่ของอัตราการตกผลึกของ Avrami และความหนาแน่นของนิวเคลียสของชิ้นดิโอแทกติก พอลิโพรพิลีน ในช่วงอุณหภูมิ 40 ถึง 100 องศาเซลเซียส ด้วยการเกิดนิวเคลียสแบบวิวิชพันธุ์	33
12 การคำนวณค่าอัตราการเกิดนิวเคลียสด้วยการเกิดนิวเคลียสแบบเอกพันธุ์ภายใต้ สภาวะที่มีเกรเดียนต์ของอุณหภูมิพิจารณาในช่วงอุณหภูมิ 10 ถึง 40 องศาเซลเซียส	34
13 แผนผังลำดับขั้นตอนการจำลองการตกผลึกของพอลิเมอร์ภายใต้สภาวะที่มี เกรเดียนต์ของอุณหภูมิ ด้วยการเกิดนิวเคลียสแบบเอกพันธุ์	36
14 ความสัมพันธ์ของอัตราการเติบโตของผลึกค่าคงที่ของอัตราการตกผลึกของ Avrami และอัตราการเกิดนิวเคลียสของชิ้นดิโอแทกติก พอลิโพรพิลีน ในช่วง อุณหภูมิ 10 ถึง 40 องศาเซลเซียส ด้วยการเกิดนิวเคลียสแบบวิวิชพันธุ์	37
15 ตัวอย่างผลทางสัมฐานวิทยาที่ได้จากการจำลองการเกิดนิวเคลียสแบบวิวิชพันธุ์ ภายใต้สภาวะที่มีเกรเดียนต์ของอุณหภูมิในอุณหภูมิช่วง 40 ถึง 100 องศาเซลเซียส	39
16 ตัวอย่างการจำลองการเติบโตของสารเฟียร์ไลท์ภายใต้สภาวะที่มีเกรเดียนต์ของ อุณหภูมิในช่วงอุณหภูมิ 40 ถึง 100 องศาเซลเซียส ที่ต่ำแหน่งนิวเคลียส (ก) (20,80) (ข) (80,80) และ (ก) (140,80) ที่เวลา 15 นาที	40
17 ตัวอย่างการจำลองสัมฐานวิทยาในช่วงระหว่างการตกผลึกภายใต้สภาวะที่มี เกรเดียนต์ของอุณหภูมิในเชิงคุณภาพด้วยการเกิดนิวเคลียสแบบวิวิชพันธุ์ที่ อุณหภูมิช่วง 40 ถึง 100 องศาเซลเซียส	41
18 การเปรียบเทียบจำนวนผลศาสตร์ของการตกผลึกภายใต้สภาวะที่มีเกรเดียนต์ของ อุณหภูมิระหว่างผลการทดลองจาก Pawlak and Piorkowska (2001) (สัญลักษณ์*) กับ ผลการจำลอง (เส้นทึบ)	42
19 การเปรียบเทียบจำนวนผลศาสตร์ของการตกผลึกภายใต้สภาวะที่มีเกรเดียนต์ของ อุณหภูมิระหว่างผลการคำนวณ (สัญลักษณ์**ป้อง) ผลการจำลอง (สัญลักษณ์ทึบ) และอุณหภูมิกองที่ (เส้นทึบ)	44

สารบัญภาพ (ต่อ)

ภาพที่	หน้า
20 การเปรียบเทียบจลนพลศาสตร์ของการตกผลึกภายในไส้สภากะอุณหภูมิกองที่ (สัญลักษณ์ทึบ) และเกรเดียนต์ของอุณหภูมิที่พิจารณาเฉพาะช่วงที่อุณหภูมิกองที่ (สัญลักษณ์ไปร์ง) (ก) 50 องศาเซลเซียส (ข) 70 องศาเซลเซียส และ (ค) 90 องศาเซลเซียส	46
21 การเปรียบเทียบจลนพลศาสตร์ของการตกผลึกภายในไส้สภากะอุณหภูมิกองที่ (สัญลักษณ์ทึบ) และ เกรเดียนต์ของอุณหภูมิ (สัญลักษณ์ไปร์ง)	48
22 ผลกระทบจากเกรเดียนต์ของอุณหภูมิด้วยการเกิดนิวเคลียสแบบวิวิชพันธุ์ที่อุณหภูมิกองกล่องต่างๆ ต่อ (ก) ค่าเฉลี่ยของค่าคงที่อัตราการตกผลึกของ Avrami (ข) ร้อยละของความแตกต่างเมื่อเทียบกับกรณีอุณหภูมิกองที่	50
23 ผลกระทบจากการตกผลึกภายในไส้สภากะที่มีเกรเดียนต์ของอุณหภูมิต่อจลนพลศาสตร์ของการตกผลึกที่อุณหภูมิกองกล่อง 60 องศาเซลเซียส	53
24 ผลกระทบจากการตกผลึกภายในไส้สภากะที่มีเกรเดียนต์ของอุณหภูมิต่อจลนพลศาสตร์ของการตกผลึกที่อุณหภูมิค้านกับกล่องเท่ากับ 70 องศาเซลเซียส	54
25 ผลกระทบจากการตกผลึกภายในไส้สภากะที่มีเกรเดียนต์ของอุณหภูมิต่อจลนพลศาสตร์ของการตกผลึกที่อุณหภูมิกองกล่อง 80 องศาเซลเซียส	55
26 ผลกระทบจากการตกผลึกภายในไส้สภากะที่มีเกรเดียนต์ของอุณหภูมิค้านช้าเท่ากับ 40 องศาเซลเซียส	56
27 ผลกระทบจากการตกผลึกภายในไส้สภากะที่มีเกรเดียนต์ของอุณหภูมิที่ช่วงอุณหภูมิต่างๆ ด้วยการเกิดนิวเคลียสแบบวิวิชพันธุ์ต่อขนาดเนลี่ยของผลึกในช่วงระหว่างการตกผลึก	59
28 ผลกระทบจากการตกผลึกภายในไส้สภากะที่มีเกรเดียนต์ของอุณหภูมิต่อขนาดเนลี่ยของผลึกในช่วงระหว่างการตกผลึกที่อุณหภูมิกองกล่อง 60 องศาเซลเซียส	59
29 ผลกระทบจากการตกผลึกภายในไส้สภากะที่มีเกรเดียนต์ของอุณหภูมิต่อขนาดเนลี่ยของผลึกในช่วงระหว่างการตกผลึกที่อุณหภูมิกองกล่องเท่ากับ 70 องศาเซลเซียส	60
30 ผลกระทบจากการตกผลึกภายในไส้สภากะที่มีเกรเดียนต์ของอุณหภูมิต่อขนาดเนลี่ยของผลึกในช่วงระหว่างการตกผลึกที่อุณหภูมิกองกล่อง 80 องศาเซลเซียส	60

สารบัญภาพ (ต่อ)

ภาพที่	หน้า
31 ผลกราฟจาก การตอกผลึกภายในช่วงระหว่าง การตอกผลึกที่อุณหภูมิ ต่ำกว่า 40 องศาเซลเซียส	61
32 ผลกราฟจาก การตอกผลึกภายในช่วงระหว่าง อุณหภูมิ ต่ำๆ ด้วยการเกิดนิวเคลียสแบบวิธีพัฒนา ต่อการกระจายตัวของขนาดผลึกในช่วงระหว่าง การตอกผลึก (ก) 40 ถึง 60 องศาเซลเซียส (ข) 50 ถึง 70 องศาเซลเซียส (ค) 60 ถึง 80 องศาเซลเซียส (ง) 70 ถึง 90 องศาเซลเซียส และ (จ) 80 ถึง 100 องศาเซลเซียส	64
33 ผลกราฟจาก การตอกผลึกภายในช่วงระหว่าง การตอกผลึกที่อุณหภูมิกึ่งกลาง 60 องศาเซลเซียส (ก) 60 องศาเซลเซียส (ข) 55 ถึง 65 องศาเซลเซียส (ค) 50 ถึง 70 องศาเซลเซียส (ง) 45 ถึง 75 องศาเซลเซียส และ (จ) 40 ถึง 80 องศาเซลเซียส	66
34 ผลกราฟจาก การตอกผลึกภายในช่วงระหว่าง การตอกผลึกที่อุณหภูมิกึ่งกลาง 70 องศาเซลเซียส (ก) 70 องศาเซลเซียส (ข) 60 ถึง 80 องศาเซลเซียส (ค) 50 ถึง 90 องศาเซลเซียส และ (ง) 40 ถึง 100 องศาเซลเซียส	68
35 ผลกราฟจาก การตอกผลึกภายในช่วงระหว่าง การตอกผลึกที่อุณหภูมิกึ่งกลาง 80 องศาเซลเซียส (ก) 80 องศาเซลเซียส (ข) 75 ถึง 85 องศาเซลเซียส (ค) 70 ถึง 90 องศาเซลเซียส (ง) 65 ถึง 95 องศาเซลเซียส และ (จ) 60 ถึง 100 องศาเซลเซียส	69
36 ผลกราฟจาก การตอกผลึกภายในช่วงระหว่าง การตอกผลึกที่อุณหภูมิ ต่ำกว่า 40 องศาเซลเซียส (ก) 40 ถึง 60 องศาเซลเซียส (ข) 40 ถึง 80 องศาเซลเซียส และ (ค) 40 ถึง 100 องศาเซลเซียส	71

สารบัญภาพ (ต่อ)

ภาพที่	หน้า
37 ผลกระทบจากการตอกผลึกภายในให้สภาวะที่มีเกรเดียนต์ของอุณหภูมิที่ช่วงอุณหภูมิต่างๆ ด้วยการเกิดนิวเคลียสแบบวิวิชพันธุ์ต่อการกระจายตัวของขนาดผลึกเมื่อตอกผลึกสมบูรณ์	73
38 ผลกระทบจากการตอกผลึกภายในให้สภาวะที่มีเกรเดียนต์ของอุณหภูมิต่อการกระจายตัวของขนาดผลึกเมื่อตอกผลึกสมบูรณ์ที่อุณหภูมิกึ่งกลาง 60 องศาเซลเซียส	73
39 ผลกระทบจากการตอกผลึกภายในให้สภาวะที่มีเกรเดียนต์ของอุณหภูมิต่อการกระจายตัวของขนาดผลึกเมื่อตอกผลึกสมบูรณ์ที่อุณหภูมิกึ่งกลาง 70 องศาเซลเซียส	74
40 ผลกระทบจากการตอกผลึกภายในให้สภาวะที่มีเกรเดียนต์ของอุณหภูมิต่อการกระจายตัวของขนาดผลึกเมื่อตอกผลึกสมบูรณ์ที่อุณหภูมิกึ่งกลาง 80 องศาเซลเซียส	74
41 ผลกระทบจากการตอกผลึกภายในให้สภาวะที่มีเกรเดียนต์ของอุณหภูมิต่อการกระจายตัวของขนาดผลึกเมื่อตอกผลึกสมบูรณ์ที่อุณหภูมิค้านซ้าย 40 องศาเซลเซียส	75
42 ตัวอย่างการจำลองสัมฐานวิทยาในช่วงระหว่างการตอกผลึกภายในให้สภาวะที่มีเกรเดียนต์ของอุณหภูมิในเชิงคุณภาพด้วยการเกิดนิวเคลียสแบบเอกพันธุ์ที่อุณหภูมิช่วง 30 ถึง 40 องศาเซลเซียส	76
43 ผลกระทบจากการตอกผลึกภายในให้สภาวะที่มีเกรเดียนต์ของอุณหภูมิที่ช่วงอุณหภูมิต่างๆ ด้วยการเกิดนิวเคลียสแบบเอกพันธุ์ต่อจลนพลศาสตร์ของการตอกผลึก	78
44 ผลกระทบจากการตอกผลึกภายในให้สภาวะที่มีเกรเดียนต์ของอุณหภูมิต่อจลนพลศาสตร์ของการตอกผลึกที่อุณหภูมิกึ่งกลาง 25 องศาเซลเซียส	79
45 ผลกระทบจากการตอกผลึกภายในให้สภาวะที่มีเกรเดียนต์ของอุณหภูมิต่อจลนพลศาสตร์ของการตอกผลึกที่อุณหภูมิค้านซ้าย 10 องศาเซลเซียส	80
46 ผลกระทบจากการตอกผลึกภายในให้สภาวะที่มีเกรเดียนต์ของอุณหภูมิที่ช่วงอุณหภูมิต่างๆ ด้วยการเกิดนิวเคลียสแบบเอกพันธุ์ต่อขนาดเนื้ือยของผลึกในช่วงระหว่างการตอกผลึก	82
47 ผลกระทบจากการตอกผลึกภายในให้สภาวะที่มีเกรเดียนต์ของอุณหภูมิต่อขนาดเนื้ือยของผลึกในช่วงระหว่างการตอกผลึกที่อุณหภูมิกึ่งกลาง 25 องศาเซลเซียส	82

สารบัญภาพ (ต่อ)

ภาพที่	หน้า
48 ผลกระทบจากการตอกผลึกภายในช่วงระหว่างการตอกผลึกที่อุณหภูมิค้านซ้าย 10 องศาเซลเซียส	83
49 ผลกระทบจากการตอกผลึกภายในช่วงระหว่างการตอกผลึกที่ช่วงอุณหภูมิต่าง ๆ ด้วยการเกิดนิวเคลียสแบบเอกพันธุ์ (ก) 10 ถึง 20 องศาเซลเซียส (ข) 20 ถึง 30 องศาเซลเซียส และ (ค) 30 ถึง 40 องศาเซลเซียส	85
50 ผลกระทบจากการตอกผลึกภายในช่วงระหว่างการตอกผลึกที่อุณหภูมิกึ่งกลาง 25 องศาเซลเซียส (ก) 20 ถึง 30 องศาเซลเซียส (ข) 15 ถึง 35 องศาเซลเซียส และ (ค) 10 ถึง 40 องศาเซลเซียส	86
51 ผลกระทบจากการตอกผลึกภายในช่วงระหว่างการตอกผลึกที่อุณหภูมิค้านซ้าย 10 องศาเซลเซียส (ก) 10 ถึง 20 องศาเซลเซียส (ข) 10 ถึง 30 องศาเซลเซียส และ (ค) 10 ถึง 40 องศาเซลเซียส	87
52 ผลกระทบจากการตอกผลึกภายในช่วงระหว่างการตอกผลึกเมื่อตอกผลึกสมบูรณ์ที่ช่วงอุณหภูมิต่างๆ ด้วยการเกิดนิวเคลียสแบบเอกพันธุ์	89
53 ผลกระทบจากการตอกผลึกภายในช่วงระหว่างการตอกผลึกเมื่อตอกผลึกสมบูรณ์ที่อุณหภูมิกึ่งกลาง 25 องศาเซลเซียส	89
54 ผลกระทบจากการตอกผลึกภายในช่วงระหว่างการตอกผลึกเมื่อตอกผลึกสมบูรณ์ที่อุณหภูมิค้านซ้าย 10 องศาเซลเซียส	90

คำอธิบายสัญลักษณ์และคำจำกัดความ

A	= พื้นที่ผิวของนิวเคลียส
b_0	= ความหนาของชั้นผลึกตลอดจนทิศทางการเติบโต
C	= ค่าคงที่ของอัตราการตกผลึก
Da	= ดัลตัน (หน่วยมวลอะตอม)
f	= สัมประสิทธิ์เพื่อความถูกต้องของอุณหภูมิที่เปรียบเทียบกับพลังงานในการหลอมเหลว เช่น $f = 2T_c/(T_c + T_m^0)$
g	= ค่าคงที่ที่บ่งบอกถึงรูปร่างของผลึก
Δg	= การเปลี่ยนแปลงจำเพาะของค่าพัฒนาอิสระ
G	= อัตราการเติบโตของผลึก
ΔG	= ค่าพลังงานอิสระ
G_0	= ค่าคงที่ของอัตราการเติบโตของผลึกไม่ขึ้นกับอุณหภูมิ
Δh^0	= ความร้อนของการหลอมละลาย (ต่อหน่วยปริมาตร)
ΔH	= ค่าการเปลี่ยนแปลงเอนทัลปี
ΔH_f^0	= ความร้อนแห่งของการหลอมเหลวในสภาพสมดุล
i	= ลำดับนิวเคลียส
I	= อัตราการเกิดนิวเคลียส
I_0	= ค่าคงที่อัตราการเกิดนิวเคลียสแบบเอกพันธุ์ในขั้นต้นไม่ขึ้นกับอุณหภูมิ
k	= ค่าคงที่ของ Boltzmann
k_A	= ค่าคงที่อัตราการตกผลึกของ Avrami
K^G	= ผลรวมของปัจจัยที่เกี่ยวข้องกับกลไกการการเติบโตของผลึก
K^I	= ผลรวมของปัจจัยที่เกี่ยวข้องกับกลไกการเกิดนิวเคลียสแบบเอกพันธุ์ในขั้นต้น
M_n	= น้ำหนักโมเลกุลเฉลี่ยตามจำนวน
M_w	= น้ำหนักโมเลกุลเฉลี่ยตามน้ำหนัก
M_z	= น้ำหนักโมเลกุลเฉลี่ยตามความหนืด
n_A	= ค่าคงที่พีชคณิตของ Avrami
N	= ความหนาแน่นของนิวเคลียสที่ไม่ขึ้นกับเวลา
r	= รัศมีของผลึกทรงกลม

คำอธิบายสัญลักษณ์และคำจำกัดความ (ต่อ)

r^*	= รัศมีของผลึกทรงกลมที่มีความสัมพันธ์กับพลังงานอิสระ
R	= ค่าคงที่ของก้าช
ΔS	= ค่าการเปลี่ยนแปลงเอนโทรปี
t	= เวลา
$t_c(i)$	= เวลาที่ตกผลึกในพื้นที่ห้องหมดของนิวเคลียสลำดับที่ i
$t_{0.5}^{-1}$	= เวลาที่ใช้ตกผลึกที่ร้อยละ 50 ของการตกผลึกห้องหมด
T	= อุณหภูมิ
$T(x)$	= อุณหภูมิที่ขึ้นกับแกนนอนหรือแกน x
T_c	= อุณหภูมิที่ตกผลึก
T_g	= อุณหภูมิเปลี่ยนสถานะคล้ายแก้ว
T_L	= อุณหภูมิที่ขอบค้าน้ำแข็ง
T_R	= อุณหภูมิที่ขอบค้าน้ำ
T_m^0	= อุณหภูมิจุดหลอมเหลวสมดุล
$T_{x,y}$	= อุณหภูมิที่ตำแหน่ง x และ y ใดๆ
T_∞	= อุณหภูมิที่ไม่เกิดข้อผิดพลาดเดลี่อันที่
ΔT	= องศาภายในตัวการลดอุณหภูมิ
U^*	= ค่าพลังงานกระตุ้นสำหรับการเคลื่อนที่ของไมโครสิ่งที่อยู่ระหว่างผลึกกับพอลิเมอร์ที่หลอมเหลวที่บวบเวบผิวของผลึก
$V_{crystal}$	= ปริมาตรของนิวเคลียส
x	= ตำแหน่ง x ใดๆ ในพื้นที่ มีค่าตั้งแต่ 1 ถึง 800 พิคเซล
X	= ความกว้างของพื้นที่ที่พิจารณาไม่ค่าเท่ากับ 800 พิคเซล
x, y	= ตำแหน่งใดๆ ในพื้นที่ที่พิจารณา
x_p, y_i	= ตำแหน่งนิวเคลียสในพื้นที่ที่พิจารณา
y	= ตำแหน่ง y ใดๆ ในพื้นที่ มีค่าตั้งแต่ 1 ถึง 800 พิคเซล
$\theta(t)$	= สัดส่วนความเป็นผลึก
ρ	= ความหนาแน่นของพอลิเมอร์ที่วัดได้
ρ_a	= ความหนาแน่นของพอลิเมอร์ในลักษณะของอสัมฐาน

คำอธิบายสัญลักษณ์และคำย่อ (ต่อ)

ρ_c	= ความหนาแน่นของพอลิเมอร์ที่มีลักษณะเป็นผลึกอย่างสมบูรณ์
σ	= พลังงานอิสระจำเพาะของพื้นผิว
σ_i	= พลังงานที่พื้นผิวจำเพาะของพื้นผิวที่ i
σ_s	= พลังงานอิสระจำเพาะของผิวด้านหน้า
σ_l	= พลังงานอิสระจำเพาะของผิวด้านข้าง
τ	= เวลาที่เกิดนิวเคลียส
$\dot{\omega}_c$	= อัตราการตกผลึก
$\psi(T_c)$	= ค่าพารามิเตอร์สำหรับการตกผลึกทั่วไปที่อุณหภูมิใดๆ
ψ_0	= ค่าพารามิเตอร์สำหรับการตกผลึกทั่วไปที่ไม่ขึ้นกับอุณหภูมิ
Θ	= ค่าพารามิเตอร์ที่มีความสัมพันธ์กับลักษณะของพลังงานกระตุ้นของการเคลื่อนที่ของโมเลกุลบริเวณผิวดองผลึกกับพอลิเมอร์ที่ยังหลอมเหลวอยู่
ξ	= ค่าคงที่ของการเติบโตของผลึก เช่น ระยะการตกผลึกที่ 2 มีค่าเท่ากับ 2 และ ระยะการตกผลึกที่ 1 และ 3 มีค่าเท่ากับ 4

การจำลองการเปลี่ยนแปลงทางสัณฐานวิทยาในช่วงระหว่างการตกผลึกของพอลิเมอร์ ภายใต้สภาพที่มีการเดินต่อของอุณหภูมิ

Simulation of Morphological Development during Polymer Crystallization in a Temperature Gradient

คำนำ

ปัจจุบันวัสดุพอลิเมอร์ได้ถูกประยุกต์ใช้งานอย่างแพร่หลาย เช่น ภาชนะบรรจุอาหาร ชิ้นส่วนอุปกรณ์ประกอบรถยนต์ อุปกรณ์ทางการแพทย์ และอื่นๆ อีกมาก many จึงต้องมีการพัฒนา วัสดุอุปกรณ์ให้มีคุณสมบัติทางกายภาพที่เหมาะสมกับการใช้งานเพื่อตอบสนองความต้องการที่ เพิ่มขึ้น กระบวนการตกผลึกเป็นหนึ่งในกระบวนการผลิตวัสดุพอลิเมอร์ ซึ่งเป็นขั้นตอนที่ส่งผลกระทบ ต่อสมบัติทางกายภาพของวัสดุพอลิเมอร์ การเปลี่ยนแปลงสภาพในกระบวนการตกผลึกจะทำให้เกิด การเปลี่ยนแปลงของสัณฐานวิทยาของวัสดุพอลิเมอร์ เช่น ขนาดเนื้ือยวของผลึกและการกระจายตัว ของขนาดผลึก ซึ่งสัณฐานวิทยาของวัสดุพอลิเมอร์สามารถบ่งบอกถึงคุณสมบัติทางกายภาพของ วัสดุพอลิเมอร์ได้

การปรับปรุงสัณฐานวิทยาของวัสดุพอลิเมอร์นั้นนอกจากจะขึ้นอยู่กับโครงสร้างของ พอลิเมอร์แล้วยังขึ้นอยู่กับสภาพที่ใช้ในการตกผลึก เช่น อุณหภูมิ ความดัน และแรงเสียดทาน ซึ่งส่งผล ต่อลักษณะทางกายภาพของวัสดุพอลิเมอร์ กระบวนการตกผลึกจะประกอบด้วยขั้นตอนการเกิด นิวเคลียสและการเติบโตของผลึก การปรับปรุงสภาพที่ใช้ในการตกผลึกของพอลิเมอร์โดยเฉพาะ อุณหภูมิมีส่วนสำคัญอย่างยิ่งต่อการพัฒนาสัณฐานวิทยาของวัสดุพอลิเมอร์ เนื่องจากอุณหภูมิจะ ส่งผลกระทบโดยตรงต่อการเกิดนิวเคลียสและการเติบโตของผลึก การศึกษาสัณฐานวิทยาในช่วง ระหว่างการตกผลึกของวัสดุพอลิเมอร์ในด้านการทดลองนิยมใช้กล้องจุลทรรศน์แบบใช้แสง โพลาเรอไรซ์ (Polarized Optical Microscope; POM) และกล้องจุลทรรศน์แบบใช้แรงของอะตอม (Atomic Force Microscopy; AFM) ซึ่งสามารถวัดข้อมูลได้ในเชิงคุณภาพ อย่างไรก็ตามการศึกษา สัณฐานวิทยาของวัสดุพอลิเมอร์จำเป็นต้องใช้ข้อมูลเชิงปริมาณอย่างละเอียด เช่น การกระจายตัว ของขนาดผลึก ซึ่งศึกษาได้ยากจากการทดลอง การจำลองจึงเป็นอีกวิธีหนึ่งเพื่อช่วยศึกษาเกี่ยวกับ การตกผลึกของพอลิเมอร์ นอกจากการจำลองการตกผลึกนี้จะสามารถศึกษาข้อมูลในเชิงปริมาณได้

อย่างละเอียดและยังสามารถแยกศึกษาผลกระบวนการแต่ละตัวแปรได้อย่างอิสระ ซึ่งควบคุณได้จากจากการทดลอง เช่น การเกิดนิวเคลียสแบบเอกพันธุ์หรือวิวัฒนาพันธุ์และการเติบโตของผลึกเป็นต้น จากการจำลองการตกผลึกนี้สามารถให้ข้อมูลที่สำคัญคือ การกระจายตัวของขนาดผลึกที่ช่วยในการพัฒนาความสัมพันธ์เชิงปริมาณระหว่างสภาวะที่ตกผลึกและสัมฐานวิทยาเพื่ออธิบายคุณสมบัติทางกายภาพของวัสดุพอลิเมอร์ได้

งานวิจัยที่ผ่านมาได้พยายามพัฒนาแบบจำลองทางคณิตศาสตร์เพื่อหาขนาดเฉลี่ยของผลึก (Leephakpreeda, 2001) และพัฒนาอัลกอริทึมเพื่ออธิบายจลนพลศาสตร์ของการตกผลึกและสัมฐานวิทยาของการตกผลึกของพอลิเอทิลีน (Rabee, 2004) แต่ไม่ได้มีการพิจารณารายละเอียดของสัมฐานวิทยาในช่วงระหว่างการตกผลึก ซึ่งเป็นพื้นฐานสำคัญสำหรับการพัฒนาความสัมพันธ์ระหว่างสภาวะที่ตกผลึกและสัมฐานวิทยาของวัสดุพอลิเมอร์

ในกลุ่มวิจัยของเราจึงได้ศึกษาการจำลองการตกผลึกของชนิดไอแทคติก พอลิโพรพิลีนภายใต้สภาวะที่อุณหภูมิคงที่ (Isothermal) (Ketdee, 2007) และอุณหภูมิไม่คงที่ (Non- Isothermal) (อุเทน, 2552) ในลักษณะ 2 มิติ ด้วยแบบจำลองมอนติคาร์โล (Monte Carlo) ซึ่งเป็นเทคนิคการจำลองด้วยหลักความน่าจะเป็นและสถิติ ซึ่งผลการจำลองในเชิงปริมาณของการเปลี่ยนแปลงทางสัมฐานวิทยาในช่วงระหว่างการตกผลึกนั้นสามารถเชื่อถือได้ เนื่องจากมีการคำนวณข้ามหลายๆ ครั้ง เพื่อให้ได้ข้อมูลของสัมฐานวิทยาในช่วงระหว่างการตกผลึกของพอลิเมอร์ในเชิงปริมาณอย่างละเอียด (ได้แก่ ขนาดเฉลี่ยของผลึก การกระจายตัวของขนาดผลึกในช่วงระหว่างการตกผลึกและการกระจายตัวของขนาดผลึกเมื่อตกผลึกสมบูรณ์)

แต่การตกผลึกภายใต้สภาวะอุณหภูมิคงที่ เป็นสภาวะในอุดucti เพราะในความเป็นจริงแล้ว กระบวนการผลิตวัสดุพอลิเมอร์ในระดับอุตสาหกรรมส่วนใหญ่จะมีการถ่ายเทความร้อนเกิดขึ้น ทำให้เกิดการตกผลึกภายใต้สภาวะที่มีเกรเดียนต์ของอุณหภูมิ จึงมีการศึกษาการตกผลึกภายใต้สภาวะที่มีเกรเดียนต์ของอุณหภูมิในทิศทางแนวนอนเท่านั้น ในรูปแบบของการทดลอง (Huang and Petemann, 1990; Pawlak and Piorkowska; 2000) และการจำลอง (Huang and Kamal, 2000; Piorkowska, 2001) แต่ยังไม่มีการศึกษาถึงผลกระทบต่อสัมฐานวิทยาของวัสดุพอลิเมอร์ในเชิงปริมาณอย่างละเอียด ซึ่งเป็นส่วนสำคัญในการปรับปรุงคุณสมบัติทางกายภาพของวัสดุพอลิเมอร์

งานวิจัยนี้จึงสนใจพัฒนาแบบจำลองเพื่อศึกษาผลกระทบจากช่วงของอุณหภูมิและ
เกรดียนต์ของอุณหภูมิที่ส่งผลกระทบต่อ込んでลดความต้องการตอกผลึก (สัดส่วนความเป็นผลึกที่
เปลี่ยนแปลงตามเวลา) และการเปลี่ยนแปลงทางสัมฐานวิทยาในช่วงระหว่างการตอกผลึกของ
พอลิเมอร์ด้วยเทคนิคการจำลองแบบมอนติคาร์โล เพื่อศึกษาข้อมูลเชิงปริมาณของการเปลี่ยนแปลง
ทางสัมฐานวิทยา เช่น ขนาดเฉลี่ยของผลึก การกระจายตัวของขนาดผลึกในช่วงระหว่างการตอกผลึก
และการกระจายตัวของขนาดผลึกเมื่อตอกผลึกสมบูรณ์ เพื่อนำไปใช้ปรับปรุงสภาพแวดล้อมในการตอกผลึก
ของพอลิเมอร์ในกระบวนการผลิตในระดับอุตสาหกรรมและนำไปสู่การใช้งานจริงในอนาคต
ต่อไป



ວັດຖຸປະສົງຄໍ

ສຶກນາພລກຮບຈາກຂ່າວຂອງອຸນຫຼວມແລກເກຣເດີນຕົ້ນຂອງອຸນຫຼວມທີ່ສ່າງພລກຮບຕ່ອງ
ຈລນພລຄາສຕ່ຽນຂອງກາຣຕກພລືກແລກເກຣເດີນແປ່ງທາງສັນຫຼວນວິທຍາໃນຂ່າວຮ່ວ່າງກາຣຕກພລືກ
ຂອງພອລິເມອຣ ເພື່ອສຶກນາຂໍອມູນເຊີງປົມານຂອງກາຣເປີ່ຍນແປ່ງທາງສັນຫຼວນວິທຍາ ເຊັ່ນ ຂນາດເລື່ອຍ
ຂອງພລືກໃນຂ່າວຮ່ວ່າງກາຣຕກພລືກ ກາຣກະຈາຍຕ້າວຂອງຂນາດພລືກໃນຂ່າວຮ່ວ່າງກາຣຕກພລືກ ແລກ
ກາຣກະຈາຍຕ້າວຂອງຂນາດພລືກເມື່ອຕກພລືກສມນູຮົນ

ຂອບເຂດກາຣວິຈີຍ

ສຶກນາກາຣຈໍາລອງກາຣເປີ່ຍນແປ່ງທາງສັນຫຼວນວິທຍາໃນຂ່າວຮ່ວ່າງກາຣຕກພລືກຂອງ
ຊື່ນິແທກຕິກ ພອລິໂພຣພິລິນ (Syndiotactic Polypropylene; sPP) ໂດຍສຶກນາໃນພື້ນທີ່ 800×800
ພຶກເຜົດ ດ້ວຍເຫດນິກກາຣຈໍາລອງແບບມອນດີກາຣ໌ໂລ ໂດຍພິຈານາຄົງພລກຮບຈາກຂ່າວຂອງອຸນຫຼວມ
ແລກເກຣເດີນຕົ້ນຂອງອຸນຫຼວມທີ່ສ່າງພລືກຕ່ອງຈລນພລຄາສຕ່ຽນຂອງກາຣຕກພລືກ ແລກຮາຍລະເອີຍຂອງສັນຫຼວນ
ວິທຍາໃນຂ່າວຮ່ວ່າງກາຣຕກພລືກຂອງພອລິເມອຣໄດ້ແກ່ ຂນາດເນື່ອຍຂອງພລືກແລກກາຣກະຈາຍຕ້າວຂອງ
ຂນາດພລືກໃນຂ່າວຮ່ວ່າງກາຣຕກພລືກ ແລກກາຣກະຈາຍຕ້າວຂອງຂນາດພລືກເມື່ອຕກພລືກສມນູຮົນ ຜົ່ງຈະ
ສຶກນາໃນສກວາະທີ່ມີເກຣເດີນຕົ້ນຂອງອຸນຫຼວມເພີ່ມເປັນເປັນໃນລັກນະພະເສັ້ນຕຽນຕາມທີ່ສາທາງແກນນອນເທົ່ານັ້ນ
ກຳນົດໄທ້ພລືກຂອງພອລິເມອຣເຕີບໂຕໃນລັກນະ 2 ມິຕີ ແລກພລືກຈົນສມນູຮົນ

1. ສໍາຫັນກາຣສຶກນາກາຣຈໍາລອງກາຣຕກພລືກດ້ວຍກາຣເກີດນິວເຄລືຍສແບບວິທີພັນຖຸຈະພິຈານາ
ດ້ວຍອັຕຣາສ່ວນ 5 ພຶກເຜົດ ເທົ່າກັນ 1 ໄນ ໂຄຣມຕຣ ໃນຂ່າວອຸນຫຼວມ 40 ຄື່ງ 100 ອົງສາເໜລເຊີຍສ ແລກຈະ
ພິຈານາຈາກຄ່າເນື່ອຍທີ່ໄດ້ຈາກກາຣຈໍາລອງກາຣຕກພລືກ 1000 ຄົ້ງ

2. ສໍາຫັນກາຣສຶກນາກາຣຈໍາລອງກາຣຕກພລືກດ້ວຍກາຣເກີດນິວເຄລືຍສແບບເອກພັນຖຸຈະພິຈານາ
ດ້ວຍອັຕຣາສ່ວນ 6 ພຶກເຜົດ ເທົ່າກັນ 1 ໄນ ໂຄຣມຕຣ ໃນຂ່າວອຸນຫຼວມ 10 ຄື່ງ 40 ອົງສາເໜລເຊີຍສ ແລກຈະ
ພິຈານາຈາກຄ່າເນື່ອຍທີ່ໄດ້ຈາກກາຣຈໍາລອງກາຣຕກພລືກ 10 ຄົ້ງ

การตรวจเอกสาร

ทฤษฎีเกี่ยวข้อง

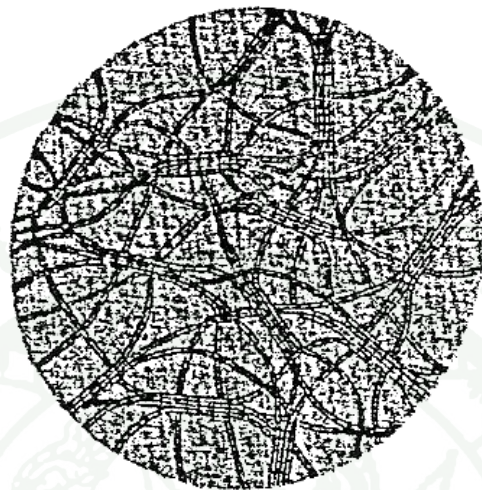
สถานะทางกายภาพของพอลิเมอร์จะขึ้นกับอุณหภูมิ เวลา และ โครงสร้างในพอลิเมอร์ จำแนกได้ 3 สถานะ ได้แก่ สถานะหลอมเหลว (Melt State) จะเกิดขึ้นที่อุณหภูมิสูง ไม่เดกุดอยู่ในสภาพที่เคลื่อนไหวต่อเนื่องตลอดเวลา ถ้าอุณหภูมิสูงขึ้นการเคลื่อนไหวของไม่เดกุดก็จะมากขึ้น ตามไปด้วยในสถานะหลอมเหลวนี้ พอลิเมอร์สามารถไหลได้ สถานะของแก้ว (Glassy State) จะเกิดขึ้นที่อุณหภูมิต่ำ เนื่องจากพลังงานไม่เพียงพอ ไม่เดกุดจะหยุดการเคลื่อนไหวและจะเรียงตัวอยู่ในลักษณะที่ไม่เป็นระเบียบ และสถานะผลึก (Crystalline State) เกิดจากการทำให้สถานะหลอมเหลวเย็นลง โดยไม่เดกุดจะเรียงกันเป็นระเบียบ

1. กระบวนการตกผลึกของพอลิเมอร์

ไม่เดกุดของพอลิเมอร์แบบกึ่งผลึก (Semicrystalline Polymer) สามารถจัดเรียงใหม่ให้ชิดกันอย่างเป็นระเบียบหรือเกิดเป็นผลึก ได้เมื่อถูกทำให้อุณหภูมิต่ำกว่าอุณหภูมิหลอมเหลว (Melting Point Temperature; T_m) ตัวอย่างของพอลิเมอร์ที่มีความเป็นผลึกสูง เช่น ชินดิโซเทคติก พอลิโพร์พิลีน ไอโซแทคติก พอลิโพร์พิลีน (Isotactic Polypropylene; iPP) พอลิเอทธิลีน (Polyethylene; PE) เป็นต้น จากการศึกษาด้วยเทคนิคอีซิเรย์พบว่าพอลิเมอร์ที่มีความเป็นผลึกสูงมีพื้นที่สัมฐาน (Amorphous) และส่วนที่เป็นผลึก (Crystalline) ปนอยู่ด้วยกันโดยส่วนที่เป็นผลึกมีขนาดเล็กมากในระดับนาโนเมตร

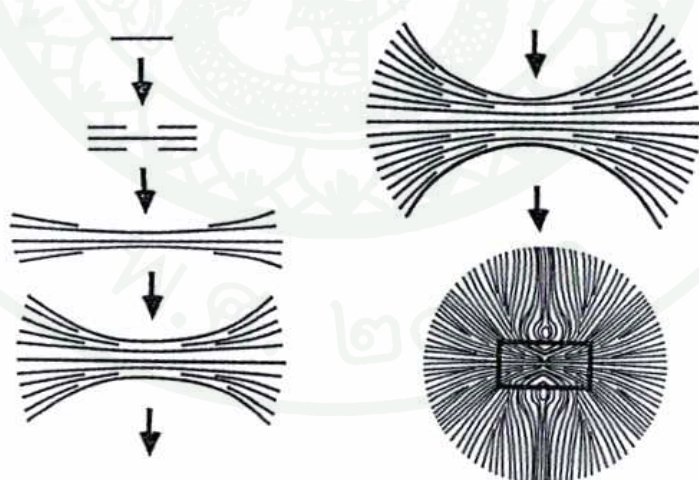
ทฤษฎี Fringed Micelle ได้อธิบายกระบวนการเกิดผลึก (Crystallization) ไว้ว่าเกิดจากส่วนของไม่เดกุดหลายๆ ไม่เดกุดมาจัดเรียงตัวชิดกันอย่างเป็นระเบียบดังแสดงในภาพที่ 1 แต่ในภายหลังมีทฤษฎีลามาล่า (Lamella) ซึ่งเกิดจากการวิจัยเกี่ยวกับผลึกของพอลิเมอร์อธิบายว่าผลึกในพอลิเมอร์เกิดจากการพับตัวของหนังสายโซ่ไม่เดกุดด้วยระยะประมาณ 10 นาโนเมตร เกิดเป็นโครงสร้างที่เป็นชั้นบางๆ (Lamellae) ซึ่งเป็นโครงสร้างพื้นฐานของพอลิเมอร์ที่มีความเป็นผลึก และพบว่าระหว่างโครงสร้างที่เป็นชั้นบางๆ ของพอลิเมอร์ยังคงมีส่วนของไม่เดกุดที่มีการจัดเรียงตัวแบบไม่เป็นระเบียบหรืออสัมฐานปนอยู่ด้วยดังแสดงในภาพที่ 2 นอกจากนี้ความหนาของผลึกพอลิเมอร์จะสูงขึ้น เมื่อตอกผลึกที่อุณหภูมิสูงขึ้น เช่น พอลิเอทธิลีน ความหนา 10 นาโนเมตรจากการ

ตอกผลึกที่ 100 องศาเซลเซียส ถ้าเพิ่มอุณหภูมิไปอีกที่ 130 องศาเซลเซียส ความหนาจะเพิ่มขึ้นเป็น 40 นาโนเมตร



ภาพที่ 1 โครงสร้างของ Fringed Micelle เสนอโดย Hermann และ Gerngross

ที่มา: Schultz (2001)



ภาพที่ 2 ภาพวาดในลักษณะ 2 มิติของลามาไม้คลื่นที่มีการจัดเรียงตัวเป็นทรงกลมโดยนิวเคลียสเกิดจากหนึ่งลามาไม้คลื่น

ที่มา: Schultz (2001)

ความเป็นผลึกของพอลิเมอร์เป็นปัจจัยสำคัญที่การกำหนดสมบัติของพอลิเมอร์ซึ่งเกี่ยวเนื่องกับสมบัติเชิงกลของพอลิเมอร์นั้นๆ เช่น พอลิสไตรีน (Polystyrene; PS) จะมีความประมากระหว่างพอลิอีทิลีน เนื่องจากพอลิสไตรีนมีความเป็นผลึกน้อยกว่าพอลิอีทิลีน โดยทั่วไปความเป็นผลึกของพอลิเมอร์จะไม่สมบูรณ์เนื่องจากมีส่วนที่เป็นอัตโนมัติ (ไม่เป็นผลึก) อยู่ในผลึกของพอลิเมอร์อยู่ร้อยละ 20 ถึง 50 ขึ้นกับขนาดของผลึก การเรียงตัว การบิดตัว ตำแหน่งต่างๆ ในผลึกซึ่งว่างโปร่ง ขนาดความยาวและการกระจายตัวของโมเลกุล เป็นต้น ซึ่งสัดส่วนความเป็นผลึกสามารถคำนวณได้จากความหนาแน่นของพอลิเมอร์

$$\text{ร้อยละความเป็นผลึก} = \frac{\rho - \rho_a}{\rho_c - \rho_a} \times 100 \quad (1)$$

เมื่อ	ρ	คือ ความหนาแน่นของพอลิเมอร์ที่วัดได้
	ρ_a	คือ ความหนาแน่นของพอลิเมอร์ในลักษณะของอัตโนมัติ
	ρ_c	คือ ความหนาแน่นของพอลิเมอร์ที่มีลักษณะเป็นผลึกอย่างสมบูรณ์

การพิสูจน์เพื่อชี้ว่าการเกิดผลึกของพอลิเมอร์ในทฤษฎีใดก็อันดับต้องนั้นทำได้ยากเนื่องจากผลการศึกษาเกี่ยวกับผลึกของพอลิเมอร์สอดคล้องกับทั้งสองทฤษฎี เมื่อความเป็นผลึกในพอลิเมอร์สูงขึ้นทำให้ค่าความหนาแน่นและความแข็งแรงขึ้น ทนต่อความร้อนได้ดีขึ้น อย่างไรก็ตามความเห็นที่สนับสนุนทฤษฎีไมลันนั้นมีมากกว่า

เมื่อพิจารณาทางอุณหพลศาสตร์การที่จะเกิดผลึกได้นั้นสภาวะที่ตกลงผลึกต้องมีอุณหภูมิที่ต่ำกว่าอุณหภูมิหลอมเหลวของพอลิเมอร์ซึ่งจะอยู่ในช่วงอุณหภูมิระหว่างอุณหภูมิเปลี่ยนสถานะคล้ายแก้ว (Glass Transition Temperature; T_g) และอุณหภูมิหลอมเหลว (T_m) โดยพอลิเมอร์ที่หลอมเหลวอยู่จะตกผลึกได้นั้นค่าพลังงานอิสระ (ΔG) ของผลึกพอลิเมอร์จะต้องน้อยกว่าของพอลิเมอร์หลอมเหลวและมีค่าน้อยกว่าศูนย์ โดยค่าพลังงานอิสระเกิดจากความสัมพันธ์ระหว่างเอนโทรปี (S) เอนทัลปี (H) และอุณหภูมิ (T)

$$\Delta G = \Delta H - T \Delta S \quad (2)$$

กระบวนการตกลงผลึกของพอลิเมอร์มี 2 ขั้นตอน ได้แก่ ขั้นตอนการเกิดนิวเคลียสและขั้นตอนการเดินไตของผลึก

1.1 การเกิดนิวเคลียส (Nucleation)

การเกิดนิวเคลียสเป็นจุดเริ่มต้นของกระบวนการตกลักของพอลิเมอร์ เมื่ออุณหภูมิลดต่ำลงน้อยกว่าอุณหภูมิที่ใช้ในการเกิดผลึก สายโซ่พอลิเมอร์ที่ยุ่งเหยิงจะเริ่มมีการจัดเรียงตัวเกิดเป็นบริเวณที่มีระเบียบขนาดเล็กที่เรียกว่า นิวเคลีย (Nuclei) หรือ นิวเคลียส (Nucleus) ซึ่งจะเสถียรที่อุณหภูมิต่ำกว่าอุณหภูมิหลอมเหลวเนื่องจากการเคลื่อนไหวของความร้อน (Thermal Motion) น้อยลง ในด้านของอุณหพลศาสตร์ที่อุณหภูมิต่ำกว่าจุดหลอมเหลวสมดุล (Equilibrium Melting Point) ค่าพลังงานอิสระจะมีค่าเป็นลบ ซึ่งค่าพลังงานอิสระเกิดจากผลกระทบของค่าพลังงานอิสระของการตกลักและพลังงานที่ผิวน้ำ

$$\Delta G = \Delta g V_{\text{crystal}} + \sum_i A \sigma_i \quad (3)$$

เมื่อ	Δg	คือ การเปลี่ยนแปลงจำเพาะของค่าพลังงานอิสระ
	V_{crystal}	คือ ปริมาตรของนิวเคลียส
	A	คือ พื้นที่ผิวของนิวเคลียส
	σ_i	คือ พลังงานที่พื้นผิวจำเพาะของพื้นผิวที่ i

กรณีที่ผลึกเป็นลักษณะทรงกลม

$$\Delta G = \frac{4\pi r^3}{3} \Delta g + 4\pi r^2 \sigma \quad (4)$$

เมื่อ	r	คือ รัศมีของผลึกทรงกลม
	σ	คือ พลังงานอิสระจำเพาะของพื้นผิว

โดย r^* คือ รัศมีของผลึกทรงกลมที่มีความสัมพันธ์กับพลังงานอิสระ ในสภาวะสมดุล $\frac{\partial G}{\partial r}$ มีค่าเท่ากับศูนย์

$$\frac{\partial G}{\partial r} = 4\pi r^{*2} \Delta g + 8\pi r^* \sigma = 0 \quad (5)$$

จะได้สมการ (6)

$$r^* = -\frac{2\sigma}{\Delta g} \quad (6)$$

ซึ่งการเปลี่ยนแปลงจำเพาะของค่าพลังงานอิสระมีความสัมพันธ์กับอุณหภูมิดังต่อไปนี้

$$\Delta g = \frac{\Delta h^0 \Delta T}{T_m^0} \quad (7)$$

เมื่อ	Δh^0	คือ ความร้อนของการหลอมละลาย (ต่อหน่วยปริมาตร)
	T_m^0	คือ อุณหภูมิจุดหลอมเหลวสามคูล
	ΔT	คือ องศาภายในต่ำกว่าจุดหลอมเหลว ซึ่ง $\Delta T = T_m^0 - T_c$
	T_c	คือ อุณหภูมิที่ตกผลึก

แทนค่า Δg จากสมการ (7) ลงในสมการ (6) จะได้ความสัมพันธ์ของรัศมีของผลึกทรงกลมที่มีความสัมพันธ์กับอุณหภูมิดังต่อไปนี้

$$r^* = -\frac{2\sigma T_m^0}{\Delta h^0 \Delta T} \quad (8)$$

แทนค่า Δg จากสมการ (7) และ r^* จากสมการ (8) ในสมการ (4)

$$\Delta G^* = \frac{4\pi(-2\sigma T_m^0)^3}{3(\Delta h^0 \Delta T)^3} \frac{\Delta h^0 \Delta T}{T_m^0} + \frac{4\pi(-2\sigma T_m^0)^2 \sigma}{(\Delta h^0 \Delta T)^2} \quad (9)$$

$$\Delta G^* = \frac{4\pi\sigma^3 (T_m^0)^2}{(\Delta h^0)^2 \Delta T^2} \left[-\frac{8}{3} + 4 \right] = \frac{16\pi\sigma^3 (T_m^0)^2}{3(\Delta h^0)^2 \Delta T^2} \quad (10)$$

ทฤษฎีการเกิดนิวเคลียสสามารถอธิบายด้วยกลไกของการเกิดนิวเคลียสแต่ยากที่จะนำมาใช้ทำนายการเกิดนิวเคลียสที่เกิดขึ้นของโพลิเมอร์จริงๆ วิธีการทดลองเพื่อหาการเกิด

นิวเคลียสจึงมีความสำคัญมากเนื่องจากการเกิดนิวเคลียสเป็นตัวควบคุมสมบัติทางกายภาพของวัสดุ พอลิเมอร์ สมบัติเชิงกลส่วนใหญ่จะขึ้นกับขนาดเฉลี่ยของผลึกและการกระจายตัวของขนาดผลึก ซึ่งทำนายได้จากการกระบวนการเกิดนิวเคลียสขั้นต้น (Primary Nucleation Process)

การเกิดนิวเคลียสมี 2 ประเภท แบ่งเป็นการเกิดนิวเคลียสแบบวิวิชพันธุ์ (Heterogeneous Nucleation) และแบบเอกพันธุ์ (Homogeneous Nucleation) ขึ้นอยู่กับสภาพที่ตกลงกันที่ทำให้เกิดการเปลี่ยนแปลงของพลังงานที่ผิวน้ำของผลึก การเกิดนิวเคลียสแบบวิวิชพันธุ์ ส่วนใหญ่จะเกิดกับพอลิเมอร์ที่มีสายโซ่ไม่เสถียร เช่น อะคริลิก อีพ็อกซี่ ฯลฯ อาจจะเกิดตัวของพอลิเมอร์เอง และสิ่งอื่น เช่น ฝุ่นผง ผนังภาชนะ หรือสารก่อตัวนิวเคลียส (Nucleating Agents) ที่ใส่เพิ่มเพื่อให้เกิดจำนวนนิวเคลียสตามที่ต้องการ การเกิดนิวเคลียสในลักษณะนี้จำนวนนิวเคลียสเกิดขึ้นพร้อมกันตั้งแต่เริ่มการตกผลึก ส่วนการเกิดนิวเคลียสแบบเอกพันธุ์ เป็นการเกิดนิวเคลียสจากตัวพอลิเมอร์เอง โดยนิวเคลียสจะค่อยๆ เกิดขึ้นระหว่างการตกผลึก

นอกจากนี้การเกิดนิวเคลียสสามารถแบ่งขอบเขตอุณหภูมิที่ชัดเจนได้ 4 ช่วง เช่น การเกิดนิวเคลียสของไอโซแทคติก พอลิไพรพิลิน จากสถานะหลอมเหลว Galerki อธิบายว่า ในช่วงที่ 1 ทันทีที่ผลิตอุณหภูมิลงจากอุณหภูมิหลอมเหลว (165 ± 167 องศาเซลเซียส) จะไม่มีการเกิดนิวเคลียสในช่วงนี้ ช่วงที่ 2 อุณหภูมิในช่วงนี้คือ 115 ± 150 องศาเซลเซียส มีการเกิดนิวเคลียสแบบวิวิชพันธุ์ ผลึกจะมีขนาดเล็กกว่าช่วงที่ 2 หรือไม่สมบูรณ์ และมีจำนวนนิวเคลียสที่แน่นอน ช่วงสุดท้ายประมาณอุณหภูมิ 80 ± 85 องศาเซลเซียส และที่ต่ำกว่านั้นในช่วงนี้มีเกิดนิวเคลียสแบบเอกพันธุ์ และความหนาแน่นของนิวเคลียสในช่วงอุณหภูมนี้จะเพิ่มขึ้นเมื่ออุณหภูมิต่ำลง

สำหรับอัตราการเกิดนิวเคลียสแบบเอกพันธุ์ในขั้นต้น (Primary Homogeneous Nucleation Rate; I) สามารถแสดงความสัมพันธ์ได้ดังสมการ (11)

$$I = I_0 \exp\left[-\frac{U^*}{R(T_c - T_\infty)}\right] \exp\left[-\frac{K^I}{T_c(\Delta T)^2 f^2}\right] \quad (11)$$

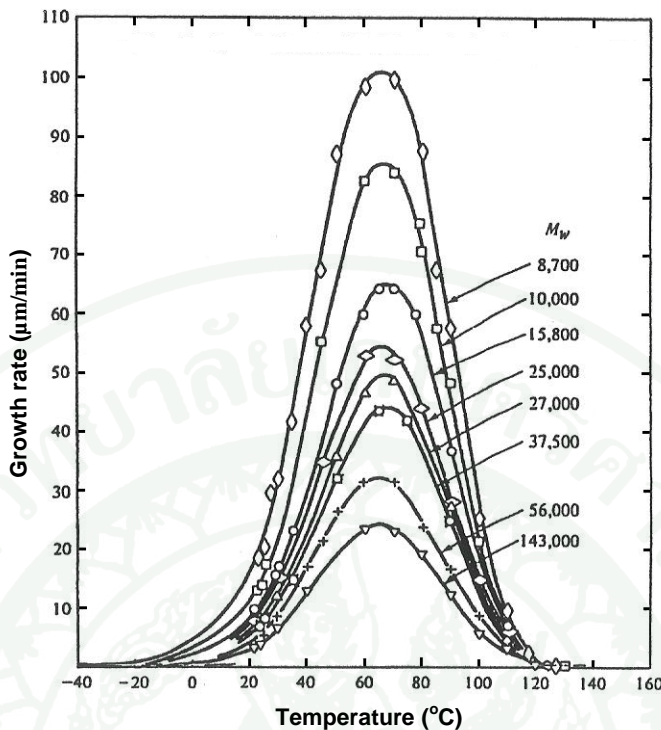
เมื่อ I_0 คือ ค่าคงที่อัตราการเกิดนิวเคลียสแบบเอกพันธุ์ในขั้นต้น ไม่ขึ้นกับอุณหภูมิ

U^*	ค่าพลังงานกระตุ้นสำหรับการเคลื่อนที่ของโนมเลกุลที่อยู่ระหว่างผลึกกับพอลิเมอร์ที่หลอมเหลวที่บริเวณผิวดองผลึก โดยทั่วไปใหมีค่า 6276 จูลต่อโนมล
R	คือ ค่าคงที่ของกําชา
T_c	คือ อุณหภูมิที่ตกผลึก
T_∞	คือ อุณหภูมิที่โนมเลกุลหยุดเคลื่อนที่ เช่น $T_\infty = T_g - 50$ (เคลวิน)
K'	คือ ผลกระทบของปัจจัยที่เกี่ยวข้องกับกลไกการเกิดนิวเคลียสแบบเอกพันธุ์ในขั้นต้น
ΔT	คือ ค่าองศาภายในต่อการลดอุณหภูมิ $\Delta T = T_m^0 - T_c$
f	คือ สัมประสิทธิ์เพื่อความถูกต้องของอุณหภูมิที่ประผันกับพลังงานในการหลอมเหลว เช่น $f = 2T_c/(T_c + T_m^0)$

1.2 การเติบโตของผลึก (Crystal growth)

ผลึกของพอลิเมอร์ขึ้นด้วยการต่อของสายโซ่กับนิวเคลียส ทำให้ผลึกพอลิเมอร์มีขนาดใหญ่ขึ้นจนขอบของก้อนผลึกชนกัน (Impingement) โดยส่วนใหญ่ผลึกของพอลิเมอร์จะมีลักษณะที่เป็นทรงกลมที่เรียกว่าสเฟียร์ไลท์ (Spherulite) การวิเคราะห์ลักษณะของผลึกพอลิเมอร์สามารถวัดได้โดยตรงด้วยกล้องจุลทรรศน์แบบใช้แสงโพลาร์ไรซ์ (POM) กล้องจุลทรรศน์แบบใช้แสงของอะตอม (AFM) กล้องจุลทรรศน์อิเลคตรอนแบบส่องผ่าน (Transmission Electron Microscope; TEM) และใช้เทคนิคการกระเจิงแสง (Light Scattering) การวัดอัตราการเติบโตของผลึก (Growth Rate) หรือการวัดความเร็วของการเติบโตของผลึกในลักษณะเส้นตรง (Linear Growth Velocities) จะพิจารณาโดยใช้รัศมีจากนิวเคลียสที่เวลาต่างๆ

เมื่อวัดอัตราการเติบโตของผลึกที่ช่วงอุณหภูมิต่างๆ จะพบว่าอัตราการเติบโตของผลึกจะมีค่าสูงสุดที่บางช่วงอุณหภูมิ ซึ่งความสัมพันธ์ระหว่างอัตราการเติบโตของผลึกและอุณหภูมิที่ตกผลึกจะมีลักษณะเป็นทรงระฆังกว่า นอกจากนี้อัตราการเติบโตของผลึกจะแปรผกผันกับหนักของโนมเลกุลแสดงดังภาพที่ 3 ซึ่งสังเกตได้ว่าค่าสูงสุดของอัตราการเติบโตของผลึกที่นำหนักของโนมเลกุลต่างๆ เกิดขึ้นที่อุณหภูมิเดียวกัน



ภาพที่ 3 ความสัมพันธ์ระหว่างความเร็วของการเติบโตของผลึกในลักษณะเส้นตรงของ Poly(Tetramethyl-p-Silphenylene Siloxene) กับอุณหภูมิที่ตกผลึก

ที่มา: Schulz (2001)

จากการตกผลึกภายในอุณหภูมิกองที่ อัตราการเติบโต ($G(T)$) ของผลึกพอลิเมอร์ที่อุณหภูมิต่างๆ สามารถคำนวณได้ด้วยทฤษฎีของ Lauritzen-Hoffman (LH) ซึ่งจะพิจารณาความเร็วของการเติบโตของผลึกในลักษณะเส้นตรงของผลึกที่เป็นทรงกลมหรือวงกลม ค่าอัตราการตกผลึกจะขึ้นกับค่าองค์ภาคภัยให้การลดอุณหภูมิ (ΔT) โดยแสดงในรูปแบบของสมการทั่วไปดังสมการ (12)

$$G = G_0 \exp \left[-\frac{U^*}{R(T_c - T_\infty)} \right] \exp \left[-\frac{K^G}{T_c(\Delta T)f} \right] \quad (12)$$

เมื่อ G_0 คือ ค่าคงที่ของอัตราการเติบโตของผลึกไม่ขึ้นกับอุณหภูมิ K^G คือ ผลกระทบของปัจจัยที่เกี่ยวข้องกับกลไกการการเติบโตของผลึก

$$K^G = \frac{\xi b_0 \sigma_s \sigma_l T_m^0}{k \Delta H_f^0} \quad (13)$$

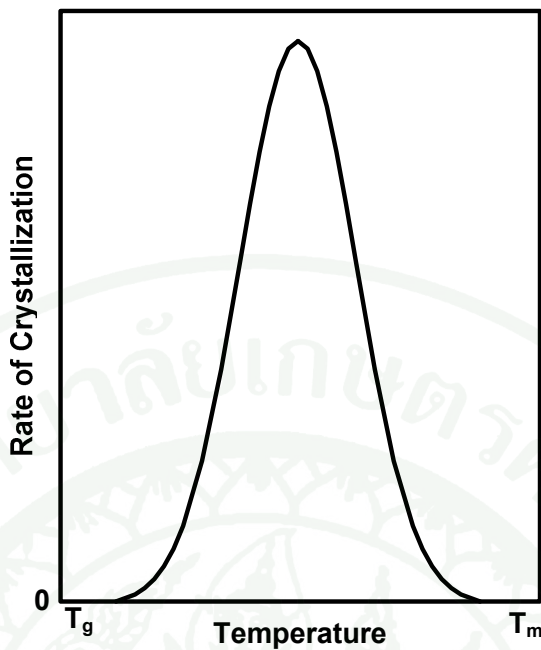
เมื่อ ξ คือ ค่าคงที่ของการเติบโตของผลึก เช่น กระบวนการตกผลึกที่ 2 มีค่าเท่ากับ 2 และ กระบวนการ ตกผลึกที่ 1 และ 3 มีค่าเท่ากับ 4 เป็นต้น

b_0	คือ ความหนาของชั้นผลึกตลอดจนทิศทางการเติบโต
σ_s	คือ พลังงานอิสระจำเพาะของผิวค้างหน้า
σ_l	คือ พลังงานอิสระจำเพาะของผิวค้างข้าง
k	คือ ค่าคงที่ของ Boltzmann
ΔH_f^0	คือ ความร้อนแห่งการหลอมเหลวในสภาวะสมดุล

เมื่อพิจารณาสมการ (11) และสมการ (12) จะพบว่าในพจน์ซึ่งกำลังพจน์แรกจะมี ความสัมพันธ์เกี่ยวกับการกระจายตัวของโมเลกุลพอลิเมอร์ จากสภาวะหลอมเหลวสมดุลจนถึงเกิด การเติบโตของผลึก และพจน์ซึ่งกำลังพจน์ที่สองจะมีความสัมพันธ์เกี่ยวกับการเกิดนิวเคลียสแบบ เอกพันธุ์และการเติบโตของผลึกตามลำดับ

2. จอนพลศาสตร์ของการตกผลึกของพอลิเมอร์

จอนพลศาสตร์ของการตกผลึกของพอลิเมอร์นั้นบ่งบอกถึงความเร็วในการตกผลึกของ พอลิเมอร์ ซึ่งมีความสัมพันธ์กับอุณหภูมิที่พอลิเมอร์ตกผลึก (T_c) จากภาพที่ 4 จะเห็นว่าจาก อุณหภูมิหลอมเหลว (T_m) เมื่ออุณหภูมิที่ใช้ตกผลึกต่ำลงทำให้อัตราการตกผลึกจะสูงขึ้น และเมื่อ เข้าใกล้อุณหภูมิเปลี่ยนสถานะคล้ายแก้ว (T_g) อัตราการตกผลึกจะต่ำลงและจะไม่มีการตกผลึกที่ อุณหภูมิต่ำกว่าอุณหภูมิเปลี่ยนสถานะคล้ายแก้ว พอลิเมอร์จะตกผลึกได้ที่สุดเมื่ออุณหภูมิอยู่ระหว่าง อุณหภูมิหลอมเหลวและอุณหภูมิเปลี่ยนสถานะคล้ายแก้ว การตกผลึกของพอลิเมอร์นั้นเป็นการ เปลี่ยนสถานะจากพอลิเมอร์ในสถานะหลอมเหลว (Melt Phase) ให้อยู่ในสถานะของแข็ง โดยการ ลดอุณหภูมิ ถ้าลดอุณหภูมิอย่างรวดเร็วลงมาที่อุณหภูมิต่ำกว่าอุณหภูมิเปลี่ยนสถานะคล้ายแก้ว จะ เกิดสภาพไม่เสถียร พอลิเมอร์จะอยู่ในสถานะของแก้วซึ่งไม่เป็นผลึก (Amorphous Phase) ใน การศึกษาจอนพลศาสตร์ของการตกผลึกของพอลิเมอร์ส่วนใหญ่นิยมใช้เครื่องวัดวิเคราะห์ปริมาณ ความร้อนแบบส่อง粒度เชิงอนุพันธุ์ (DSC) เพื่อหาสัดส่วนความเป็นผลึกที่เปลี่ยนแปลงตามเวลา



ภาพที่ 4 แผนภูมิการเปรียบเทียบของอัตราการตกผลึกกับอุณหภูมิ

ที่มา: Vasile (2000)

นอกจากการทดลองยังมีทฤษฎีที่สร้างขึ้นโดย Kolmogorov, Johnson, Mehl และ Avrami ในปี 1930s เรียกว่า ทฤษฎี JMAK เป็นการศึกษาจนพอกศาสตร์ของการตกผลึกภายในไส้สภาวะ อุณหภูมิกองที่ โดยพิจารณาที่สัดส่วน โดยปริมาตร (Volume Fraction) ของการเปลี่ยนสถานะ สัดส่วนความเป็นผลึก ($\theta(t)$) ซึ่งเป็นฟังค์ชันกับเวลา (t) แสดงได้ดังสมการ (14)

$$\theta(t) = 1 - \exp \left[-g \int_0^t I(t') \left[\int_{t'}^t G(t'') dt'' \right]^3 dt' \right] \quad (14)$$

- เมื่อ g คือ ค่าที่บ่งบอกถึงลักษณะรูปร่างของผลึก (Shape factor) ถ้าผลึกมีลักษณะเป็นทรงกลมจะมีค่าเท่ากับ $\frac{4\pi}{3}$
- I คือ อัตราการเกิดนิวเคลียส
- G คือ อัตราการเติบโตของผลึก

ถ้าการตกผลึกเป็นการเกิดนิวเคลียสแบบเอกพันธุ์และอัตราการตกผลึกคงที่สามารถเขียนสมการใหม่ได้ดังต่อไปนี้

$$\theta(t) = 1 - \exp\left[-\frac{gIG^3t^4}{4}\right] \quad (15)$$

ถ้าความหนาแน่นของนิวเคลียส (N) ไม่เป็นแ平งตามเวลาหรือเป็นการเกิดนิวเคลียสแบบวิวิชพันธุ์สมการ (15) สามารถเปลี่ยนรูปเป็นสมการ (16)

$$\theta(t) = 1 - \exp\left[-gNG^3t^3\right] \quad (16)$$

Avrami ได้เสนอสมการในรูปแบบทั่วไปดังนี้

$$\theta(t) = 1 - \exp\left[-k_A t^{n_A}\right] \quad (17)$$

เมื่อ k_A และ n_A เป็นค่าคงที่ที่ใช้ในการตกผลึกของ Avrami ซึ่ง k_A แสดงถึงอัตราการตกผลึกของ Avrami และ n_A เป็นค่าคงที่พิเศษเฉพาะของ Avrami แสดงถึง สภาวะที่ตกผลึกและรูปร่างของผลึก ค่า n_A แสดงดังตารางที่ 1

ในกรณีที่ผลึกของพอลิเมอร์เกิดนิวเคลียสแบบวิวิชพันธุ์ ผลึกมีลักษณะเป็นวงกลมและมีอัตราการเติบโตของผลึกคงที่ เมื่อพิจารณาในลักษณะ 2 มิติ ค่า k_A จะสามารถคำนวณได้จากความหนาแน่นของนิวเคลียส (N) และอัตราการเติบโตของผลึก (G) ดังสมการ (18)

$$k_A = \pi NG^2 \quad (18)$$

สำหรับกรณีที่ผลึกของพอลิเมอร์เกิดนิวเคลียสแบบเอกพันธุ์ที่ผลึกมีลักษณะเป็นวงกลม และมีอัตราการเติบโตของผลึกคงที่ เมื่อพิจารณาในลักษณะ 2 มิติ ด้วยอัตราการเกิดนิวเคลียส (I) และอัตราการเติบโตของผลึก (G) จะแสดงความสัมพันธ์ของค่าอัตราการตกผลึกของ Avrami (k_A) ได้ดังสมการ (19)

$$k_A = \frac{\pi I G^2}{3} \quad (19)$$

ตารางที่ 1 ค่าคงที่พิเศษณิตของ Avrami

n_A	ลักษณะการเกิดนิวเคลียส	รูปร่างของผลึก	อัตราการเติบโตของผลึก
1/2	วิวิชพันธุ์	แท่ง	$t^{-1/2}$
1	วิวิชพันธุ์	แท่ง	คงที่
1	วิวิชพันธุ์	วงกลม	$t^{-1/2}$
3/2	วิวิชพันธุ์	ทรงกลม	$t^{-1/2}$
	เอกพันธุ์	วงกลม	$t^{-1/2}$
2	วิวิชพันธุ์	วงกลม	คงที่
2	เอกพันธุ์	วงกลม	$t^{-1/2}$
	เอกพันธุ์	แท่ง	คงที่
5/2	เอกพันธุ์	ทรงกลม	$t^{-1/2}$
3	วิวิชพันธุ์	ทรงกลม	คงที่
	เอกพันธุ์	วงกลม	คงที่
4	เอกพันธุ์	ทรงกลม	คงที่

ที่มา: Schultz (2001)

ในการจำลองการทดลองผลึกของพอลิเมอร์ในงานวิจัยนี้ในขั้นตอนการเกิดนิวเคลียสจะใช้ค่าคงที่ของ Avrami (k_A) จากสมการ (18) และ (19) เพื่อกำหนดหาความหนาแน่นของนิวเคลียสสำหรับการเกิดนิวเคลียสแบบวิวิชพันธุ์และอัตราการเกิดนิวเคลียสสำหรับการเกิดนิวเคลียสแบบเอกพันธุ์ตามลำดับ

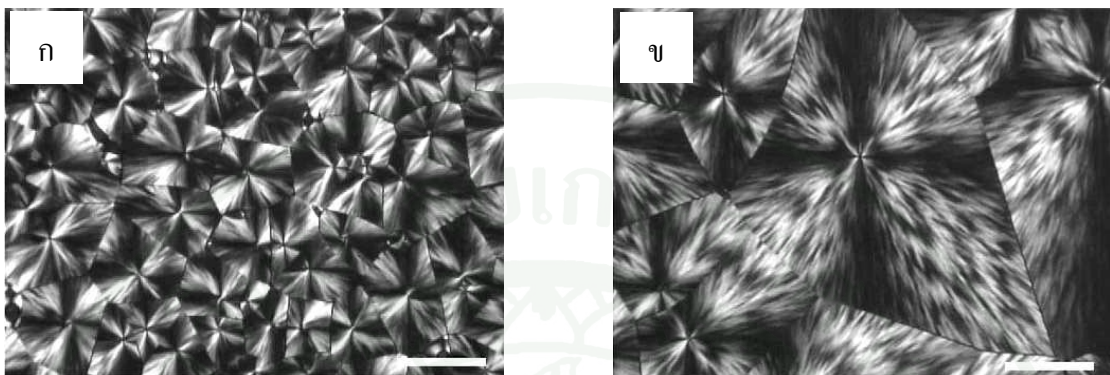
3. สัมฐานวิทยาในช่วงระหว่างการตกผลึกของพอลิเมอร์

คำว่าสัมฐานวิทยามายถึงการจัดเรียงตัวของผลึก ที่มีมาตราส่วนใหญ่กว่าโดยเมนปกติ นักผลึกศาสตร์จึงกลบกคุณลักษณะและรูปร่างของผลึกแต่ละผลึกและลักษณะการรวมกันเป็นกลุ่ม ก้อนของผลึกเหล่านี้ การศึกษาสัมฐานวิทยาเกี่ยวกับผลึกนั้นมีอดีตที่ผ่านมาหวาน ในปี ค.ศ. 1950 Nakaya ได้ศึกษาสัมฐานวิทยาของผลึกหินะต่อมมาซึ่งที่ศึกษาด้านโลหการ (Metallurgists) เริ่มสนใจศึกษาเกี่ยวกับสัมฐานวิทยาในช่วงระหว่างการตกผลึก เนื่องจากสัมฐานวิทยามีผลกระทบต่อคุณสมบัติทางกลของวัสดุ ทำให้สถาบันการศึกษาและโรงงานอุตสาหกรรมมีความสนใจศึกษาการควบคุมสัมฐานวิทยาของผลึกและกลไกของการเปลี่ยนแปลงทางสัมฐานวิทยา การศึกษาสัมฐานวิทยาของการตกผลึกโดยทั่วไปจะศึกษาเกี่ยวกับ ผลึกเดียว กิ่งก้านของเซลล์ประสาท สารร้ายระเด และสเปียร์ไลท์

สเปียร์ไลท์เป็นโครงสร้างที่เกิดจากการปล่อยให้เกิดการตกผลึกอย่างช้าๆ จากพอลิเมอร์หลอมเหลวหรือสารละลายจะได้ผลึกที่ไม่เลกุลเรียงเป็นสายอยู่รอบๆ จุดศูนย์กลางที่เรียกว่า นิวเคลียส การทำให้เย็นลงอย่างสมบูรณ์จะได้ผลึกที่มีลักษณะทรงกลม ผลึกส่วนมากเส้นผ่าศูนย์กลางจะไม่เกิน 100 ไมโครเมตร ถ้าเป็นพวกรที่มีความเป็นผลึกสูงเมื่อถูกแรงดึงแล้วเก็บ พลังงานไว้พลังงานจะถูกเก็บไว้โดยการบิดของโครงสร้างส่วนต่างๆ ถ้าพลังงานนี้มีสูงกว่า จุดจำกัดการของดึงยืดของพอลิเมอร์ จะทำให้เกิดการเรียงตัวใหม่ของไมเลกุลพอลิเมอร์เพื่อให้ไมเลกุลเรียงตัวอยู่ในทิศทางของความดึง ซึ่งเป็นการทำลายโครงสร้างของสเปียร์ไลท์ กระบวนการของการเรียงตัวโดยการดึงใช้สำหรับพวกรสีน้ำเงิน เช่น ไนโตร เมื่อเรียงตัวแล้วจะให้ความเหนียวสูง

สัมฐานวิทยาในช่วงระหว่างการตกผลึกของพอลิเมอร์นั้นบ่งบอกถึงรูปร่างที่เกิดจากการตกผลึกที่มีแบบแผนของพอลิเมอร์ การศึกษาสัมฐานวิทยาในช่วงระหว่างการตกผลึกของพอลิเมอร์สามารถศึกษาได้หลายเทคนิค เช่น การส่องด้วยกล้องอิเลคทรอน (Electron Microscopy) การแพร่กระจายโดยรังสีเอ็กซ์เรย์ (Scattering by X-ray) การแพร่กระจายโดยรังสีแม่เหล็กไฟฟ้า (Scattering by Electromagnetic Radiation) และ สามารถวัดได้โดยตรงด้วยเทคนิคการส่องด้วยกล้องจุลทรรศน์แบบใช้แรงของอะตอม (AFM) หรือกล้องจุลทรรศน์แบบใช้แสงโพลาร์ไรซ์ (POM) ซึ่งเป็นเทคนิคที่นิยมใช้โดยทั่วไป ตัวอย่างภาพถ่ายของสัมฐานวิทยามีอักษรภาษาไทย

สภาวะอุณหภูมิกองที่ที่อุณหภูมิ ต่าง ๆ จากกล้องจุลทรรศน์แบบใช้แสงโพลาร์ไรซ์สามารถแสดงได้ดังภาพที่ 5 ซึ่งแสดงให้เห็นว่าอุณหภูมิที่ตกผลึกส่งผลกระทบต่อสัมฐานวิทยาของวัสดุพอลิเมอร์



ภาพที่ 5 ตัวอย่างภาพถ่ายจากกล้องจุลทรรศน์แบบใช้แสงโพลาร์ไรซ์แสดงถึงสัมฐานวิทยาเมื่อตกผลึกสมบูรณ์ของ Poly (L-lactic acid) ที่ตกผลึกภายใต้สภาวะอุณหภูมิกองที่ที่อุณหภูมิ (ก) 116 องศาเซลเซียส และ (ข) 121 องศาเซลเซียส ถนนวัดขนาดยาว 50 ไมโครเมตร

ที่มา: Yasuniwa *et al.* (2006)

4. พารามิเตอร์ของการตกผลึก สำหรับชินดิโอแทคติก พอลิโพร์พลีน

การจำลองการตกผลึกของชินดิโอแทคติก พอลิโพร์พลีน จำเป็นที่จะต้องใช้พารามิเตอร์ของการตกผลึกสำหรับชินดิโอแทคติก พอลิโพร์พลีน ซึ่งได้แก่ ความหนาแน่นของนิวเคลียส อัตราการเกิดนิวเคลียส และอัตราการเติบโตของผลึก

Supaphol and Sprueill (2000x) ได้ประมาณค่าอัตราการเติบโตของผลึก (G ไมโครเมตรต่อนาที) ของชินดิโอแทคติก พอลิโพร์พลีน ซึ่งเป็นฟังก์ชันกับอุณหภูมิที่พอลิเมอร์ตกผลึก (T_c เคลวิน) แสดงความสัมพันธ์ได้ดังสมการ (20)

$$G = 9.1 \times 10^8 \exp \left[-\frac{754.8}{T_c - 237} - \frac{3.6 \times 10^5}{T_c (441.8 - T_c) f} \right] \quad (20)$$

เมื่ออุณหภูมิที่พอลิเมอร์ตกผลึกไม่เกิน 110 องศาเซลเซียส ในกรณีนี้ให้ $f = 2T_c/(T_c + 441.8)$ อุณหภูมิก้าวแรก (T_g) มีค่า 6 องศาเซลเซียส และค่าอุณหภูมิหลอมเหลวที่สมดุล (T_m^0) เท่ากับ 168.7 องศาเซลเซียส

ในการศึกษาจันพลศาสตร์ของการตกผลึกจากพอลิเมอร์หลอมเหลวภายใต้สภาวะที่อุณหภูมิกคงที่ (Isothermal) ของชินดิโอแทคติก พอลิโพร์พลีน (sPP) ด้วยเทคนิควิเคราะห์ปริมาณความร้อนแบบส่องรากดเชิงอนุพันธ์ (DSC) Supaphol and Sprueill (2001) รายงานผลของจันพลศาสตร์ของการตกผลึกแล้วพิจารณาหาค่าที่เหมาะสมของผลที่ได้จากการทดลองกับแบบจำลองทางทฤษฎีของ Avrami โดยใช้ระบบวิธีการถดถอยพหุตัวแปรไม่เชิงเส้น (Non-Linear Multi-Variable Regression Program) ประมาณค่าตัวแปรสำหรับกระบวนการตกผลึก เช่น ค่าคงที่อัตราการตกผลึกของ Avrami (k_A) เวลาที่ใช้ตกผลึกที่ร้อยละ 50 ของการตกผลึกทั้งหมด (Crystallization half time; $t_{0.5}^{-1}$)

จากสมการ (11) ที่แสดงถึงสมการทั่วไปของอัตราการเกิดผลึกของพอลิเมอร์ (I) ที่มีความสัมพันธ์กับอุณหภูมิ สามารถประมาณค่าพารามิเตอร์โดยใช้ระบบวิธีการถดถอยพหุตัวแปรไม่เชิงเส้นด้วยสมการ (21)

$$\psi(T_c) = \psi_0 \exp\left[-\frac{\Theta}{R(T_c - T_\infty)}\right] \exp\left[\frac{K'}{T_c(\Delta T)^2 f^2}\right] \quad (21)$$

จากสมการ (12) ที่แสดงถึงสมการทั่วไปของอัตราการเติบโตของผลึกพอลิเมอร์ (G) ที่มีความสัมพันธ์กับอุณหภูมิ สามารถประมาณค่าพารามิเตอร์โดยใช้ระบบวิธีการถดถอยพหุตัวแปรไม่เชิงเส้นด้วยสมการ (22)

$$\psi(T_c) = \psi_0 \exp\left[-\frac{\Theta}{R(T_c - T_\infty)}\right] \exp\left[\frac{K^G}{T_c(\Delta T)f}\right] \quad (22)$$

เมื่อ $\psi(T_c)$ คือ ค่าพารามิเตอร์สำหรับการตกผลึกทั่วไปที่อุณหภูมิใดๆ เช่น k_A และ $t_{0.5}^{-1}$
 ψ_0 คือ ค่าพารามิเตอร์สำหรับการตกผลึกทั่วไปที่ไม่ขึ้นกับอุณหภูมิ เช่น k_{AO} และ $(t_{0.5}^{-1})_0$

- Θ คือ ค่าพารามิเตอร์ที่มีความสัมพันธ์กับลักษณะของพลังงานระดับของการเคลื่อนที่ของโมเลกุลบริเวณผิวของผลึกกับพอลิเมอร์ที่ยังหลอมเหลวอยู่

จากสมการ (21) สำหรับชนิดไอแทคติก พอลิโพร์พลีน กรณีที่การตกผลึกอยู่ในช่วงอุณหภูมิ 10 ถึง 40 องศาเซลเซียส ค่าพารามิเตอร์สำหรับการตกผลึกทั่วไปที่อุณหภูมิใดๆ คือค่าคงที่อัตราการตกผลึกของ Avrami (k_A (นาที⁻¹)) สามารถประมาณค่าพารามิเตอร์ที่ไม่ทราบค่าได้แก่ ψ_0 , Θ และ K^I ซึ่งค่าที่สอดคล้องที่สุดแสดงได้ดังสมการ

$$k_A = 2.25 \times 10^{10} \exp\left[-\frac{914.7}{T_c - 237}\right] \exp\left[-\frac{5.47 \times 10^7}{T_c (441.8 - T_c)^2 f^2}\right] \quad (23)$$

จากสมการ (22) สำหรับชนิดไอแทคติก พอลิโพร์พลีน กรณีที่การตกผลึกอยู่ในช่วงอุณหภูมิ 40 ถึง 95 องศาเซลเซียส ค่าพารามิเตอร์สำหรับการตกผลึกทั่วไปที่อุณหภูมิใดๆ คือค่าคงที่อัตราการตกผลึกของ Avrami (k_A (นาที⁻²)) สามารถประมาณค่าพารามิเตอร์ที่ไม่ทราบค่าได้แก่ ψ_0 , Θ และ K^G ซึ่งค่าที่สอดคล้องที่สุดแสดงได้ดังสมการ

$$k_A = 7.08 \times 10^{26} \exp\left[-\frac{1807.096}{T_c - 237}\right] \exp\left[-\frac{1.39 \times 10^6}{T_c (441.8 - T_c) f}\right] \quad (24)$$

สำหรับการจำลองการตกผลึกของชนิดไอแทคติก พอลิโพร์พลีนในช่วงอุณหภูมิ 10 ถึง 40 องศาเซลเซียส จะกำหนดให้มีการเกิดนิวเคลียสแบบເອກພັນນີ້และใช้สมการ (23) คำนวณหาค่าอัตราการตกผลึกด้วยสมการของ Avrami และช่วงอุณหภูมิ 40 ถึง 100 องศาเซลเซียส จะกำหนดให้มีการเกิดนิวเคลียสแบบວິວົດພັນນີ້ และใช้สมการ (24) เพื่อคำนวณหาค่าความหนาแน่นของนิวเคลียส ด้วยสมการของ Avrami

งานวิจัยที่เกี่ยวข้อง

กระบวนการตกผลึกในระดับอุตสาหกรรมส่วนใหญ่จะเกิดการตกผลึกภายในได้สภาวะที่เกรเดียนต์ของอุณหภูมิ จึงมีการศึกษาทั้งการทดลองและการจำลอง เพื่อให้ได้ข้อมูลทางสัมฐานวิทยาในช่วงระหว่างการตกผลึกของพอลิเมอร์ เนื่องจากสัมฐานวิทยาของวัสดุพอลิเมอร์สามารถบ่งบอกถึงสมบัติทางกายภาพของวัสดุพอลิเมอร์ได้

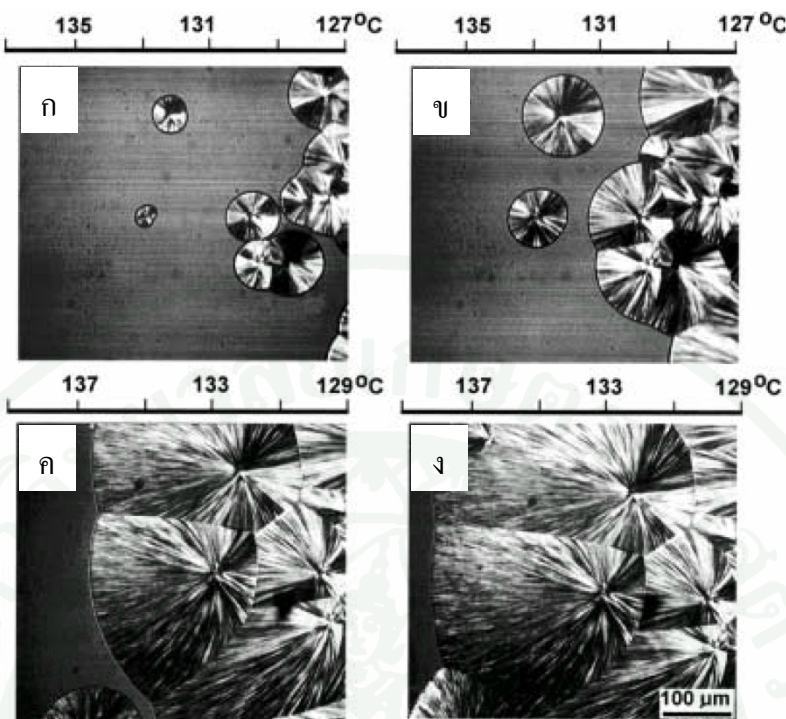
1. การทดลองที่เกี่ยวข้อง

การจำลองการตกผลึกของพอลิเมอร์จำเป็นที่จะต้องทราบค่าพารามิตเตอร์ต่าง ๆ ซึ่งได้จาก การศึกษาของ Supaphol and Sprueill (2000ก, 2000ข, 2000ค) โดยศึกษาการตกผลึกของ ชินดิโอะแทคติก พอลิไพรพลีน (sPP) ในสภาวะอุณหภูมิกองที่ด้วยเทคนิคการวิเคราะห์ปริมาณความร้อนแบบส่องรากดเชิงอนุพันธ์ (DSC) และทฤษฎีการเติบโตของผลึกของ Lauritzen-Hoffman (LH) ทำให้ได้สมการแสดงความสัมพันธ์ระหว่างเวลาที่ตกผลึกร้อยละ $50 (t_{0.5}^{-1}(T))$ อัตราการเติบโตของ ผลึก ($G(T)$) ที่มีความสัมพันธ์กับอุณหภูมิที่ตกผลึก ซึ่งเป็นพารามิตเตอร์ที่นำมาใช้ในการจำลอง และศึกษาสัมฐานวิทยาที่ตกผลึกในช่วงอุณหภูมิ 65 ถึง 95 องศาเซลเซียส โดยการคำนวณจำนวน นิวเคลียสทั้งหมดด้วยสมการของ Avrami พบว่าการตกผลึกภายในได้สภาวะอุณหภูมิกองที่ เมื่ออุณหภูมิเพิ่มขึ้นจำนวนนิวเคลียสจะลดลงและขนาดเฉลี่ยเส้นผ่านศูนย์กลางของผลึกทรงกลมจะมีขนาดเพิ่มขึ้น

ต่อมา Supaphol and Sprueill (2001) ใช้ระบบเบียร์วิธีการทดลองอยพหุตัวแปร ไม่เชิงเส้น ประมาณค่าพารามิตเตอร์ของชินดิโอะแทคติก พอลิไพรพลีน (sPP) จากผลการทดลองกับสมการของ Avrami ทำให้ได้สมการความสัมพันธ์ของค่าคงที่อัตราการตกผลึกของ Avrami (k_A) กับอุณหภูมิที่ตกผลึกในช่วงอุณหภูมิ 10 ถึง 95 องศาเซลเซียส จากรากนี่ค่าเลขยกกำลังของ Avrami (n_A) จะขึ้นกับอุณหภูมิที่ตกผลึกโดยสามารถแบ่งออกได้ชัดเจนเป็น 2 ช่วง ได้แก่ ช่วงอุณหภูมิ 10 ถึง 40 องศาเซลเซียส และ 40 ถึง 95 องศาเซลเซียส และใช้ข้อมูลจากการทดลองประมาณค่าพารามิตเตอร์ในรูปแบบทั่วไปของการตกผลึกทั้งการเกิดนิวเคลียสแบบวิวิชพันธ์และเอกพันธ์ ในการจำลองนี้จึงกำหนดให้ช่วงอุณหภูมิ 10 ถึง 40 องศาเซลเซียส ให้มีการเกิดนิวเคลียสแบบเอกพันธ์ และช่วงอุณหภูมิ 40 ถึง 100 องศาเซลเซียส ให้มีการเกิดนิวเคลียสแบบวิวิชพันธ์

โดยทั่วไปการศึกษาการเปลี่ยนแปลงสัมฐานวิทยาในช่วงระหว่างการตกผลึกของพอลิเมอร์จะศึกษาด้วยกล้องจุลทรรศน์แบบใช้แสงโพลาไรท์ (POM) และการศึกษาจลนพลาสต์ของการตกผลึกของพอลิเมอร์จะนิยมใช้เทคนิคิวเคราะห์ปริมาณความร้อนแบบส่องรามซ์เชิงอนุพันธ์ (DSC) ซึ่งจะศึกษาแยกกัน แต่ Santis *et al.* (2006) สามารถศึกษาได้พร้อมๆ กัน โดยศึกษาภายในได้สภาวะอุณหภูมิกองที่และอุณหภูมิไม่คงที่ แล้วนำผลของจลนพลาสต์ของการตกผลึกจาก การตกผลึกของไอโซแทคติก พอลิโพพลีน (iPP) ภายในได้สภาวะที่อุณหภูมิกองที่เปรียบเทียบกับ สมการของ Kolmogoroff-Avrami-Evans (KAE) ที่คำนวณจากความหนาแน่นของนิวเคลียสและ อัตราการเติบโตของผลึก พบว่าผลของจลนพลาสต์ของการตกผลึกจากสมการ KAE กับผลจาก การทดลองมีความสอดคล้องกัน และแสดงผลการเปลี่ยนแปลงสัมฐานวิทยาในช่วงระหว่างการตกผลึกในเชิงคุณภาพที่เวลาต่างๆ ซึ่งทำให้ทราบถึงความสอดคล้องของจลนพลาสต์ของการตกผลึกและการเปลี่ยนแปลงสัมฐานวิทยามากขึ้น

ส่วนใหญ่การทดลองเพื่อศึกษาสัมฐานวิทยาในช่วงระหว่างการตกผลึกภายในได้สภาวะที่มี เกรเดียนต์ของอุณหภูมิจะศึกษาในลักษณะที่อุณหภูมิเปลี่ยนแปลงอย่างคงที่ตามทิศทางแกนนอน เท่านั้น โดยการควบคุมอุณหภูมิทั้งสองด้าน Huang and Petermann (1990) ศึกษาการเติบโตของ เสฟียร์ไอล์ฟของพอลิบิวทิน (Polybutene-1) โดยกำหนดให้อุณหภูมิจากด้านอุณหภูมิต่ำประมาณ 20 องศาเซลเซียส แล้วเพิ่มอุณหภูมิขึ้นอย่างคงที่จนถึงด้านที่อุณหภูมิสูงประมาณ 180 องศาเซลเซียส พบว่าจำนวนนิวเคลียสจะเกิดขึ้นหนาแน่นทางด้านอุณหภูมิต่ำ และทิศทางการเติบโตของเสฟียร์ไอล์ฟจะ มุ่งไปทางด้านอุณหภูมิสูงและหยุดเติบโตที่อุณหภูมิสูง ต่อมา Pawlak and Piorkowska (2001) ศึกษาการตกผลึกของไอโซแทคติก พอลิโพพลีน (iPP) โดยศึกษาสัมฐานวิทยาและจลนพลาสต์ ของการตกผลึกในการตกผลึกของพอลิเมอร์ พบว่าการเกิดนิวเคลียสและอัตราการเติบโตของผลึก ขึ้นกับตำแหน่งในแกนนอน โดยด้านที่มีอุณหภูมิต่ำจะมีความหนาแน่นของนิวเคลียสและอัตราการเติบโตของผลึกจะสูงกว่าด้านที่อุณหภูมิสูงแสดงดังภาพที่ 6 นอกจากนี้การศึกษาจลนพลาสต์ ของการตกผลึก พบว่าเมื่อตกรผลึกภายในได้สภาวะที่มีเกรเดียนต์ของอุณหภูมิสูงขึ้น ความชันของ สัดส่วนความเป็นผลึกจะต่ำลง



ภาพที่ 6 ตัวอย่างภาพถ่ายจากกล้องจุลทรรศน์แบบใช้แสงโพลาร์ไรซ์แสดงถึงการเปลี่ยนแปลงสัณฐานวิทยาในช่วงระหว่างการตกผลึกของไอโซแทกติก พอลิโพร์พีนภายในอุณหภูมิ 20 องศาเซลเซียสต่อミニดิเมตร

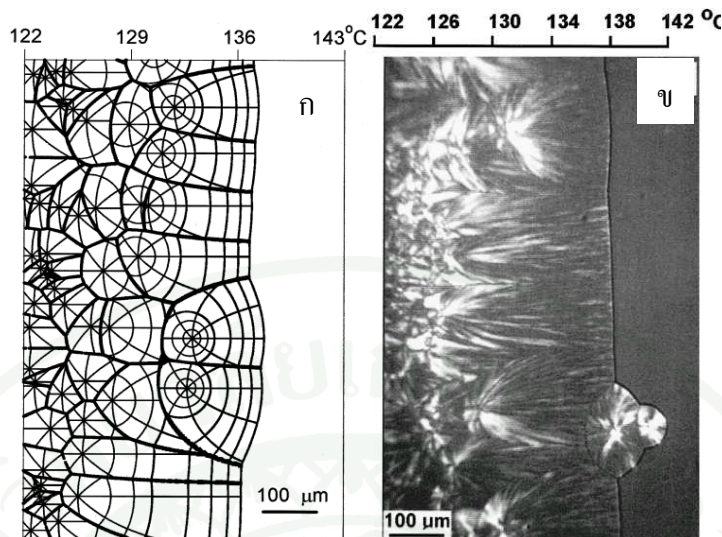
ที่มา: Pawlak and Piorkowska (2001)

2. การจำลองที่เกี่ยวข้อง

เนื่องจากศึกษาการเปลี่ยนแปลงสัณฐานวิทยาในช่วงระหว่างการตกผลึกของพอลิเมอร์ จำเป็นต้องใช้ข้อมูลเชิงปริมาณอย่างละเอียด ซึ่งศึกษาได้จากการทดลอง Leephakpreeda (2001) ศึกษาแบบจำลองทางคณิตศาสตร์ท่านายขนาดของผลึกของพอลิเมอร์ภายใต้สภาวะอุณหภูมิไม่คงที่ พบว่าค่าเฉลี่ยของรัศมีจะขึ้นกับกระบวนการของการเกิดนิวเคลียสและอัตราการเติบโตของผลึก โดยจำนวนนิวเคลียสและอัตราการเติบโตของผลึกจะขึ้นกับอุณหภูมิและกำหนดให้จำนวนนิวเคลียส เกิดขึ้นโดยการสุ่มตำแหน่งนิวเคลียส พบว่าเมื่ออัตราการลดอุณหภูมิสูงขึ้นจำนวนนิวเคลียสจะเพิ่มขึ้นส่งผลทำให้ตัวผลึกเร็วขึ้นและขนาดของผลึกจะเล็กลง ต่อมา Raabe (2004); Raabe and Godara (2005) ศึกษาการจำลองกระบวนการตกผลึกของพอลิเมอร์ในรูปแบบ 3 มิติ โดยใช้แบบจำลองเซลลูลาร์อะตอมตัน (Cellular Automaton Model) และในขั้นตอนการเติบโตของผลึก

จะใช้กฏสุวิทซิงที่มีความสัมพันธ์กับอุณหภูมิที่ใช้ในการตกผลึกของโพลิเมอร์นำมาใช้ตัดสินใจเพื่อตกผลึกโพลิเมอร์ เพื่อศึกษาผลของการเกิดนิวเคลียสทึ้งแบบเอกพันธุ์และวิธีพันธุ์ที่ส่งผลกระทบต่อสัมฐานวิทยาและจลนพลศาสตร์ของการตกผลึกของโพลิเอทธิลีน (Raabe, 2004) พบว่า เมื่อนิวเคลียสเพิ่มขึ้นทำให้ตกผลึกเร็วขึ้นผลึกส่วนใหญ่มีขนาดเล็กลงและการกระจายตัวของขนาดผลึกแคบลง และผลจากแบบจำลองจากการตกผลึกภายในได้สภาวะอุณหภูมิกคงที่มีความสอดคล้องกับสมการของ Avrami–Johnson–Mehl–Kolmogoro (JMAK) และศึกษาการจำลองกระบวนการตกผลึกของไอโซแทกติก พอลิไพรอพิลีน ในช่วงอุณหภูมิ 128 ถึง 140 องศาเซลเซียส และอัตราเรือนที่ส่งผลกระทบต่อจลนพลศาสตร์ของการตกผลึกและการกระจายตัวของขนาดผลึก (Raabe and Godara, 2005) พบว่าเมื่ออุณหภูมิที่ใช้ตกผลึกเพิ่มขึ้นจะทำให้ตกผลึกได้ช้าลง การกระจายตัวของขนาดผลึกค่อนข้างแคบและขนาดผลึกส่วนใหญ่จะมีขนาดใหญ่ขึ้น นอกจากนี้เมื่ออัตราเรือนเพิ่มขึ้นจะทำให้ตกผลึกได้เร็วขึ้นขนาดผลึกส่วนใหญ่เล็กลงและการกระจายตัวของขนาดผลึกกว้างขึ้น เนื่องจากมีจำนวนนิวเคลียสมากขึ้น

สำหรับการจำลองการเปลี่ยนแปลงทางสัมฐานวิทยาภายใต้สภาวะที่มีเกรเดียนต์ของอุณหภูมิ ส่วนใหญ่จะศึกษาในลักษณะ 2 มิติ และมีเกรเดียนต์ของอุณหภูมิที่เปลี่ยนแปลงตามทิศทางแกนนอนเท่านั้น Huang and Kamal (2000) ศึกษาการจำลองสัมฐานวิทยาของกระบวนการตกผลึกของโพลิเอทธิลีนด้วยการเกิดนิวเคลียสแบบเอกพันธุ์ ต่อมา Piorkowska (2002) ศึกษาการจำลองสัมฐานวิทยาของกระบวนการตกผลึกของไอโซแทกติก พอลิไพรอพิลีนด้วยการเกิดนิวเคลียสแบบวิธีพันธุ์ ซึ่งให้ผลการจำลองที่สอดคล้องกันคือพบว่านิวเคลียสจะเกิดหนาแน่นในบริเวณที่มีอุณหภูมิต่ำๆ และผลึกของโพลิเมอร์มีลักษณะเป็นวงรี นอกจากนี้เพื่อยืนยันความถูกต้องของแบบจำลอง Huang and Kamal (2000) เปรียบเทียบผลการจำลองในเชิงคุณภาพของสัมฐานวิทยาในช่วงระหว่างการตกผลึกของโพลิเมอร์ภายใต้สภาวะที่อุณหภูมิกคงที่กับผลจากการทดลองพบว่ามีความสอดคล้องกัน Piorkowska (2002) เปรียบเทียบผลของจลนพลศาสตร์และสัมฐานวิทยาในเชิงคุณภาพกับผลการทดลองของ Pawlak and Piorkowska (2001) พบว่ามีความสอดคล้องกันดังแสดงในภาพที่ 7 ต่อมา Xu and Bellehumeur (2006) ศึกษาการจำลองการเปลี่ยนแปลงทางสัมฐานวิทยาในกระบวนการตกผลึกของเอทธิลีนโพลิเมอร์ในเครื่องขึ้นรูปชนิดแม่พิมพ์หมุน (Rotational Molding) โดยใช้ตัวแปรจากกรรมวิธีทดลอง พบว่าบริเวณที่ใกล้กับผิวแม่พิมพ์ จะเกิดการตกผลึกก่อนและมีลักษณะผลึกของโพลิเมอร์เป็นโครงสร้างแบบ Transcristalline และผลึกของโพลิเมอร์ในบริเวณที่ใกล้กับด้านในของแม่พิมพ์ จะเกิดผลึกขนาดใหญ่ ซึ่งมีความสอดคล้องกับผลจากการทดลองจากลักษณะของจลนพลศาสตร์แบบใช้แสงโพลาร์ไรซ์ นอกจากนี้จะพบว่าการทำให้เย็นด้วยละอองน้ำจะทำให้ผลึกมีขนาดเล็กกว่าการปล่อยให้ตกผลึกเอง



ภาพที่ 7 ตัวอย่างสัมฐานวิทยาในเชิงคุณภาพในช่วงระหว่างการตกผลึกของไอลูโซแทคติก พอลิโพร์พลีนภายในได้สภาวะที่มีเกรดเดียนต์ของอุณหภูมิ 35 องศาเซลเซียสต่อมิลลิเมตร (ก) ผลการจำลอง (ข) ผลการทดลองจากกล้องจุลทรรศน์แบบใช้แสงโพลาร์ไรซ์จาก Pawlak and Piorkowska (2001)

ที่มา: Piorkowska (2002)

เนื่องจากงานวิจัยที่ผ่านมานี้ส่วนใหญ่ไม่ได้ศึกษาข้อมูลในเชิงปริมาณอย่างละเอียดของ สัมฐานวิทยาของวัสดุพอลิเมอร์ ในงานวิจัยเราริบส์ในการจำลองการเปลี่ยนแปลงของสัมฐานวิทยาในกระบวนการตกผลึกของพอลิเมอร์ โดยศึกษาข้อมูลในเชิงปริมาณของสัมฐานวิทยาในช่วงระหว่างการตกผลึกอย่างละเอียด ได้แก่ ขนาดเฉลี่ยของผลึก การกระจายตัวของขนาดผลึกในช่วงระหว่างการตกผลึก และการกระจายตัวของขนาดผลึกเมื่อตกผลึกสมบูรณ์แล้ว Katdee (2006) ศึกษาการจำลองการเปลี่ยนแปลงทางสัมฐานวิทยาในช่วงระหว่างการตกผลึกของพอลิเมอร์ภายใต้ สภาวะอุณหภูมิกึ่งที่ในลักษณะ 2 มิติ ด้วยการจำลองแบบอนคิคาร์โล โดยพิจารณาจากผลกระทบของจำนวนนิวเคลียส อัตราการเติบโตของผลึกพอลิเมอร์และอุณหภูมิที่ใช้ในการตกผลึกของพอลิเมอร์ แล้วนำผลของการจำลองมาสตร์ของการตกผลึกจากการจำลองเปรียบเทียบกับสมการของ Avrami พบว่าผลจากการจำลองมีความสอดคล้องกับสมการของ Avrami และแสดงผลของสัมฐานวิทยาในกระบวนการตกผลึกของพอลิเมอร์เป็นข้อมูลในเชิงปริมาณ ได้แก่ ขนาดเฉลี่ยของผลึก พอลิเมอร์และการกระจายตัวของขนาดผลึกพอลิเมอร์ พบว่าการเพิ่มจำนวนนิวเคลียสส่งผลให้ตัวผลึกได้เริ่วขึ้นขนาดเฉลี่ยของผลึกจะมีขนาดเล็กลงและมีการกระจายตัวของขนาดผลึกแคบ การเพิ่ม

อัตราการเติบ โตของผลึกจะทำให้ตกผลึกได้เร็วขึ้นขนาดเดลี่ยของผลึกในช่วงระหว่างการตกผลึก จะใหญ่ขึ้นแต่ไม่ส่งผลกระทบต่อสัมฐานวิทยาเมื่อตกผลึกสมบูรณ์ นอกจากนี้ยังพบว่าเมื่ออุณหภูมิที่ตกผลึกเพิ่มขึ้น ขนาดเฉลี่ยของผลึกจะใหญ่ขึ้นและการกระจายตัวของขนาดผลึกเมื่อตกผลึกสมบูรณ์จะกว้างขึ้น

ต่อมา ชัยฤทธิ์ และพิมพารกรณ์ (2551) ศึกษาการจำลองการตกผลึกของพอลิเมอร์ภายใต้ สภาวะอุณหภูมิกองที่ ในลักษณะ 3 มิติ เพื่อศึกษาถึงผลกระทบของความหนาแน่นของนิวเคลียสและ อัตราการเติบ โตของผลึกต่อจนศาสตร์และการเปลี่ยนแปลงทางสัมฐานวิทยาในช่วงระหว่างการ ตกผลึก พบร่วมกับจำนวนนิวเคลียสเพิ่มขึ้น เวลาที่ใช้ในการตกผลึกจะลดลง ขนาดเฉลี่ยของผลึกจะ มีขนาดเล็กลงและการกระจายตัวของขนาดผลึกแคบลง การเปลี่ยนแปลงอัตราการเติบ โตของผลึกมี ผลต่อน้ำดูดน้ำและ การกระจายตัวของขนาดผลึกระหว่างที่เกิดการตกผลึกเท่านั้นแต่ไม่มีผลต่อ สัมฐานวิทยาเมื่อการตกผลึกสมบูรณ์ นอกจากนี้ยังพบว่าในระยะเวลา 2 มิติ เมื่อความหนาของ พอลิเมอร์เพิ่มขึ้นเวลาที่ใช้ตกผลึกลดลง ขนาดเฉลี่ยของผลึกลดลงและทำให้การกระจายตัวของ ขนาดผลึกกว้างขึ้น แต่ความหนาของพอลิเมอร์ไม่มีผลต่อสัมฐานวิทยาของพอลิเมอร์เมื่อตกผลึก สมบูรณ์ในปริมาตร 3 มิติ

ต่อมาได้มีการพัฒนาการจำลองการตกผลึกของพอลิเมอร์ภายใต้สภาวะที่มีความซับซ้อนมากขึ้นโดย อุเทน (2552) ได้ศึกษาการเปลี่ยนแปลงของสัมฐานวิทยาในช่วงระหว่างการตกผลึก ของชนิดไอแทคคิก พอลิโพร์พลีน ภายใต้สภาวะอุณหภูมิไม่คงที่ในลักษณะ 2 มิติ พบร่วมกับเพิ่ม อัตราการเกิดนิวเคลียสและอัตราการเติบ โตของผลึกจะทำให้ตกผลึกได้เร็วขึ้น อัตราการเกิด นิวเคลียสที่เพิ่มขึ้นทำให้ผลึกมีขนาดเล็กลง การกระจายตัวของขนาดผลึกจะแคบ และพบว่าอัตรา การลดอุณหภูมิที่เพิ่มขึ้น ทำให้เวลาที่ใช้ในการตกผลึกน้อยลง ขนาดเฉลี่ยของผลึกเล็กลง การ กระจายตัวของขนาดผลึกแคบ นอกจากนี้ที่อัตราการลดอุณหภูมิสูงอาจส่งผลให้เกิดการตกผลึกไม่ สมบูรณ์ และผลที่ได้จากการจำลองในส่วนของจนศาสตร์ของการตกผลึกมีความสอดคล้องกับ ทฤษฎีของ Avrami

เนื่องจากการตกผลึกในระดับอุตสาหกรรมนั้นส่วนใหญ่จะมีการถ่ายเทความร้อน ทำให้ อุณหภูมิในระบบไม่เท่ากัน ในงานวิจัยนี้จึงพิจารณาการจำลองตกผลึกภายใต้สภาวะที่มีเกรดเดียนต์ ของอุณหภูมิในลักษณะ 2 มิติ ซึ่งเป็นสภาวะที่ซับซ้อนมากขึ้น เพื่อศึกษารายละเอียดของสัมฐาน วิทยาในช่วงระหว่างการตกผลึกของพอลิเมอร์โดยใช้การจำลองแบบมอนติคาร์โล

อุปกรณ์และวิธีการ

อุปกรณ์

1. อาร์ตแวร์

เครื่องคอมพิวเตอร์ Intel Core 2 Quad, CPU 2.66 GHz, DDR-II 4.0 GB

เครื่องคอมพิวเตอร์ Intel Core 2 Quad, CPU 2.50 GHz, DDR-II 4.0 GB

เครื่องคอมพิวเตอร์ Intel Core 2 Dual, CPU 3.20 GHz, DDR-II 2.0 GB

เครื่องคอมพิวเตอร์ Intel Pentium 4, CPU 3.20 GHz, DDR-I 2.0 GB

เครื่องคอมพิวเตอร์ Intel Pentium 4, CPU 2.80 GHz, DDR-I 1.5 GB

2. ซอฟต์แวร์

MATLAB สำหรับพัฒนาแบบจำลองและวิเคราะห์ข้อมูลขั้นสูง

Microsoft Excel สำหรับวิเคราะห์ข้อมูลที่ได้จากการจำลอง

3. เงื่อนไขการจำลองการตกผลึกภายในไส้สภากะที่มีเกรดีเย็นต์ของอุณหภูมิ

การพัฒนาแบบจำลองการตกผลึกของพอลิเมอร์นี้ ใช้อธิบายการตกผลึกของชินดิโอะแทคติก พอลิโพร์พลีน ($M_n = 76,200$ Da, $M_w = 165,000$ Da, $M_z = 290,000$ Da, $M_w/M_n = 2.2$) เท่านั้น แต่ สามารถปรับเปลี่ยนเป็นพอลิเมอร์ชนิดอื่นได้ เช่น ไอโซแทคติก พอลิโพร์พลีน โดยเปลี่ยนที่สมการ ความหนาแน่นของนิวเคลียส อัตราการเกิดนิวเคลียส และอัตราการเติบโตของผลึกที่เป็นฟังก์ชันกับ อุณหภูมิ และแบบจำลองใช้พิจารณาการตกผลึกภายในไส้สภากะที่มีเกรดีเย็นต์ของอุณหภูมิตามทิศทาง แกนนอนอย่างคงที่ในสภากะสถานะคงตัวเท่านั้น แต่สามารถปรับเปลี่ยนได้โดยเปลี่ยนที่อุณหภูมิใน

พื้นที่ทั้งหมด นอกจากนี้รูปร่างของผลึกโพลิเมอร์ที่ศักยภาพต้องเป็นวงกลมเท่านั้น เนื่องจากพิจารณาที่ n_A เท่ากับ 2 สำหรับการเกิดนิวเคลียสแบบวิธีพันธุ์ และเท่ากับ 3 สำหรับการเกิดนิวเคลียสแบบเอกพันธุ์ และนิวเคลียสจะเกิดขึ้นอย่างสุ่ม โดยโอกาสที่จะเกิดนิวเคลียสจะขึ้นกับอุณหภูมิเท่านั้น

วิธีการ

ในงานวิจัยนี้ศักยภาพการตกผลึกของชนิดไอโอแทคติก พอลิโพร์พลีน โดยแบ่งลักษณะการเกิดนิวเคลียสตามช่วงของอุณหภูมิที่ตกผลึก เมื่อตกผลึกในช่วงอุณหภูมิ 40 ถึง 100 องศาเซลเซียส กำหนดให้มีการเกิดนิวเคลียสแบบวิธีพันธุ์ และช่วงอุณหภูมิ 10 ถึง 40 องศาเซลเซียส กำหนดให้มีการเกิดนิวเคลียสแบบเอกพันธุ์ และพิจารณากรเดียนต์ของอุณหภูมิอย่างคงที่ตามทิศทางแกนนอนหรือแกน x เท่านั้น

การจำลองการตกผลึกของพอลิเมอร์ภายใต้สภาพที่มีกรเดียนต์ของอุณหภูมิตัวอย่างการจำลองแบบมอนติคาร์โล โดยพิจารณาในพื้นที่ 800×800 พิกเซล ซึ่งขั้นตอนการจำลองการตกผลึกจะแบ่งเป็น 2 ขั้นตอนหลักๆ ตามกระบวนการตกผลึก ได้แก่ การเกิดนิวเคลียส และการเติบโตของผลึก โดยในตอนเริ่มต้นของการตกผลึก ($t_0 = 0$) กำหนดให้พื้นที่ทั้งหมดที่พิจารณาเปรียบเสมือนกับสถานะหลอมเหลวที่มีแต่อัลตราโซนิกแสดงดังภาพที่ 8



ภาพที่ 8 การจำลองการตกผลึกภายใต้สภาพที่มีกรเดียนต์ของอุณหภูมิที่เวลาเริ่มต้น ($t_0 = 0$)

กำหนดอุณหภูมิที่ขอบด้านซ้าย (T_L) และอุณหภูมิที่ขอบด้านขวา (T_R) ดังแสดงในภาพที่ 8 แล้วคำนวณอุณหภูมิทุกๆ จุดในพื้น 800×800 พิกเซล ($T_{x,y}$) โดยให้อุณหภูมิในพื้นที่เปลี่ยนแปลงตามทิศทางแกนนอนหรือแกน x เท่านั้น ($T(x)$) ซึ่งเป็นความสัมพันธ์ในลักษณะเส้นตรงดังสมการ (25)

$$T(x) = T_L + (x - 1) \left[\frac{T_R - T_L}{X - 1} \right] \quad (25)$$

เมื่อ	$T(x)$	คือ อุณหภูมิที่เปลี่ยนแปลงตามทิศทางแกน x (องศาเซลเซียส)
	T_L	คือ อุณหภูมิที่ขอบด้านซ้าย (องศาเซลเซียส)
	T_R	คือ อุณหภูมิที่ขอบด้านขวา (องศาเซลเซียส)
	X	คือ ความกว้างของพื้นที่ที่พิจารณา มีค่าเท่ากับ 800 พิกเซล
	x	คือ ตำแหน่ง x ใดๆ ในพื้นที่ มีค่าตั้งแต่ 1 ถึง 800

ในขั้นตอนการเติบโตของผลึกตำแหน่งที่ตกลงจะพิจารณาจากเวลาที่ตกลงซึ่งสามารถคำนวณได้จากสมการ (26) ทั้งการเกิดนิวเคลียสแบบวิชพันธุ์และเอกพันธุ์

$$t_c(i) = \left[(x - x_i)^2 + (y - y_i)^2 \right]^{\frac{1}{2}} \left[\int_{T(x,y)}^{T(x_i,y_i)} G(T) d(T) \right]^{-1} \quad (26)$$

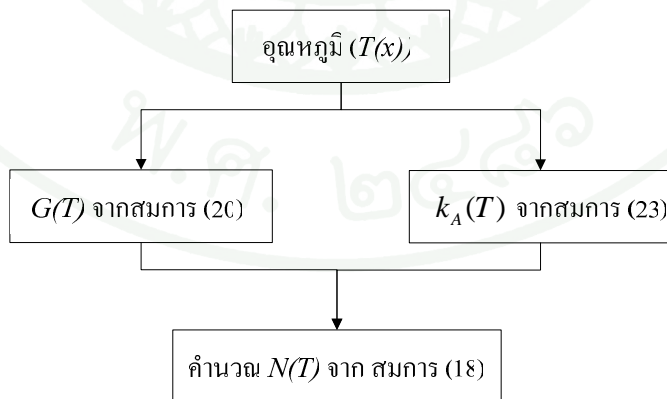
เมื่อ	$t_c(i)$	คือ เวลาที่ตกลงในพื้นที่ทั้งหมดของนิวเคลียสลำดับที่ i
	i	คือ ลำดับของนิวเคลียส
	x_i, y_i	คือ ตำแหน่งนิวเคลียสลำดับที่ i ในพื้นที่ 800×800 พิกเซล
	y	คือ ตำแหน่ง y ใดๆ ในพื้นที่ มีค่าตั้งแต่ 1 ถึง 800

1. การจำลองการตกผลึกภายในสภาวะที่มีการเดินต่อของอุณหภูมิด้วยการเกิดนิวเคลียสแบบวิชพันธุ์

ขั้นตอนการจำลองการตกผลึกภายในสภาวะที่มีการเดินต่อของอุณหภูมิ ในช่วงอุณหภูมิ 40 ถึง 100 องศาเซลเซียส ซึ่งกำหนดให้เป็นช่วงอุณหภูมิที่มีการเกิดนิวเคลียสวิชพันธุ์ กำหนดให้อัตราส่วน 5 พิคเซล เท่ากับ 1 ไมโครเมตร

เมื่อได้อุณหภูมิทุกๆ จุดในพื้นที่แล้ว ($T_{x,y}$) จากการคำนวณจากสมการ (25) จึงคำนวณหาอัตราการเติบโตของผลึก ($G(T)$) ของชนิดไอแทกติก พอลิโพรัสลิน ด้วยสมการ (20) และคำนวณหาค่าคงที่ของอัตราการตกผลึกของ Avrami ($k_A(T)$) ด้วยสมการ (23) เพื่อหาความหนาแน่นของนิวเคลียส ($N(T)$) ในแต่ละอุณหภูมิด้วยสมการ (18) แผนผังการคำนวณแสดงดังภาพที่ 9

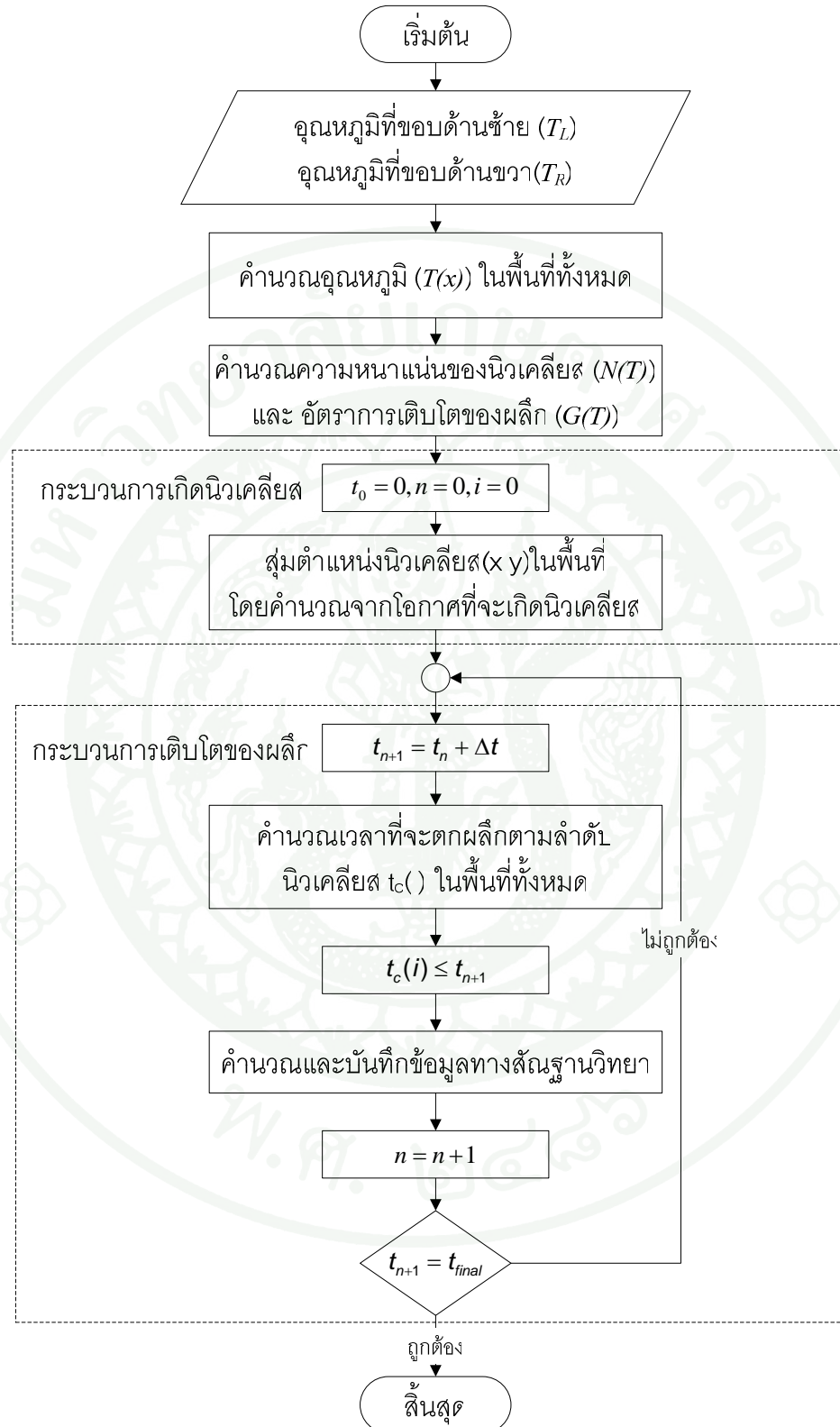
สำหรับการจำลองเกิดนิวเคลียสแบบวิชพันธุ์ เริ่มต้นการตกผลึกที่เวลา $t_0 = 0$ ด้วยการสุมตำแหน่งนิวเคลียสในพื้นที่ทั้งหมด โดยพิจารณาจากโอกาสที่จะเกิดนิวเคลียสในแต่ละอุณหภูมิ บันทึกรายละเอียดของนิวเคลียสซึ่ง ได้แก่ ตำแหน่งนิวเคลียส (x_i, y_i) ลำดับนิวเคลียส (i) ในการเกิดนิวเคลียสแบบวิชพันธุ์นิวเคลียสจะเกิดขึ้นพร้อมกันทั้งหมดในพื้นที่ในช่วงเวลาเริ่มต้น โดยกำหนดให้ 1 นิวเคลียสที่เกิดขึ้นเท่ากับ 1 พิคเซล



ภาพที่ 9 การคำนวณค่าความหนาแน่นของนิวเคลียสด้วยการเกิดนิวเคลียสแบบวิชพันธุ์ภายในสภาวะที่มีการเดินต่อของอุณหภูมิ พิจารณาในช่วงอุณหภูมิ 40 ถึง 100 องศาเซลเซียส

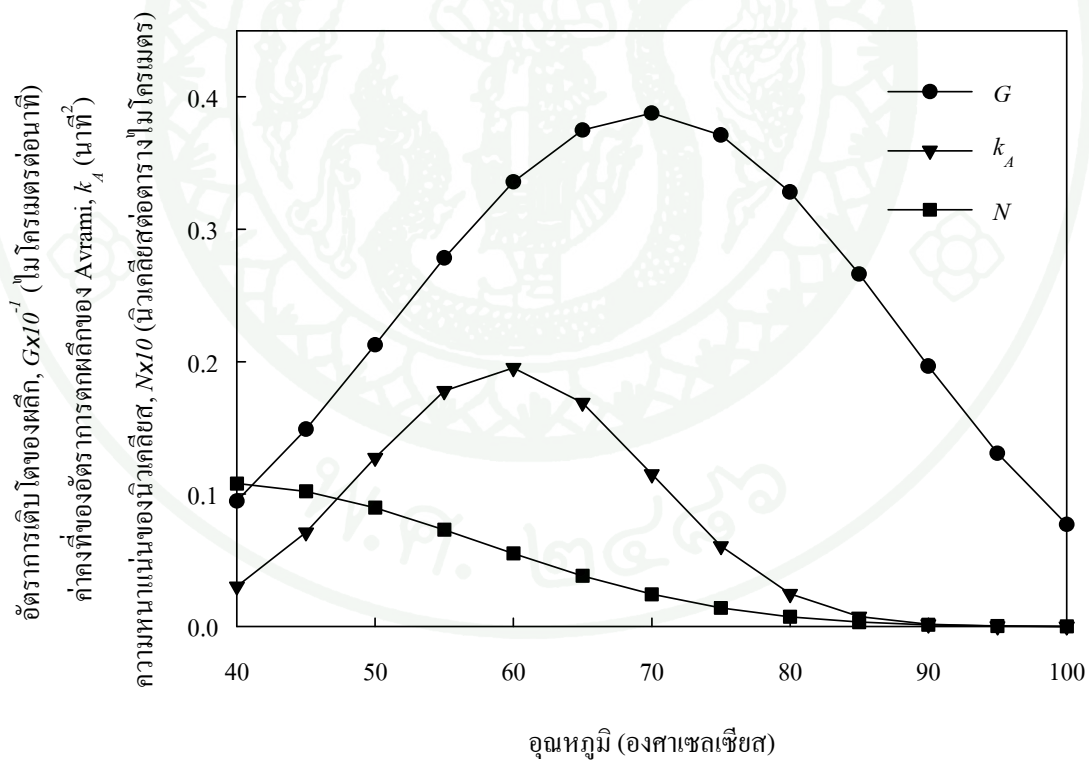
ต่อมาเป็นกระบวนการเติบโตของผลึก เนื่องจากในกรณีอัตราการเติบโตของผลึกในพื้นที่จะมีค่าไม่เท่ากันซึ่งจะขึ้นอยู่กับอุณหภูมิในพื้นที่ จึงพิจารณาจากเวลาที่ตกผลึกในแต่ละตำแหน่ง $t_c(1)$ ที่ตำแหน่ง (x,y) ใดๆ ในพื้นที่ทั้งหมดด้วยสมการ (26) ซึ่งคำนวณจากอัตราการเติบโตของผลึกในแต่ละตำแหน่ง เมื่อเวลาที่ใช้ในการตกผลึกเพิ่มขึ้น $t_{n+1} = t_n + \Delta t$ ถ้าเวลาที่ตกผลึกในแต่ละตำแหน่งมีค่าอยู่ในช่วงเวลาที่พิจารณา $t_c(1) \leq t_{n+1}$ ตำแหน่งนั้นจะตกผลึก เมื่อจำนวนนิวเคลียสมีกว่าหนึ่งจะคำนวณเวลาที่ใช้ในการตกผลึกของแต่ละนิวเคลียส $t_c(i)$ ที่ตำแหน่ง (x,y) ใดๆ ในพื้นที่ทั้งหมดด้วยสมการ (26) แล้วเปรียบเทียบเวลาที่ใช้ในการตกผลึกของแต่ละนิวเคลียส $t_c(i)$ ที่ตำแหน่ง (x,y) ใดๆ เพื่อหาเวลาที่น้อยที่สุดที่ตำแหน่งนั้นๆ และบันทึกค่าเวลาที่น้อยที่สุดที่จะตกผลึกของแต่ละตำแหน่งในพื้นที่พร้อมกับตำแหน่งที่ตกผลึกและลำดับนิวเคลียสของผลึกนั้น

ข้อมูลทางสังฐานวิทยาฯได้จากการหาตำแหน่งในพื้นที่ซึ่งมีเวลาที่ตกผลึกให้อยู่ในช่วงเวลาที่ต้องการ แล้วคำนวณและบันทึกข้อมูล และทำซ้ำจนกระทั่งตกผลึกสมบูรณ์หรือสิ้นสุดกระบวนการตกผลึก และจำลองการตกผลึก 1000 ครั้ง และรวมรวมเป็นผลค่าเฉลี่ยที่มาจากการจำลองทั้ง 1000 ครั้ง เพื่อความแม่นยำของข้อมูลเชิงปริมาณของการเปลี่ยนแปลงทางสังฐานวิทยา ในช่วงระหว่างการตกผลึกของพอลิเมอร์ ได้แก่ ขนาดเฉลี่ยของผลึกและการกระจายตัวของขนาดผลึกในแต่ละช่วงอุณหภูมิ ซึ่งขึ้นตอนการจำลองการตกผลึกของพอลิเมอร์ ภายในได้สภาวะที่มีเกรเดียนต์ของอุณหภูมิสรุปไว้ดังภาพที่ 10 โดยจะศึกษาผลกระทบของช่วงอุณหภูมิ และเกรเดียนต์ของอุณหภูมิที่กำหนดให้อุณหภูมิกึ่งกลางเท่ากับ 60, 70 และ 80 องศาเซลเซียส และกรณีที่กำหนดให้อุณหภูมิด้านซ้ายคงที่ 40 องศาเซลเซียส และมีเกรเดียนต์ของอุณหภูมิไปทางด้านขวา



ภาพที่ 10 แผนผังลำดับขั้นตอนการจำลองการตกผลึกของพอลิเมอร์ภายในรูปแบบที่มีกริดเดียนต์ ของอุณหภูมิด้วยการเกิดนิวเคลียสแบบวิวิชพันธุ์

ภาพที่ 11 แสดงความสัมพันธ์ของอัตราการเติบโตของผลึก ค่าคงที่ของอัตราการตกผลึกของ Avrami และความหนาแน่นของนิวเคลียสของชินดิโอแทกติก พอลิไพรพลีนในช่วงอุณหภูมิ 40 ถึง 100 องศาเซลเซียส โดยคำนวณจากสมการ (20), (23) และ (18) ตามแผนผังการคำนวณในภาพที่ 9 ซึ่งกำหนดให้มีการเกิดนิวเคลียสแบบวิวิชพันธ์ จากภาพที่ 10 สามารถแบ่งพิจารณาได้ 3 ช่วงอุณหภูมิ ได้แก่ ช่วงอุณหภูมิ 40 ถึง 60 องศาเซลเซียส 60 ถึง 70 องศาเซลเซียส และ 70 ถึง 100 องศาเซลเซียส ในช่วงอุณหภูมิแรกจะเห็นได้ว่าเมื่ออุณหภูมิเพิ่มขึ้นจาก 40 ถึง 60 องศาเซลเซียส อัตราการเติบโตของผลึกและค่าคงที่ของอัตราการตกผลึกของ Avrami จะเพิ่มขึ้นแต่ความหนาแน่นของนิวเคลียสจะลดลง ในช่วงที่สองเมื่ออุณหภูมิเพิ่มขึ้นจาก 60 ถึง 70 องศาเซลเซียส อัตราการเติบโตของผลึกยังคงเพิ่มขึ้น แต่ค่าคงที่ของอัตราการตกผลึกของ Avrami และความหนาแน่นของนิวเคลียสจะลดลง ในช่วงสุดท้ายอุณหภูมิเพิ่มขึ้นจาก 70 ถึง 100 องศาเซลเซียส อัตราการเติบโตของผลึก ค่าคงที่ของอัตราการตกผลึกของ Avrami และความหนาแน่นของนิวเคลียสจะลดลงทั้งหมด

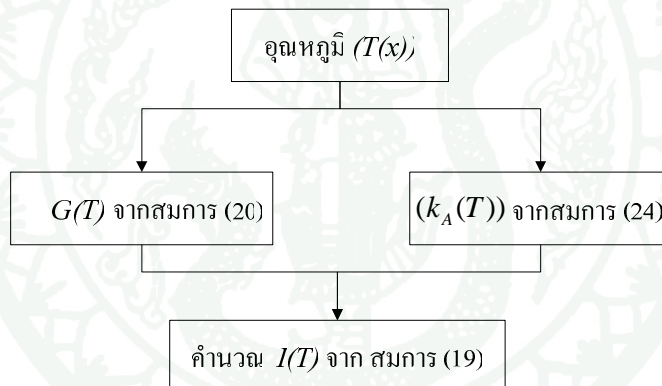


ภาพที่ 11 ความสัมพันธ์ของอัตราการเติบโตของผลึก ค่าคงที่ของอัตราการตกผลึกของ Avrami และความหนาแน่นของนิวเคลียสของชินดิโอแทกติก พอลิไพรพลีนในช่วงอุณหภูมิ 40 ถึง 100 องศาเซลเซียส ด้วยการเกิดนิวเคลียสแบบวิวิชพันธ์

2. การจำลองการตกผลึกภายในช่วงอุณหภูมิที่มีการเดินตัวของอุณหภูมิตัวน้ำในอุณหภูมิ 10 ถึง 40 องศาเซลเซียส ซึ่งกำหนดให้เป็นช่วงอุณหภูมิที่มีการเกิดนิวเคลียสแบบเอกพันธุ์ พิจารณาในพื้นที่ 800×800 พิกเซล กำหนดให้อัตราส่วน 6 พิกเซล เท่ากับ 1 ไมโครเมตร

ขั้นตอนการจำลองการตกผลึกภายในช่วงอุณหภูมิที่มีการเดินตัวของอุณหภูมิ ในช่วงอุณหภูมิ 10 ถึง 40 องศาเซลเซียส ซึ่งกำหนดให้เป็นช่วงอุณหภูมิที่มีการเกิดนิวเคลียสแบบเอกพันธุ์ พิจารณาในพื้นที่ 800×800 พิกเซล กำหนดให้อัตราส่วน 6 พิกเซล เท่ากับ 1 ไมโครเมตร

เมื่อได้อุณหภูมิทุกๆ จุดในพื้นที่แล้ว ($T_{x,y}$) จากการคำนวณจากสมการ (25) จึงคำนวณหาอัตราการเติบโตของผลึก ($G(T)$) ของชนิดไอแทคติก พอลิโพร์พลีน ด้วยสมการ (20) และคำนวณหาค่าคงที่ของอัตราการตกผลึกของ Avrami ($k_A(T)$) ด้วยสมการ (24) เพื่อหาอัตราการเกิดนิวเคลียสในแต่ละอุณหภูมิ ($I(T)$) ด้วยสมการ (19) แผนผังการคำนวณแสดงดังภาพที่ 12

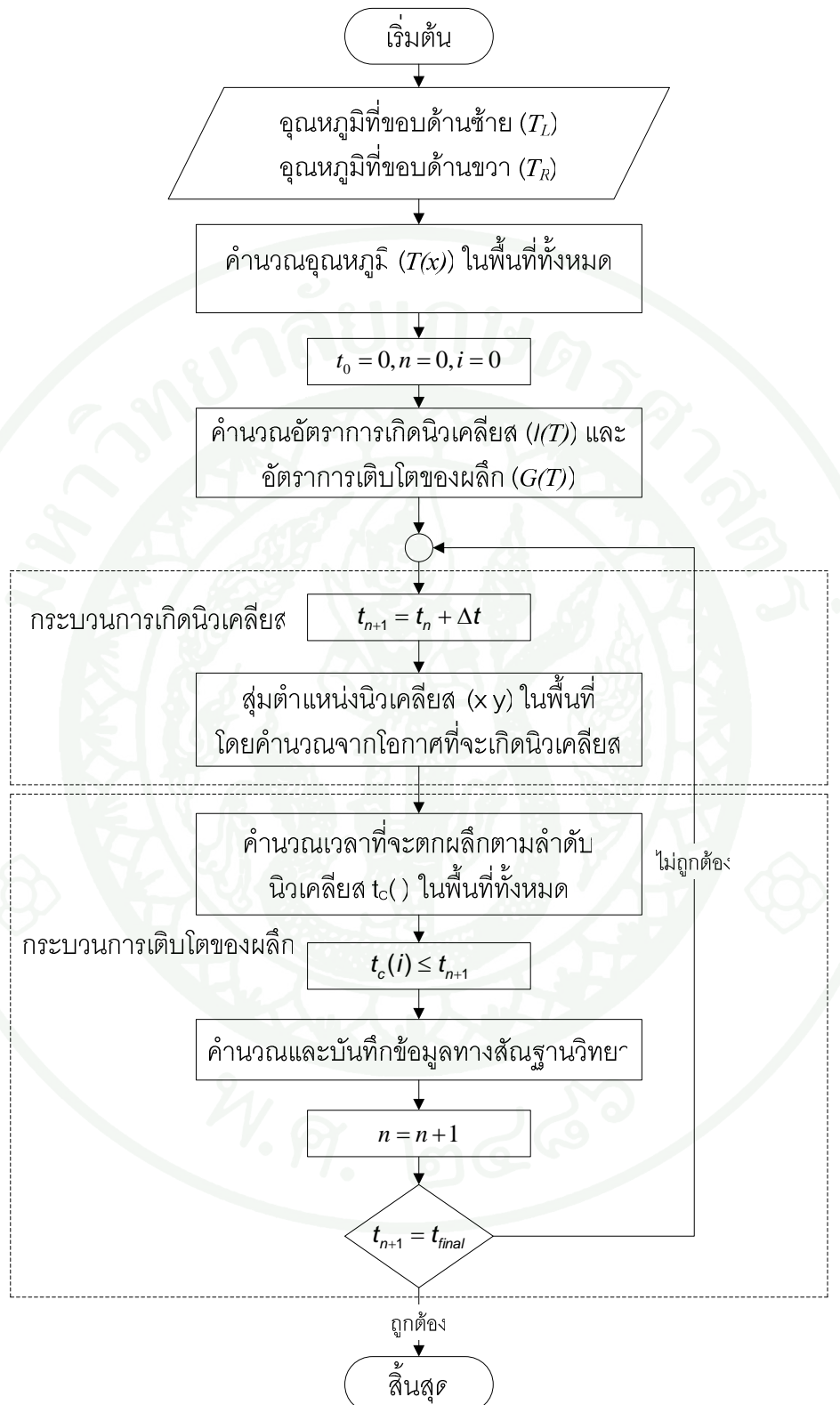


ภาพที่ 12 การคำนวณค่าอัตราการเกิดนิวเคลียสด้วยการเกิดนิวเคลียสแบบเอกพันธุ์ภายในช่วงอุณหภูมิ 10 ถึง 40 องศาเซลเซียส

สำหรับการเกิดนิวเคลียสแบบเอกพันธุ์จำนวนนิวเคลียสจะเกิดขึ้นเรื่อยๆ ตลอดช่วงเวลาการตกผลึก เริ่มต้นการตกผลึกที่เวลา $t_0 = 0$ ด้วยการสุ่มตำแหน่งนิวเคลียสในพื้นที่ทั้งหมด โดยพิจารณาจากโอกาสที่จะเกิดนิวเคลียสในแต่ละอุณหภูมิ บันทึกข้อมูลของนิวเคลียสซึ่ง ได้แก่ ตำแหน่งนิวเคลียส (x, y) ลำดับนิวเคลียส (i) และเวลาที่เกิดนิวเคลียส (τ) โดยตำแหน่งของนิวเคลียสที่เกิดขึ้นจะบันทึกเฉพาะนิวเคลียสที่เกิดขึ้นในส่วนของสัมฐานเท่านั้น กำหนดให้ 1 นิวเคลียสที่เกิดขึ้นเท่ากับ 1 พิกเซล ต่อมาเป็นกระบวนการเดินทางของผลึก เนื่องจากในกรณีนี้อัตราการเดินทางของผลึกในพื้นที่จะมีค่าไม่เท่ากันซึ่งจะขึ้นอยู่กับอุณหภูมิในพื้นที่ จึงพิจารณาจากเวลาที่

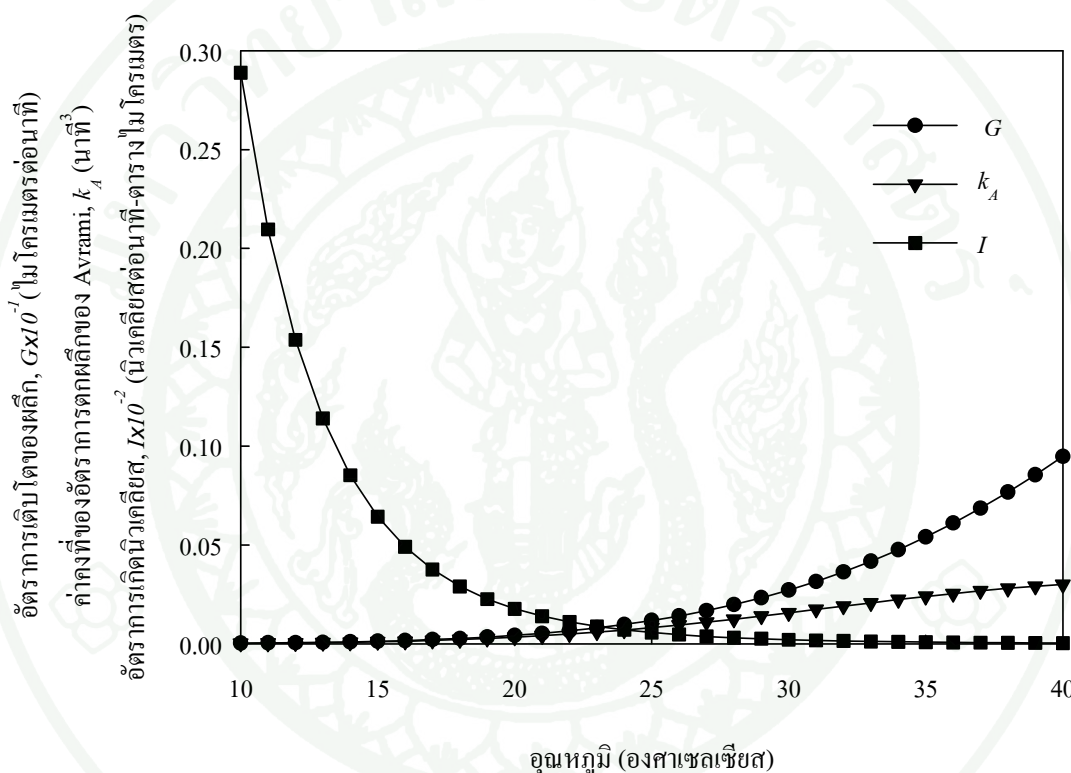
ตกผลึกในแต่ละตำแหน่ง $t_c(1)$ ที่ตำแหน่ง (x,y) ใดๆ ในพื้นที่ทั้งหมดด้วยสมการ (26) ซึ่งคำนวณจากอัตราการเติบโตของผลึกในแต่ละตำแหน่ง เมื่อเวลาที่ใช้ในการตกผลึกเพิ่มขึ้น $t_{n+1} = t_n + \Delta t$ ถ้าเวลาที่ตกผลึกในแต่ละตำแหน่งมีค่าอยู่ในช่วงเวลาที่พิจารณา $t_c(1) \leq t_{n+1}$ ตำแหน่งนั้นจะตกผลึกเมื่อจำนวนนิวเคลียสมีกว่าหนึ่งจะคำนวณเวลาที่ใช้ตกผลึกของแต่ละนิวเคลียส $t_c(i)$ ที่ตำแหน่ง (x,y) ใดๆ ในพื้นที่ทั้งหมด ด้วยสมการ (26) แล้วเปรียบเทียบเวลาที่ใช้ในการตกผลึกของแต่ละนิวเคลียส $t_c(i)$ ที่ตำแหน่ง (x,y) ใดๆ เพื่อหาเวลาที่น้อยที่สุดที่จะตกผลึกและต้องอยู่ในช่วงเวลาที่กำหนด แล้วบันทึกค่าเวลานั้นๆ พร้อมกับตำแหน่งที่ตกผลึก และคำนวณนิวเคลียสองผลึกนั้น ถ้าอุณหภูมิในพื้นที่เท่ากันทั้งหมดขนาดผลึกที่เกิดขึ้นที่หลังจะมีขนาดเล็ก สำหรับในงานวิจัยนี้ที่พิจารณาเป็นเวลาจึงเพิ่มช่วงเวลาที่ให้กับผลึกของนิวเคลียสชุดที่เกิดหลังสุด ($t_{c,\tau}(i) + \Delta t$) ซึ่งเป็นช่วงเวลาจากที่นิวเคลียสชุดแรกเกิดจนถึงนิวเคลียสชุดปัจจุบัน เพื่อให้มีพิจารณาเปรียบเทียบระยะเวลาที่ใช้ในการตกผลึกของแต่ละนิวเคลียสที่ตำแหน่งระหว่าง $t_{c,\tau-1}(i)$ และ $t_{c,\tau}(i) + \Delta t$ เพื่อหาเวลาที่น้อยที่สุดที่จะตกผลึกของแต่ละตำแหน่ง จะทำให้ผลึกของนิวเคลียสที่เกิดที่หลังมีจะมีขนาดเล็กกว่าผลึกที่เกิดก่อนถ้าหากผลึกภายในได้รับผลกระทบโดยไม่ต่อเนื่องจากงานวิจัยนี้อุณหภูมิจะเปลี่ยนแปลงตามทิศทางแก่นอนเท่านั้น จึงยังสรุปไม่ได้ว่าผลึกที่เกิดที่หลังจะมีขนาดเล็กกว่าผลึกที่เกิดก่อนเสมอไป ซึ่งต้องพิจารณาเพิ่มอีกในการเติบโตของผลึกด้วย

ข้อมูลทางสัณฐานวิทยาหาได้จากการหาตำแหน่งของผลึกในพื้นที่ซึ่งมีเวลาที่ตกผลึกให้อยู่ในช่วงเวลาที่กำหนด แล้วคำนวณและบันทึกข้อมูล และทำซ้ำนั้นกระทิ้งตกผลึกสมบูรณ์หรือลิ้นสุดกระบวนการตกผลึก และทำจำลองการตกผลึก 10 ครั้ง และรวมรวมเป็นผลค่าเฉลี่ยที่มาจากการจำลองทั้ง 10 ครั้ง เพื่อให้ได้ข้อมูลเชิงปริมาณของการเปลี่ยนแปลงทางสัณฐานวิทยาในช่วงระหว่างการตกผลึกของพอลิเมอร์ ได้แก่ ขนาดเฉลี่ยของผลึกและการกระจายตัวของขนาดผลึกในช่วงระหว่างการตกผลึกและการกระจายตัวของขนาดผลึกเมื่อตกผลึกสมบูรณ์ ซึ่งขึ้นตอนการจำลองการตกผลึกของพอลิเมอร์ภายในได้สภาวะที่มีเกรเดียนต์ของอุณหภูมิสรูปไว้ดังภาพที่ 13 โดยจะศึกษาผลกระทบของช่วงอุณหภูมิ และเกรเดียนต์ของอุณหภูมิที่กำหนดให้อุณหภูมิกึ่งกลางเท่ากับ 25 องศาเซลเซียส และกรณีที่กำหนดให้อุณหภูมิต้านซ้ายคงที่ 10 องศาเซลเซียส แล้วมีเกรเดียนต์ของอุณหภูมิไปทางด้านขวา



ภาพที่ 13 แผนผังลำดับขั้นตอนการจำลองการตกผลึกของพลอยเมอร์กายใต้สภาพที่มีเกรเดินต์ของอุณหภูมิด้วยการเกิดนิวเคลียสแบบเอกพันธุ์

ภาพที่ 14 แสดงความสัมพันธ์ของของอัตราการเติบโตของผลึก ค่าคงที่ของอัตราการตกผลึกของ Avrami และความหนาแน่นของนิวเคลียสของชินดิโอแทกติก พอลิไพรพลีนในช่วง อุณหภูมิ 10 ถึง 40 องศาเซลเซียส โดยคำนวณจากสมการ (20), (24) และ (19) ตามแผนผังการ คำนวณในภาพที่ 12 ซึ่งกำหนดให้เกิดนิวเคลียสแบบเอกพันธุ์ จะเห็นได้ว่าเมื่อเพิ่มอุณหภูมิจาก 10 ถึง 40 องศาเซลเซียส อัตราการเกิดนิวเคลียสจะลดลง แต่อัตราการเติบโตของผลึกและค่าคงที่ของ อัตราการตกผลึกของ Avrami จะเพิ่มขึ้น



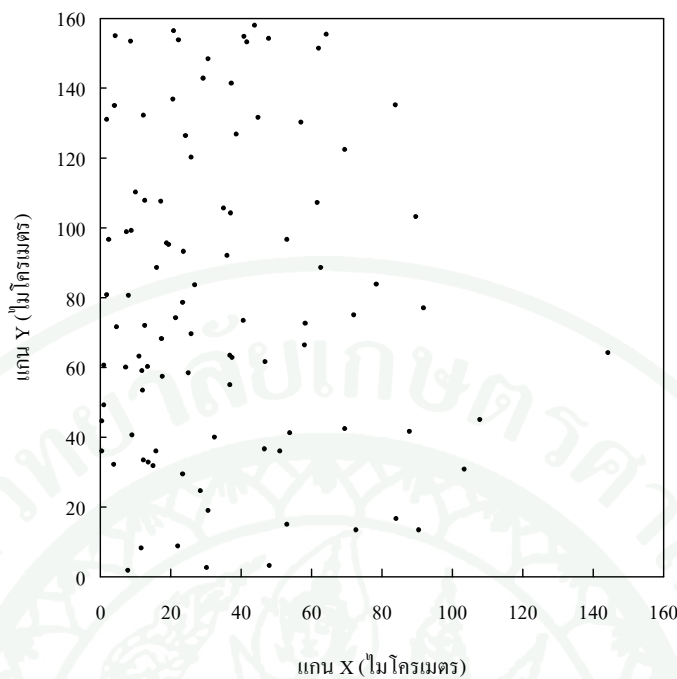
ภาพที่ 14 ความสัมพันธ์ของอัตราการเติบโตของผลึก ค่าคงที่ของอัตราการตกผลึกของ Avrami และอัตราการเกิดนิวเคลียสของชินดิโอแทกติก พอลิไพรพลีนในช่วงอุณหภูมิ 10 ถึง 40 องศาเซลเซียส ด้วยการเกิดนิวเคลียสแบบเอกพันธุ์

ผลและวิจารณ์

งานวิจัยนี้พิจารณาการจำลองการเปลี่ยนแปลงทางสัมฐานวิทยาในช่วงระหว่างการตอกผลึกของโพลิเมอร์ภายใต้สภาพที่มีกรเดียนต์ของอุณหภูมิในลักษณะ 2 มิติ โดยกำหนดให้อุณหภูมิเพิ่มขึ้นในลักษณะเส้นตรงตามทิศทางแกนนอน เพื่อศึกษาผลกระทบจากช่วงของอุณหภูมิ และเกรเดียนต์ของอุณหภูมิที่ส่งผลกระทบต่อจลนโพลิมาสตอร์ของการตอกผลึกและการเปลี่ยนแปลงทางสัมฐานวิทยาในช่วงระหว่างการตอกผลึกของโพลิเมอร์ ข้อมูลเชิงปริมาณของการเปลี่ยนแปลงทางสัมฐานวิทยาที่พิจารณา ได้แก่ ขนาดเนื้ือข่องผลึก การกระจายตัวของขนาดผลึกในช่วงระหว่างการตอกผลึกและการกระจายตัวของขนาดผลึกเมื่อตอกผลึกสมบูรณ์

ผลกระทบของเกรเดียนต์ของอุณหภูมิต่อการเกิดนิวเคลียส

ในงานวิจัยที่ผ่านการจำลองการตอกผลึกของชินดิโอยาเเกคติก พอลิโพรพิลีนภายใต้สภาพอุณหภูมิกึงที่ (Ketdee, 2006) พบว่าความหนาแน่นของนิวเคลียสจะเพิ่มขึ้นเมื่อลดอุณหภูมิลง และนิวเคลียสที่เกิดขึ้นส่วนใหญ่จะเกิดกระจายกันอย่างสม่ำเสมอในพื้นที่ที่พิจารณา สำหรับการจำลองการเกิดนิวเคลียสภายใต้สภาพที่มีกรเดียนต์ของอุณหภูมิ นิวเคลียสจะเกิดขึ้นโดยการสูบตัวแน่นตามโอกาสที่น่าจะเกิดนิวเคลียสของชินดิโอยาเเกคติก พอลิโพรพิลีน ซึ่งจะเปลี่ยนแปลงตามอุณหภูมิตามทิศทางแกนนอนหรือแกน x เท่านั้น พบว่านิวเคลียสจะเกิดหนาแน่นบริเวณที่อุณหภูมิต่ำทั้งการเกิดนิวเคลียสแบบเอกพันธุ์และวิชพันธุ์ ซึ่งผลการจำลองการเกิดนิวเคลียสพบว่ามีความสอดคล้องกับงานวิจัยที่ผ่านมาได้แก่ Huang and Petemann (1990); Huang and Kamal (2000); Pawlak and Piorkowska (2001); Piorkowska (2002) ในภาพที่ 15 แสดงถึงตัวอย่างผลทางสัมฐานวิทยาที่ได้จากการจำลองการเกิดนิวเคลียสแบบวิชพันธุ์ภายใต้สภาพที่มีกรเดียนต์ของอุณหภูมิในช่วง 40 ถึง 100 องศาเซลเซียส ซึ่งจำนวนนิวเคลียสเกิดขึ้นมากพร้อมกันทั้งหมดในช่วงเริ่มต้นของการตอกผลึก

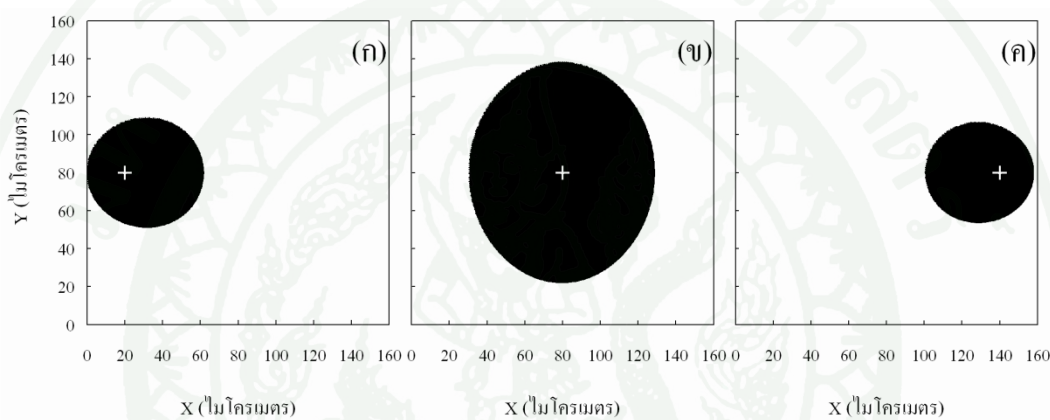


ภาพที่ 15 ตัวอย่างผลทางสัมฐานวิทยาที่ได้จากการจำลองการเกิดนิวเคลียสแบบวิธีพันธุ์ภายในรากของต้นไม้ที่มีการเดินตัวของอุณหภูมิในอุณหภูมิช่วง 40 ถึง 100 องศาเซลเซียส

ผลกระทบของกรเดียนต์ของอุณหภูมิต่อการเติบโตของผลึก

การจำลองการเติบโตของผลึกภายในรากของต้นไม้ที่มีลักษณะ 2 มิติ (Ketdee, 2006) พบว่าผลลัพธ์ของอุณหภูมิที่มีลักษณะวงกลม สำหรับการตกลงผลึกภายในรากของต้นไม้ที่มีกรเดียนต์ของอุณหภูมิในลักษณะเด่นตรงตามแกนนอนหรือแกน x เท่านั้น จากภาพที่ 11 เมื่อพิจารณาความสัมพันธ์ระหว่างอัตราการเติบโตของผลึกกับอุณหภูมิ จะเห็นได้ว่าเมื่ออุณหภูมิเพิ่มขึ้นจาก 40 องศาเซลเซียส อัตราการเติบโตของผลึกจะสูงขึ้น และจะเพิ่มขึ้นสูงสุดที่อุณหภูมิประมาณ 70 องศาเซลเซียส จากนั้นอัตราการเติบโตของผลึกจะลดลง จากความสัมพันธ์ดังกล่าวทำให้การตกลงผลึกภายในรากของต้นไม้ที่มีกรเดียนต์ของอุณหภูมิจะทำให้สเปียร์ไลท์มีลักษณะคล้ายวงศ์ โดยลักษณะวงรีจะขึ้นกับตำแหน่งที่ตกลง ซึ่งผลจากการจำลองนี้สอดคล้องกับผลจากการจำลองที่ผ่านมา (Piorkowska, 2002; Huang and Kamal, 2000) แต่ในงานวิจัยที่ผ่านมาศึกษาเพียงบางช่วงอุณหภูมิเท่านั้น ภาพที่ 16 แสดงถึงการจำลองการเติบโตของสเปียร์ไลท์ภายในรากของต้นไม้ที่มีกรเดียนต์ของอุณหภูมิในช่วงอุณหภูมิ 40 ถึง 100 องศาเซลเซียส ที่ตำแหน่งนิวเคลียสต่างๆ จะเห็นได้ว่าในกรณีนี้เมื่อกำหนดตำแหน่งนิวเคลียสที่ (20,80) มีอุณหภูมิประมาณ 50 องศาเซลเซียส ซึ่ง

เป็นช่วงที่อัตราการเติบโตของผลึกทางด้านขวาสูงกว่าด้านอื่นๆ สเฟียร์ไอลท์ได้จึงมีลักษณะคล้ายวงรีที่มุ่งการเติบโตไปทางด้านขวาซึ่งมีอุณหภูมิสูงกว่า ดังแสดงในภาพที่ 16 (ก) เมื่อกำหนดตำแหน่งนิวเคลียสที่ (80,80) มีอุณหภูมิประมาณ 70 องศาเซลเซียส ซึ่งเป็นช่วงที่อัตราการเติบโตของผลึกสูงที่สุด จึงทำให้สเฟียร์ไอลท์เติบโตในลักษณะคล้ายวงรีที่เติบโตตามแนวตั้งดังแสดงในภาพที่ 16 (ข) นอกจากนี้เมื่อกำหนดตำแหน่งนิวเคลียสที่ (140,80) มีอุณหภูมิประมาณ 95 องศาเซลเซียส ซึ่งเป็นช่วงที่อัตราการเติบโตของผลึกทางด้านซ้ายสูงกว่าด้านอื่นๆ สเฟียร์ไอลท์จึงมีลักษณะคล้ายวงรีที่มุ่งการเติบโตไปทางด้านซ้ายซึ่งมีอุณหภูมิต่ำกว่าดังแสดงในภาพที่ 16 (ค)

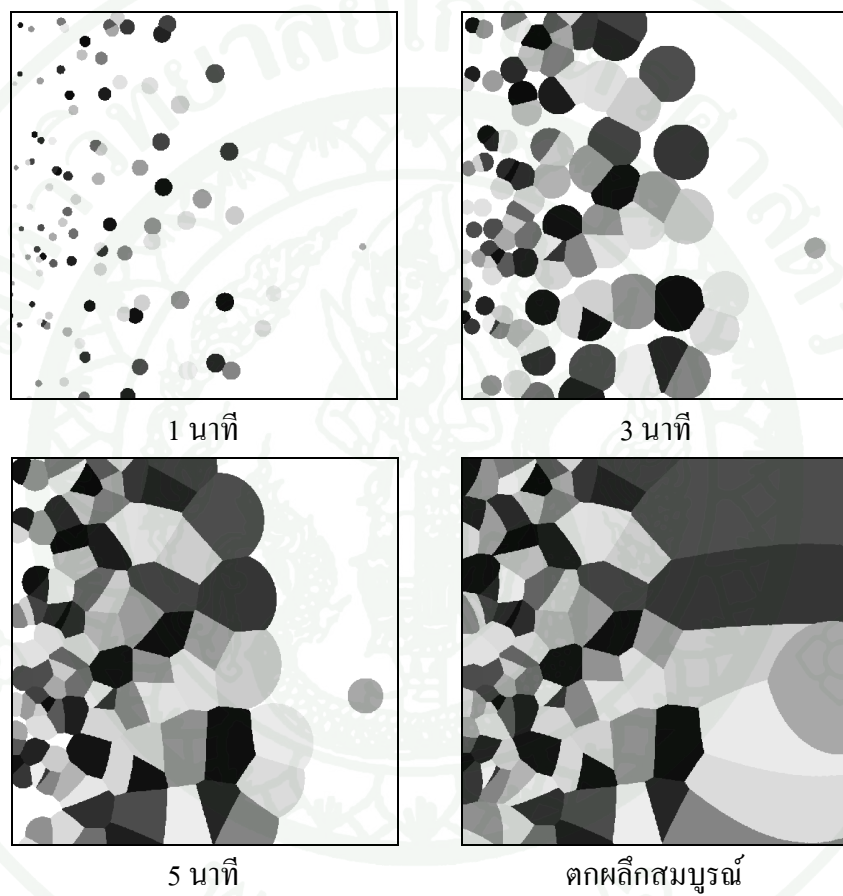


ภาพที่ 16 ตัวอย่างการจำลองการเติบโตของสเฟียร์ไอลท์ภายใต้สภาวะที่มีเกรเดียนต์ของอุณหภูมิในช่วงอุณหภูมิ 40 ถึง 100 องศาเซลเซียส ที่ตำแหน่งนิวเคลียส (ก) (20,80) (ข) (80,80) และ (ค) (140,80) ที่เวลา 15 นาที

การจำลองการตกผลึกภายใต้สภาวะที่มีเกรเดียนต์ของอุณหภูมิ ด้วยการเกิดนิวเคลียสแบบวิธีพันธุ์

การศึกษาการจำลองการตกผลึกภายใต้สภาวะที่มีเกรเดียนต์ของอุณหภูมิด้วยการเกิดนิวเคลียสแบบวิธีพันธุ์ในช่วงอุณหภูมิ 40 ถึง 100 องศาเซลเซียส โดยพิจารณาในพื้นที่ 800×800 พิกเซล กำหนดให้ 5 พิกเซล เท่ากับ 1 ไมโครเมตร และจำลองการตกผลึก 1000 ครั้งต่อหนึ่งกรณีศึกษา โดยการรวมเป็นผลค่าเฉลี่ยที่มาจากการจำลองทั้ง 1000 ครั้ง ตัวอย่างการจำลองสัณฐานวิทยาในช่วงระหว่างการตกผลึกภายใต้สภาวะที่มีเกรเดียนต์ของอุณหภูมิที่ช่วงอุณหภูมิ 40 ถึง 100 องศาเซลเซียส ในเชิงคุณภาพซึ่งแสดงในภาพที่ 17 ในเบื้องต้นจะเห็นได้ว่าผลกระทบของเกรเดียนต์ของอุณหภูมิทำให้ในช่วงเวลาเริ่มต้นของการตกผลึกจะเกิดผลลัพธ์แบบนี้ในบริเวณที่

อุณหภูมิต่ำ แล้วค่อยๆ ขยายส่วนที่เป็นผลึกมาสู่บริเวณที่อุณหภูมิสูงซึ่งส่วนใหญ่เป็นส่วนของอสัมธาน เมื่อตกลดลึกระยะจะเห็นได้ว่านาดผลึกมีความแตกต่างกันอย่างชัดเจน ผลกระทบจากการจำลองในเบื้องต้นนี้พบว่ามีความสอดคล้องกับงานวิจัยที่ผ่านมา เช่น กันทั่วการทดลอง (Huang and Petemann (1990); Pawlak and Piorkowska, 2001) และการจำลอง (Huang and Kamal, 2000; Piorkowska, 2002)

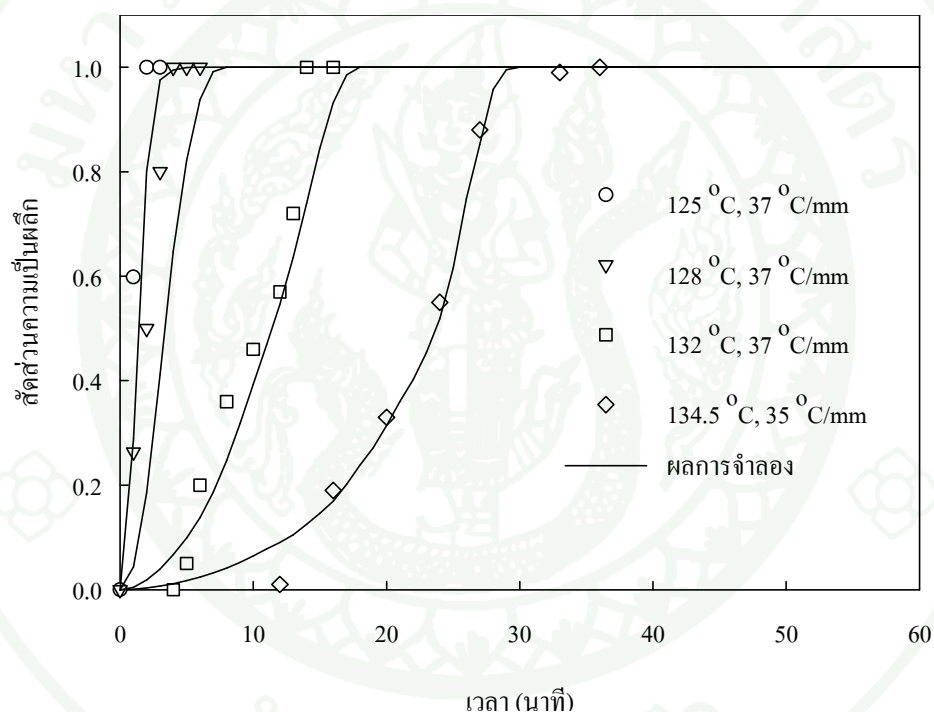


ภาพที่ 17 ตัวอย่างการจำลองสัมฐานวิทยาในช่วงระหว่างการตกลดลึกระยะให้สภาวะที่มีเกรเดียนต์ของอุณหภูมิในเชิงคุณภาพด้วยการเกิดนิวเคลียสแบบวิชพันธุ์ที่อุณหภูมิช่วง 40 ถึง 100 องศาเซลเซียส

การเปรียบเทียบผลการจำลองกับผลการทดลอง

เพื่อเขียนข้อความถูกต้องของแบบจำลอง ในงานวิจัยนี้ได้เปรียบเทียบผลของการจำลองกับผลการทดลอง จาก Pawlak and Piorkowska (2001) โดยใช้ผลของจลนพลดษาศตร์ของการตกลดลึกระยะ

ของไอโซแทคติก พอลิโพรพลีน ภายใต้สภาวะที่มีเกรดีเยนต์ของอุณหภูมิตามทิศทางแก่นอนในลักษณะเด่นตรง โดยพิจารณาเฉพาะช่วงอุณหภูมิที่ใกล้เคียงกับอุณหภูมิกึ่งที่ซึ่งต่างกันไม่เกิน 0.5 องศาเซลเซียส เช่น 125°C , $37^{\circ}\text{C}/\text{mm}$ หมายถึง การตกผลึกภายใต้สภาวะที่มีเกรดีเยนต์ของอุณหภูมิ 37°C องศาเซลเซียสต่อมิลลิเมตร ซึ่งพิจารณาการตกผลึกในช่วงอุณหภูมิ 124.5°C ถึง 125.5°C องศาเซลเซียส ดังแสดงในภาพที่ 18 จะเห็นได้ว่าจากการตกผลึกภายใต้สภาวะเกรดีเยนต์ของอุณหภูมิ เมื่ออุณหภูมิที่พิจารณาสูงขึ้นทำให้ตกผลึกช้าลง ซึ่งผลจากการจำลองพบว่ามีความสอดคล้องกับผลการทดลองจาก Pawlak and Piorkowska (2001) อ่อนมาก แสดงว่าแบบจำลองที่ใช้ในงานวิจัยนี้มีความน่าเชื่อถือ



ภาพที่ 18 การเปรียบเทียบจำนวนผลศาสตร์ของการตกผลึกภายใต้สภาวะที่มีเกรดีเยนต์ของอุณหภูมิระหว่างผลการทดลองจาก Pawlak and Piorkowska (2001) (สัญลักษณ์) กับ ผลการจำลอง (เส้นทึบ)

การศึกษาอันตรกิริยา (Interaction) ของการตกผลึกภายใต้สภาวะที่มีเกรดีเยนต์ของอุณหภูมิ

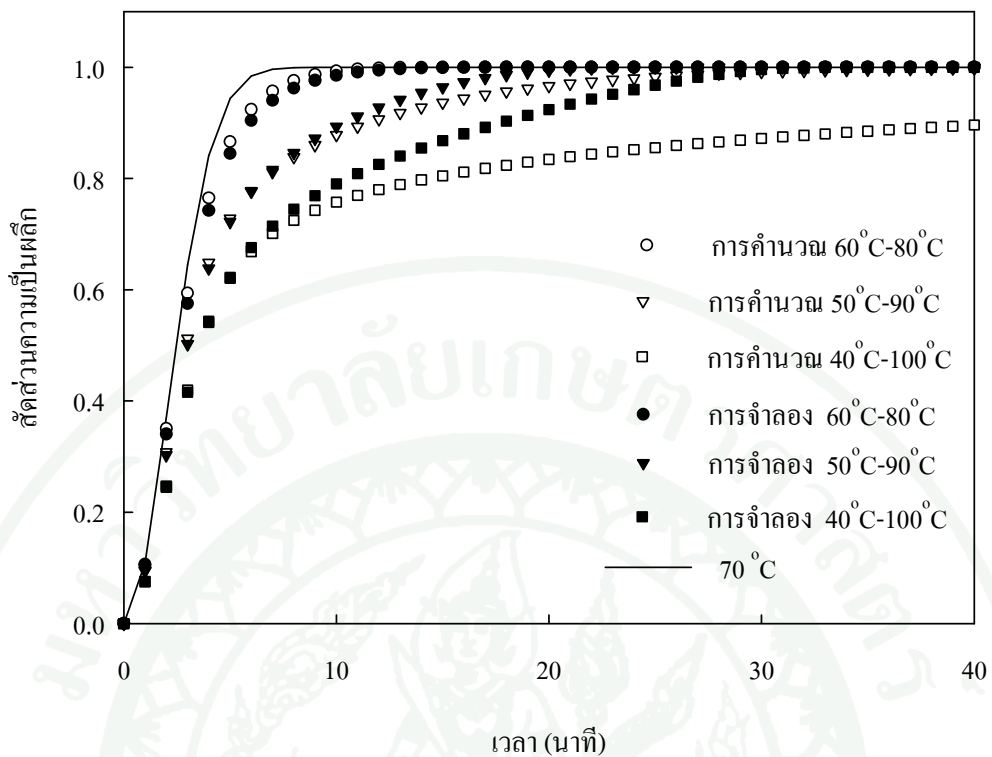
เกรดีเยนต์ของอุณหภูมิในกรณีนี้จะเปรียบเสมือนการนำอุณหภูมิกึ่งที่นำมาเรียงต่อเป็นอนุกรม จึงทำให้มีการศึกษาผลกระทบของการตกผลึกภายใต้สภาวะที่มีเกรดีเยนต์ของอุณหภูมิต่อ

อันตรกิริยา (Interaction) ของการตกผลึก โดยพิจารณาจากจนพลศาสตร์ของการตกผลึกที่อุณหภูมิใดๆ ณ ตำแหน่งหนึ่งว่ามีผลกระทบจากตำแหน่งรอบข้างที่มีอุณหภูมิใกล้เคียงกับตำแหน่งนั้นหรือไม่ ซึ่งสำหรับการตกผลึกภายในได้สภาวะอุณหภูมิกองที่นั้นจะไม่มีอันตรกิริยาเกิดขึ้นเนื่องจากอุณหภูมิของตำแหน่งที่พิจารณาและรอบข้างเท่ากัน ถ้าพบว่าการตกผลึกภายในได้สภาวะที่มีการเดินตัวของอุณหภูมิไม่มีอันตรกิริยาเกิดขึ้น จะทำให้มีความจำเป็นที่จะศึกษาจนพลศาสตร์ของการตกผลึกด้วยการจำลอง

การศึกษาอันตรกิริยาของการตกผลึกภายในได้สภาวะที่มีการเดินตัวของอุณหภูมิทำได้โดยการเปรียบเทียบระหว่างจนพลศาสตร์ของการตกผลึกที่ได้จากการจำลองกับการคำนวณจากสมการของ Avrami เนื่องจากการคำนวณจนพลศาสตร์ของการตกผลึกจากสมการของ Avrami นั้นใช้สำหรับกรณีที่ตกผลึกภายในได้สภาวะอุณหภูมิกองที่เท่านั้น ซึ่งแสดงว่าผลจากการคำนวณจะไม่มีอันตรกิริยาเกิดขึ้น การคำนวณสัดส่วนความเป็นผลึกในแต่ละอุณหภูมิ ($\theta(t)$) เริ่มจากการคำนวณอุณหภูมิตามสมการ (25) ซึ่งจะได้อุณหภูมิที่มีการเดินตัวของอุณหภูมิ เช่นเดียวกับการจำลอง แล้วคำนวณค่าคงที่อัตราการตกผลึกของ Avrami ($k_A(T)$) ด้วยสมการ (23) โดยในกรณีนี้จะกำหนดให้ค่า n_A มีค่าเท่ากับ 2 แล้วคำนวณสัดส่วนความเป็นผลึกที่เวลาต่างๆ ด้วยสมการ (27)

$$\text{สัดส่วนความเป็นผลึกภายในได้สภาวะที่มีการเดินตัวของอุณหภูมิ} = \int_{x=1}^{x=X} \theta(T(x)) dx \quad (27)$$

ภาพที่ 19 เปรียบเทียบผลการคำนวณและผลการจำลอง โดยกำหนดอุณหภูมิกึ่งกลางเท่ากับ 70 องศาเซลเซียส และมีการเดินตัวของอุณหภูมิออกไปทั้งสองข้าง จากผลการจำลองจะเห็นความแตกต่างของผลการจำลองและผลการทดลอง แสดงว่าการตกผลึกภายในได้สภาวะที่มีการเดินตัวของอุณหภูมิมีอันตรกิริยาเกิดขึ้น ยิ่งการเดินตัวของอุณหภูมิมากขึ้นและเมื่อเวลาเพิ่มขึ้นจะยิ่งทำให้ความแตกต่างนั้นมีความชัดเจนมากขึ้น เพราะว่าในช่วงแรกของการตกผลึกจะมีแต่นิวเคลียสเกิดขึ้น อันตรกิริยาจึงมีน้อยมาก เมื่อเวลาเพิ่มขึ้นผลึกมีการเติบโตและเกิดการชนกันมากขึ้น จึงทำให้เกิดอันตรกิริยามากขึ้น นอกจากนี้เมื่อเปรียบเทียบกับการตกผลึกภายในได้สภาวะอุณหภูมิกองที่ที่ 70 องศาเซลเซียส จะพบว่าเมื่อการเดินตัวของอุณหภูมิเพิ่มขึ้นส่งผลให้ความชันของสัดส่วนความเป็นผลึกลดลง

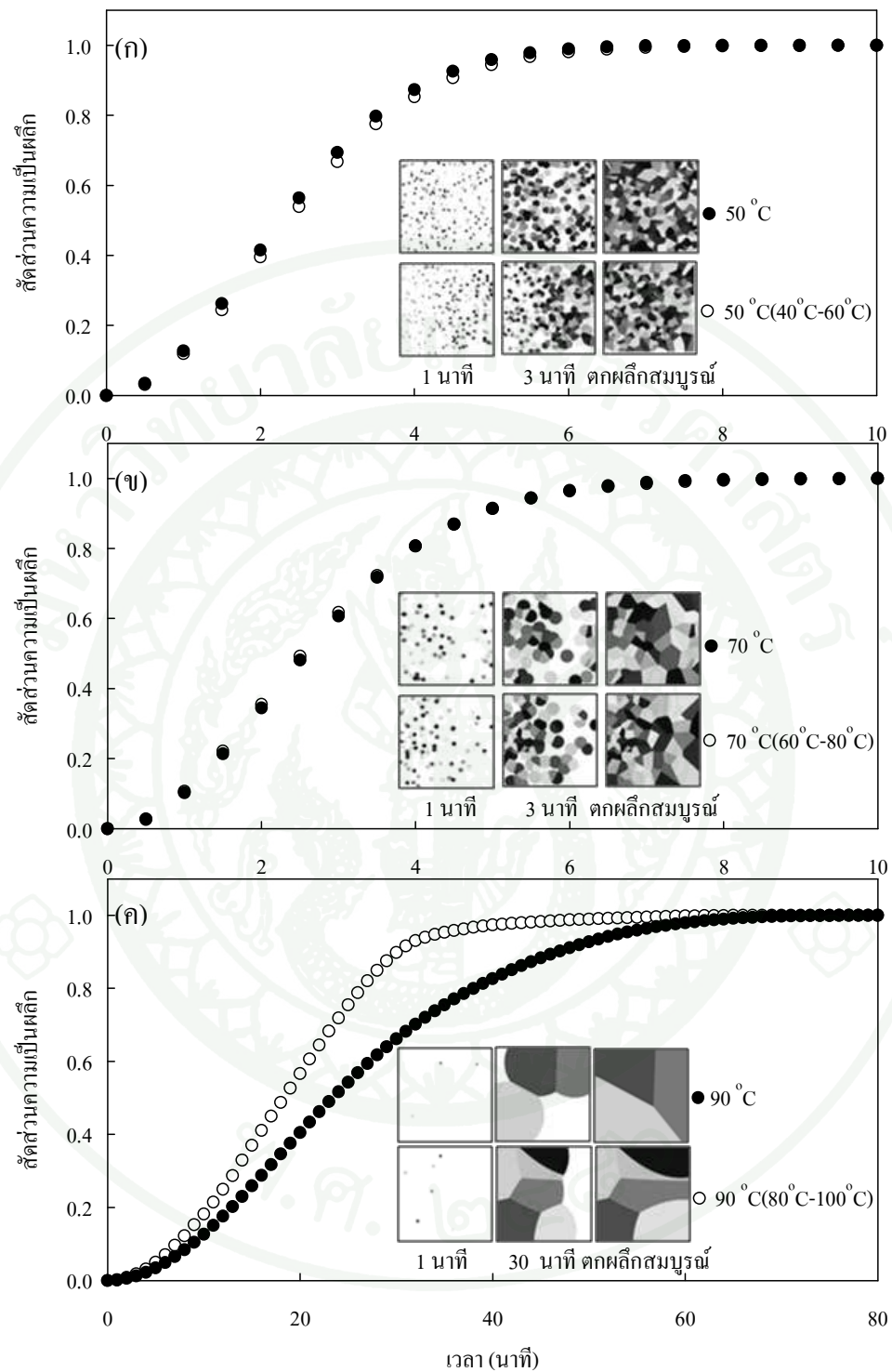


ภาพที่ 19 การเปรียบเทียบจลนพลาสต์ของการตกผลึกภายในสภาวะที่มีเกรเดียนต์ของอุณหภูมิระหว่างผลการคำนวณ (สัญลักษณ์โປร่ง) ผลการจำลอง (สัญลักษณ์ทึบ) และอุณหภูมิคงที่ (เส้นทึบ)

การศึกษาผลกระทบของการตกผลึกภายในสภาวะที่มีเกรเดียนต์ของอุณหภูมิในช่วงที่อุณหภูมิคงที่ต่อจลนพลาสต์ของการตกผลึก

เมื่อพบว่าการจำลองการตกผลึกภายในสภาวะที่มีเกรเดียนต์ของอุณหภูมิมีผลกระทบของอันตรกิริยา ผู้วิจัยจึงสนใจศึกษาผลกระทบของเกรเดียนต์ของอุณหภูมิต่อจลนพลาสต์ โดยเปรียบเทียบระหว่างการตกผลึกภายในสภาวะอุณหภูมิคงที่และสภาวะที่มีเกรเดียนต์ของอุณหภูมิโดยพิจารณาในช่วงที่อุณหภูมิที่แตกต่างกันไม่เกิน 0.5 องศาเซลเซียส ของอุณหภูมิคงที่ เช่น 50°C (40°C-60°C) หมายถึง การตกผลึกภายในสภาวะมีเกรเดียนต์ของอุณหภูมิในช่วงอุณหภูมิ 40 ถึง 60 องศาเซลเซียส ซึ่งพิจารณาการตกผลึกเฉพาะในช่วงอุณหภูมิ 49.5 ถึง 50.5 องศาเซลเซียส ดังแสดงในภาพที่ 20

จากภาพที่ 20 (ก) พบว่าการตกลดลึกภายในได้สภาวะอุณหภูมิกคงที่มีความชันของสัดส่วนความเป็นผลลัพธ์สูงกว่าการตกลดลึกภายในได้สภาวะมีเกรดเดียนต์ของอุณหภูมิ จากภาพที่ 20 (ข) พบว่าความชันของสัดส่วนความเป็นผลลัพธ์ระหว่างทั้งสองสภาวะที่ตกลดลึกมีลักษณะใกล้เคียงกัน และจากภาพที่ 20 (ค) พบว่าการตกลดลึกภายในได้สภาวะที่มีเกรดเดียนต์ของอุณหภูมิมีความชันของสัดส่วนความเป็นผลลัพธ์สูงกว่าการตกลดลึกภายในได้สภาวะอุณหภูมิกคงที่ ซึ่งในกรณีที่สอดคล้องกับผลจากการทดลองของ Pawlak and Piorkowska (2001) เนื่องจากเป็นการพิจารณาในช่วงอุณหภูมิสูง เช่นเดียวกัน ซึ่งเป็นช่วงที่เมื่ออุณหภูมิเพิ่มขึ้น อัตราการเติบโตของผลลัพธ์และความหนาแน่นของนิวเคลียสลดลง จึงสามารถสรุปได้ว่าการตกลดลึกภายในได้สภาวะที่มีเกรดเดียนต์ของอุณหภูมิที่พิจารณาในช่วงอุณหภูมิคงที่ส่งผลกระทบบนjunction point ของการตกลดลึก โดยสามารถทำให้ตกลดลึกเร็วขึ้นหรือช้าลงนั้น จะต้องพิจารณาถึงช่วงของอุณหภูมิที่ตกลดลึก เนื่องจากความหนาแน่นของนิวเคลียส อัตราการเติบโตของผลลัพธ์และค่าคงที่อัตราการตกลดลึกของ Avrami จะเปลี่ยนแปลงตามอุณหภูมิ



ภาพที่ 20 การเปรียบเทียบจลนพลาสต์ของการตกผลึกภายใต้สภาวะอุณหภูมิกึ่งทึบ (สัญลักษณ์ทึบ) และเกรเดียนต์ของอุณหภูมิที่พิจารณาเฉพาะช่วงที่อุณหภูมิกึ่งทึบ (สัญลักษณ์โปร่ง) (ก) 50 องศาเซลเซียส (ข) 70 องศาเซลเซียส และ (ค) 90 องศาเซลเซียส

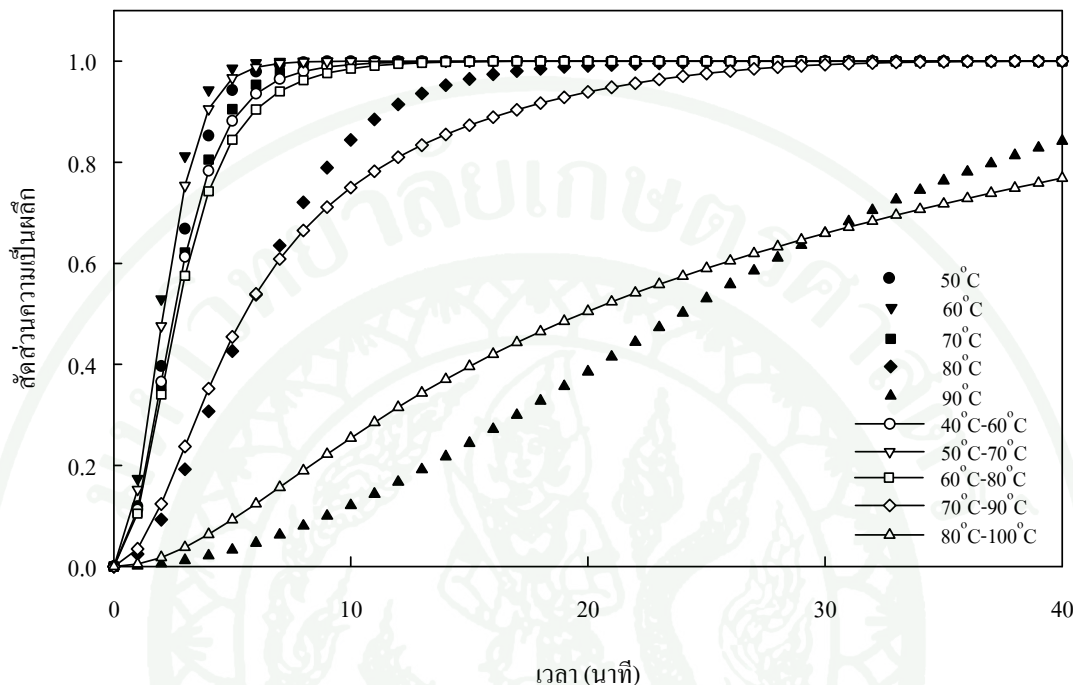
การศึกษาผลกระทบของการตอกผลึกภายในตัวสภาวะที่มีการเดินตัวของอุณหภูมิที่ช่วงอุณหภูมิต่างๆ ต่อจลนพลศาสตร์ของการตอกผลึก

เนื่องจากช่วงของอุณหภูมิที่พิจารณาส่วนผลกระทบต่อจลนพลศาสตร์ของการตอกผลึกไปในหลายรูปแบบ ผู้วิจัยจึงสนใจศึกษาผลกระทบของการตอกผลึกภายในตัวสภาวะที่มีการเดินตัวของอุณหภูมิที่ช่วงอุณหภูมิต่างๆ ต่อจลนพลศาสตร์ของการตอกผลึกโดยจะพิจารณาในพื้นที่ทั้งหมด

ผลกระทบของการตอกผลึกภายในตัวสภาวะที่มีการเดินตัวของอุณหภูมิที่ช่วงอุณหภูมิต่างๆ ต่อจลนพลศาสตร์ของการตอกผลึกซึ่งพิจารณาทั้งหมดในพื้นที่แสดงดังภาพที่ 21 ซึ่งพิจารณาการตอกผลึกภายในตัวสภาวะที่มีการเดินตัวของอุณหภูมิที่ 125 องศาเซลเซียสต่อมิลลิเมตร โดยพิจารณาที่ช่วงอุณหภูมิต่างๆ พบว่าส่วนใหญ่แล้วที่ช่วงอุณหภูมิต่ำจะมีความชันของสัดส่วนความเป็นผลึกมากกว่าที่ช่วงอุณหภูมิสูง เนื่องจากช่วงอุณหภูมิต่ำมีความหนาแน่นของนิวเคลียสสูงและมีอัตราการเติบโตของผลึกสูง แต่บางช่วงอุณหภูมิ เช่น 50 ถึง 70 องศาเซลเซียส จะมีความชันของสัดส่วนความเป็นผลึกมากกว่าที่ช่วงอุณหภูมิสูง แต่บางช่วงอุณหภูมิ เช่น 50 ถึง 70 องศาเซลเซียส ซึ่งเป็นผลเนื่องมาจากที่ช่วงอุณหภูมิดังกล่าวมีอัตราการเติบโตของผลึกที่สูงกว่า

เมื่อพิจารณาเปรียบเทียบกับการตอกผลึกภายในตัวสภาวะอุณหภูมิก็จะพบว่าที่การตอกผลึกภายในตัวสภาวะอุณหภูมิก็จะมีความชันของสัดส่วนความเป็นผลึกมากกว่าการตอกผลึกภายในตัวสภาวะที่มีการเดินตัวของอุณหภูมิ แต่บางช่วงอุณหภูมิ เช่น ที่ช่วงอุณหภูมิ 80 ถึง 100 องศาเซลเซียส และ 70 ถึง 90 องศาเซลเซียส ในช่วงแรกของการตอกผลึกจะมีความชัดของสัดส่วนความเป็นผลึกสูงกว่าการตอกผลึกในสภาวะอุณหภูมิก็จะเนื่องจากมีความหนาแน่นของนิวเคลียสที่มากกว่า และนิวเคลียสส่วนใหญ่จะเกิดที่อุณหภูมิต่ำ ซึ่งเป็นบริเวณที่มีอัตราการเติบโตของผลึกสูงกว่า จึงทำให้ผลึกเติบโตได้เร็วในช่วงแรกของการตอกผลึก และทำให้ผลึกเกิดการชนกันได้เร็วขึ้น และชนกันได้มากกว่าการตอกผลึกภายในตัวสภาวะอุณหภูมิก็จะจากการชนกันของผลึกที่บริเวณอุณหภูมิต่ำและมีอัตราการเติบโตของผลึกต่ำบริเวณที่อุณหภูมิสูง จึงทำให้ในช่วงหลังของการตอกผลึกในช่วงอุณหภูมิ 80 ถึง 100 องศาเซลเซียส และ 70 ถึง 90 องศาเซลเซียส ความชันของสัดส่วนความเป็นผลึกจะลดลง จะเห็นได้ว่าเมื่อเปรียบเทียบการตอกผลึกระหว่างอุณหภูมิก็จะ 90 องศาเซลเซียส กับช่วงอุณหภูมิ 80 ถึง 100 องศาเซลเซียส จากภาพที่ 21 และ 20 (ค) จะเห็นได้ว่าผลการจำลองที่ได้แตกต่างกัน และคงว่าการเดินตัวของอุณหภูมิจะส่งผลให้ตอกผลึกเร็วหรือช้าขึ้น ซึ่งกับช่วงอุณหภูมิ

ที่พิจารณาและช่วงการพิจารณาในอุณหภูมินั้นๆ ด้วย เนื่องจากช่วงอุณหภูมิที่ตกลงก็จะส่งผล กระแทบต่อตำแหน่งนิวเคลียส จำนวนนิวเคลียส และอัตราการเติบโตของผลึก



ภาพที่ 21 การเปรียบเทียบเที่ยบจลนพลาสต์ของการตกผลึกภายใต้สภาวะอุณหภูมิกองที่ (สัญลักษณ์ทึบ) และ เกรเดียนต์ของอุณหภูมิ (สัญลักษณ์โปร่ง)

การศึกษาค่าเฉลี่ยของค่าคงที่อัตราการตกผลึกของ Avrami สำหรับการตกผลึกภายใต้สภาวะที่มีเกรเดียนต์ของอุณหภูมิ

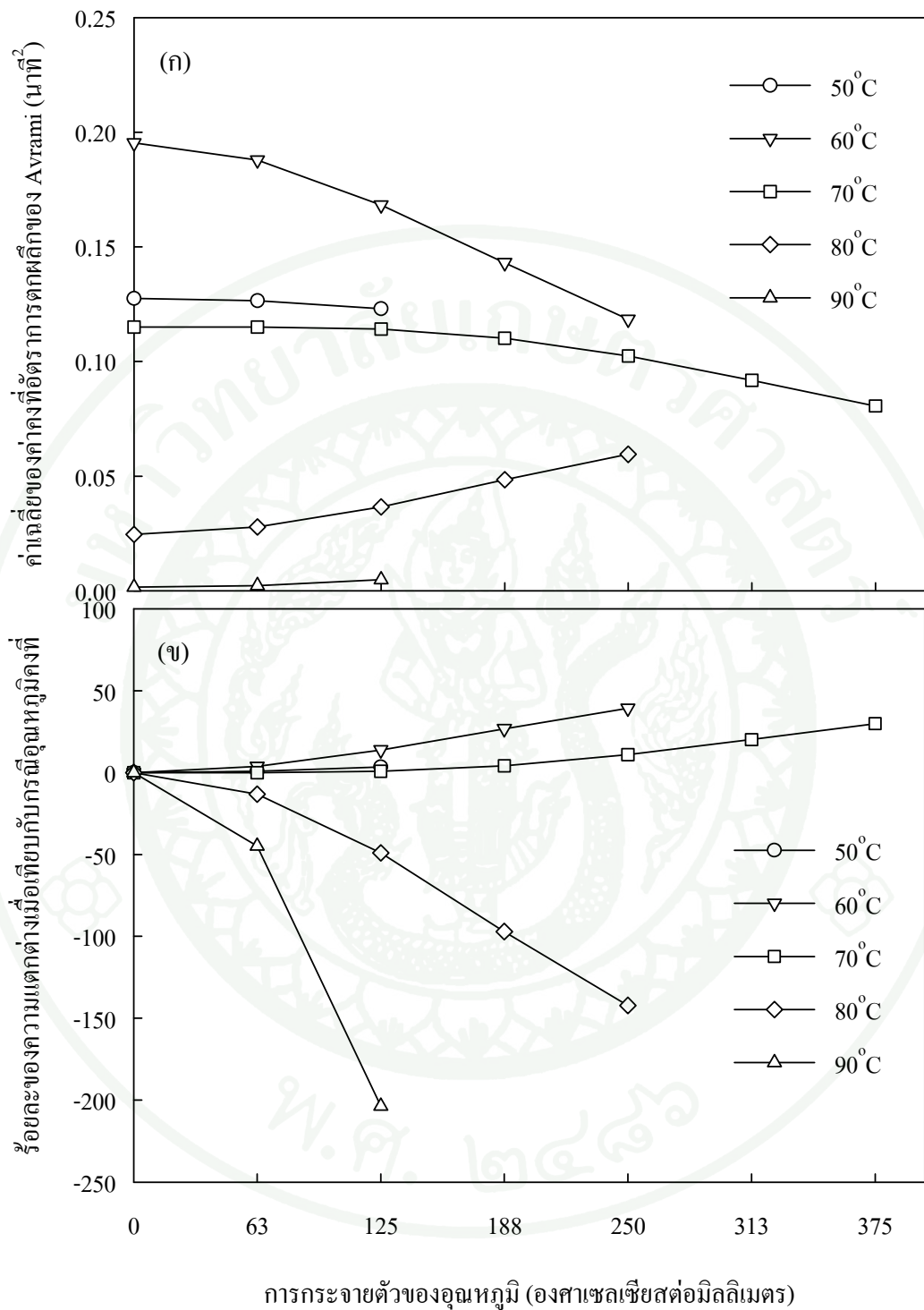
ค่าคงที่ของอัตราการตกผลึกของ Avrami (k_A) สามารถบ่งบอกถึงอัตราการตกผลึกได้ สำหรับการตกผลึกภายใต้สภาวะอุณหภูมิกองที่ ซึ่งจะรวมผลกระทบของความหนาแน่นของนิวเคลียสและอัตราการเติบโตของผลึก ทำให้ทราบได้ว่าอุณหภูมิจะตกผลึกเร็วกว่ากัน สำหรับชนิดไออกติก พอลิไพรพลีนที่ตกผลึกด้วยการเกิดนิวเคลียสแบบวิธีพันธุ์ค่าคงที่อัตราการตกผลึกของ Avrami ในช่วงอุณหภูมิ 40 ถึง 100 องศาเซลเซียส แสดงในภาพที่ 11 ซึ่งจะมีลักษณะเป็นโค้งระฆังกว่ามีค่าสูงสุดที่ 60 องศาเซลเซียส

ในงานวิจัยนี้ได้ศึกษาค่าเฉลี่ยของค่าคงที่อัตราการตกผลึกของ Avrami เพื่อใช้เป็นค่าเชิงวัดถึงอัตราเร็วในการตกผลึกภายในตัวอย่างที่มีเกรเดียนต์ของอุณหภูมิ โดยคำนวณอุณหภูมิที่มีการเปลี่ยนแปลงตามทิศทางแนวนอนจาก (25) แล้วแทนค่าอุณหภูมิที่คำนวณได้เพื่อหาค่าค่าคงที่อัตราการตกผลึกของ Avrami ในแต่ละอุณหภูมิด้วยดังสมการ (23) จากนั้นแทนค่าใน (28) เพื่อหาค่าเฉลี่ยของค่าคงที่ของ Avrami ภายใต้สภาวะที่มีเกรเดียนต์ของอุณหภูมิ

$$\text{ค่าเฉลี่ยของค่าคงที่ของ Avrami} = \int_{x=1}^{x=X} k_A(T(x))dx \quad (28)$$

ภาพที่ 22 (ก) แสดงถึงผลกราฟของเกรเดียนต์ของอุณหภูมิในลักษณะที่เกรเดียนต์ของอุณหภูมิออกทั้งสองข้างจากอุณหภูมิกึ่งกลางต่อค่าเฉลี่ยของค่าคงที่อัตราการตกผลึกของ Avrami ซึ่งเป็นผลกราฟจากความหนาแน่นของนิวเคลียส (N) และอัตราการเติบโตของผลึก (G) พบว่าที่อุณหภูมิกึ่งกลาง 50, 60 และ 70 องศาเซลเซียส ค่าเฉลี่ยของค่าคงที่อัตราการตกผลึกของ Avrami จะลดลงเมื่อเกรเดียนต์ของอุณหภูมิเพิ่มขึ้น แสดงว่าเมื่อเกรเดียนต์ของอุณหภูมิเพิ่มขึ้นจะทำให้ต่ำผลึกช้าลง ซึ่งสอดคล้องกับผลการจำลองในภาพที่ 20 เมื่อเปรียบเทียบระหว่างการตกผลึกที่อุณหภูมิกึ่งกลาง 50, 60 และ 70 องศาเซลเซียส กับการตกผลึกในช่วงอุณหภูมิ 40 ถึง 60 องศาเซลเซียส 50 ถึง 70 องศาเซลเซียส และ 60 ถึง 80 องศาเซลเซียส ตามลำดับ ในทางกลับกันในกรณีที่อุณหภูมิกึ่งกลาง 80 และ 90 องศาเซลเซียส พบร่วมค่าเฉลี่ยของค่าคงที่อัตราการตกผลึกของ Avrami จะเพิ่มขึ้นเมื่อเกรเดียนต์ของอุณหภูมิเพิ่มขึ้น แสดงว่าเมื่อเกรเดียนต์ของอุณหภูมิเพิ่มขึ้น จะทำให้ต่ำผลึกเร็วขึ้น จากผลการจำลองในภาพที่ 20 เมื่อเปรียบเทียบระหว่างการตกผลึกที่อุณหภูมิกึ่งกลาง 80 และ 90 องศาเซลเซียส กับการตกผลึกในช่วงอุณหภูมิ 70 ถึง 90 องศาเซลเซียส และ 80 ถึง 100 องศาเซลเซียส ตามลำดับ จะพบว่าในช่วงแรกของการตกผลึกเมื่อต่ำผลผลักภัยได้สภาวะที่มีเกรเดียนต์ของอุณหภูมิจะทำให้ต่ำผลึกเร็วกว่าอุณหภูมิคงที่ สอดคล้องกับค่าเฉลี่ยของค่าคงที่อัตราการตกผลึกของ Avrami ที่เพิ่มขึ้น

เมื่อนำค่าเฉลี่ยของค่าคงที่อัตราการตกผลึกของ Avrami มาคำนวณเป็นร้อยละของความแตกต่างของค่าเฉลี่ยของค่าคงที่อัตราการตกผลึกของ Avrami โดยเปรียบเทียบค่าเฉลี่ยของค่าคงที่อัตราการตกผลึกของ Avrami กับค่าคงที่อัตราการตกผลึกของ Avrami ที่อุณหภูมิคงที่หรือไม่มีเกรเดียนต์ของอุณหภูมิ จะทำให้เห็นความแตกต่างของผลกราฟจากเกรเดียนต์ของอุณหภูมิชัดเจนขึ้น ดังแสดงในภาพที่ 22 (ข)



ภาพที่ 22 ผลกระแทบจากเกรเดียนต์ของอุณหภูมิคี้วายการเกิดนิวเคลียสแบบวิชพันธุ์ที่อุณหภูมิกึ่งกลางต่างๆ ต่อ (ก) ค่าเฉลี่ยของค่าคงที่อัตราการแตกผลึกของ Avrami (η) ร้อยละของความแตกต่างเมื่อเทียบกับกรณีอุณหภูมิกึ่งที่

การศึกษาผลกระทบของการตกผลึกภายในกรัฟท์ที่มีการเดินตัวของอุณหภูมิต่อจลนพลาสต์ของ การตกผลึก

จากการศึกษาผลกระทบของการตกผลึกภายในกรัฟท์ที่กำหนดให้อุณหภูมิกึ่งกลาง 60 และ 70 องศาเซลเซียส ดังแสดงในภาพที่ 23 และ 24 พบว่าเมื่อตกผลึกภายในกรัฟท์ที่มีการเดินตัวของอุณหภูมิสูงขึ้นจะทำให้ความชันของสัดส่วนความเป็นผลึกลดลง เนื่องจากอุณหภูมิกึ่งกลางเป็นอุณหภูมิคงที่ ที่มีค่าคงที่ของอัตราการตกผลึกของ Avrami สูง ดังแสดงในภาพที่ 22 จึงทำให้ตกผลึกเร็ว เมื่อการเดินตัวของ อุณหภูมิสูงขึ้น ค่าเฉลี่ยของค่าคงที่อัตราการตกผลึกของ Avrami ลดลง จึงทำให้ตกผลึกช้าลง นอกจากนี้การตกผลึกภายในกรัฟท์ที่มีการเดินตัวของอุณหภูมนั้นนิวเคลียสส่วนใหญ่จะเกิด หนาแน่นที่บริเวณด้านที่อุณหภูมิต่ำ ยิ่งการเดินตัวของอุณหภูมามากขึ้น นิวเคลียสเกิดจะเกิด หนาแน่นที่อุณหภูมิต่ำมากขึ้น จะทำให้ในบริเวณนั้นเกิดการชนกันของผลึกมากขึ้น ซึ่งบริเวณที่เกิด การชนกันนั้นจะหยุดการเติบโตมิเพียงส่วนที่ไม่เกิดการชนกันเท่านั้นที่เติบโตต่อไปได้ จึงทำให้ยิ่ง เกิดการเดินตัวของอุณหภูมิสูงขึ้นต่อกลับ ซึ่งผลจากการจำลองพบว่าสอดคล้องกับค่าเฉลี่ยของค่าคงที่ อัตราการตกผลึกของ Avrami ที่ลดลงตามการเดินตัวของอุณหภูมิที่เพิ่มขึ้นดังแสดงในตารางที่ 2 และ 3 ตามลำดับ ในกรณีนี้จะเห็นได้ว่าค่าเฉลี่ยของค่าคงที่อัตราการตกผลึกของ Avrami สามารถ นำมาใช้เป็นตัวชี้วัดอัตราการการตกผลึกได้ในเบื้องต้น

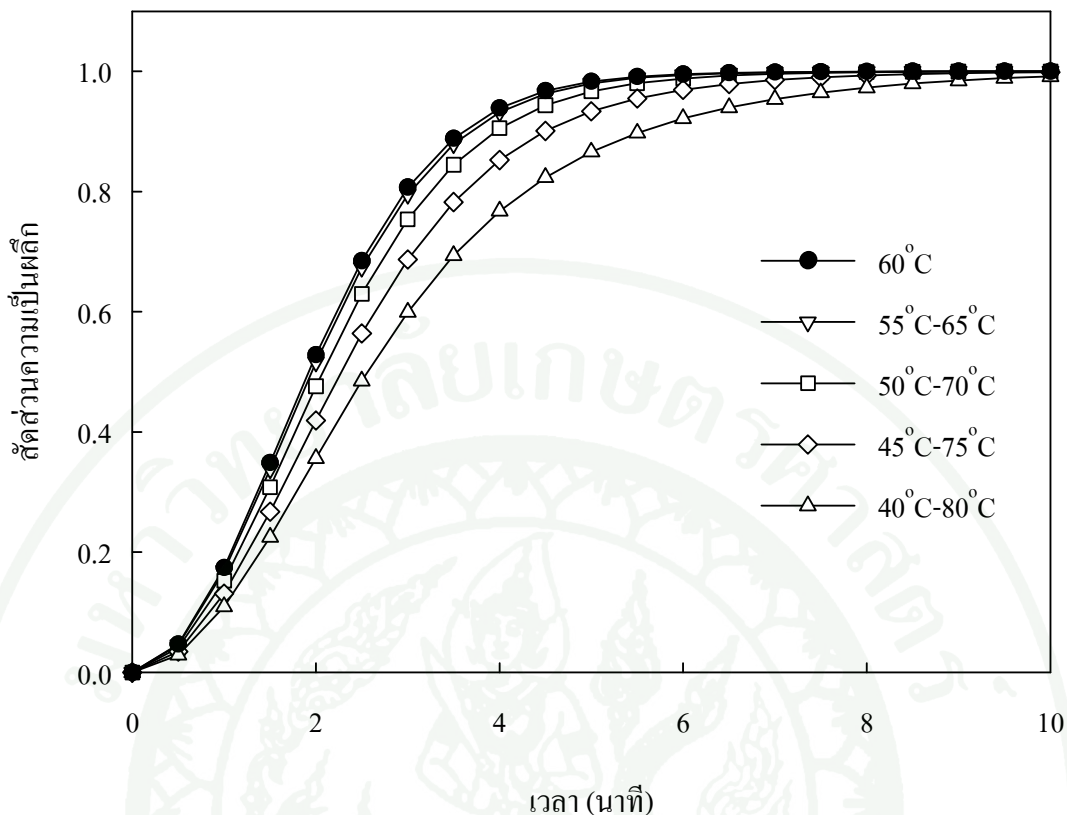
แต่การการเปรียบเทียบจลนพลาสต์ของการตกผลึกภายในกรัฟท์ที่มีการเดินตัวของ อุณหภูมิที่อุณหภูมิกึ่งกลาง 80 องศาเซลเซียส ในภาพที่ 25 พบว่าในช่วงแรกของการตกผลึก เกิดการเดินตัวของอุณหภูมิที่เพิ่มขึ้นจะทำให้ความชันของสัดส่วนความเป็นผลึกเพิ่มขึ้น ซึ่งมีความ สอดคล้องกับค่าเฉลี่ยของค่าคงที่อัตราการตกผลึกของ Avrami ที่เพิ่มตามการเดินตัวของอุณหภูมิที่ เพิ่มขึ้นดังแสดงในตารางที่ 4 แต่ในช่วงหลังของการตกผลึกจะพบว่าเมื่อการเดินตัวของอุณหภูมิ เพิ่มขึ้นส่งผลให้ความชันของสัดส่วนความเป็นผลึกลดลง เนื่องจากการกระจายตัวของตำแหน่ง นิวเคลียส การตกผลึกภายในกรัฟท์ที่มีการเดินตัวของอุณหภูมนั้นนิวเคลียสส่วนใหญ่จะเกิด หนาแน่นที่บริเวณด้านที่อุณหภูมิต่ำ ยิ่งการเดินตัวของอุณหภูมามากขึ้น ยิ่งทำให้นิวเคลียสเกิด หนาแน่นที่อุณหภูมิต่ำมากขึ้นและในกรณีนี้บริเวณที่อุณหภูมิต่ำนั้นมีอัตราการเติบโตของผลึกสูง จึงทำให้ในช่วงแรกของการตกผลึกที่การเดินตัวของอุณหภูมิสูงจะมีความชันของสัดส่วนความเป็น ผลึกสูง ต่อมามีการชนกันของผลึกมากขึ้นในบริเวณนั้นจึงทำให้ความชันของสัดส่วนความ เป็นผลึกลดลง และในกรณีนี้ผลึกที่เติบโตในบริเวณที่อุณหภูมิสูงจะมีอัตราการเติบโตของผลึกต่ำ

จึงทำให้ในช่วงหลังของการตอกผลึกความชันของสัดส่วนความเป็นผลึกจึงลดลงเมื่อเกรเดียนต์ของอุณหภูมิมากขึ้น

อย่างไรก็ตามในช่วงแรกของการตอกผลึกภายในได้สภาวะที่มีเกรเดียนต์ของอุณหภูมิในกรณีที่อุณหภูมิกว่ากําลังตํา ได้แก่ 60 และ 70 องศาเซลเซียส นั้นได้รับผลกระทบจากการกระจายตัวของตำแหน่งนิวเคลียสและอัตราการเติบโตของผลึก เช่นกัน แต่เนื่องจากในกรณีนี้ เมื่อเกรเดียนต์ของอุณหภูมิสูงขึ้น นิวเคลียสส่วนใหญ่จะเกิดบริเวณที่อุณหภูมิตํา ซึ่งในบริเวณนี้มีอัตราการเติบโตของผลึกต่ำกว่าอุณหภูมิคงที่ การตอกผลึกที่อุณหภูมิคงที่จึงมีความชันของสัดส่วนความเป็นผลึกสูงกว่าเมื่อเปรียบเทียบกับการตอกผลึกภายในได้สภาวะที่มีเกรเดียนต์ของอุณหภูมิ

นอกจากนี้การศึกษาผลกระทบของการตอกผลึกภายในได้สภาวะที่มีเกรเดียนต์ของอุณหภูมิต่อจลนพลาสต์ของการตอกผลึกในกรณีที่กำหนดให้อุณหภูมิด้านซ้ายเท่ากับ 40 องศาเซลเซียส แล้ว มีเกรเดียนต์ของอุณหภูมิออกไปทางด้านขวา พบว่าความชันของสัดส่วนความเป็นผลึกลดลงเมื่อเกรเดียนต์ของอุณหภูมิมากขึ้น แต่ที่ช่วงอุณหภูมิ 40 ถึง 80 องศาเซลเซียส จะมีความชันของสัดส่วนความเป็นผลึกสูง ดังแสดงในภาพที่ 26 เมื่อจากผลกระทบของการตอกผลึกที่ช่วงอุณหภูมิ 40 ถึง 80 องศาเซลเซียส เป็นช่วงที่มีอัตราการเติบโตของผลึกสูง ซึ่งผลการจำลองที่ได้พบว่าสอดคล้องกับค่าเฉลี่ยของค่าคงที่ของ Avrami ที่ลดลงตามเกรเดียนต์ของอุณหภูมิที่เพิ่มขึ้นดังแสดงในตารางที่ 5 แสดงว่าในกรณีนี้ค่าเฉลี่ยของค่าคงที่ของ Avrami สามารถนำมาใช้เป็นตัวชี้วัดอัตราเร็วของการตอกผลึกได้

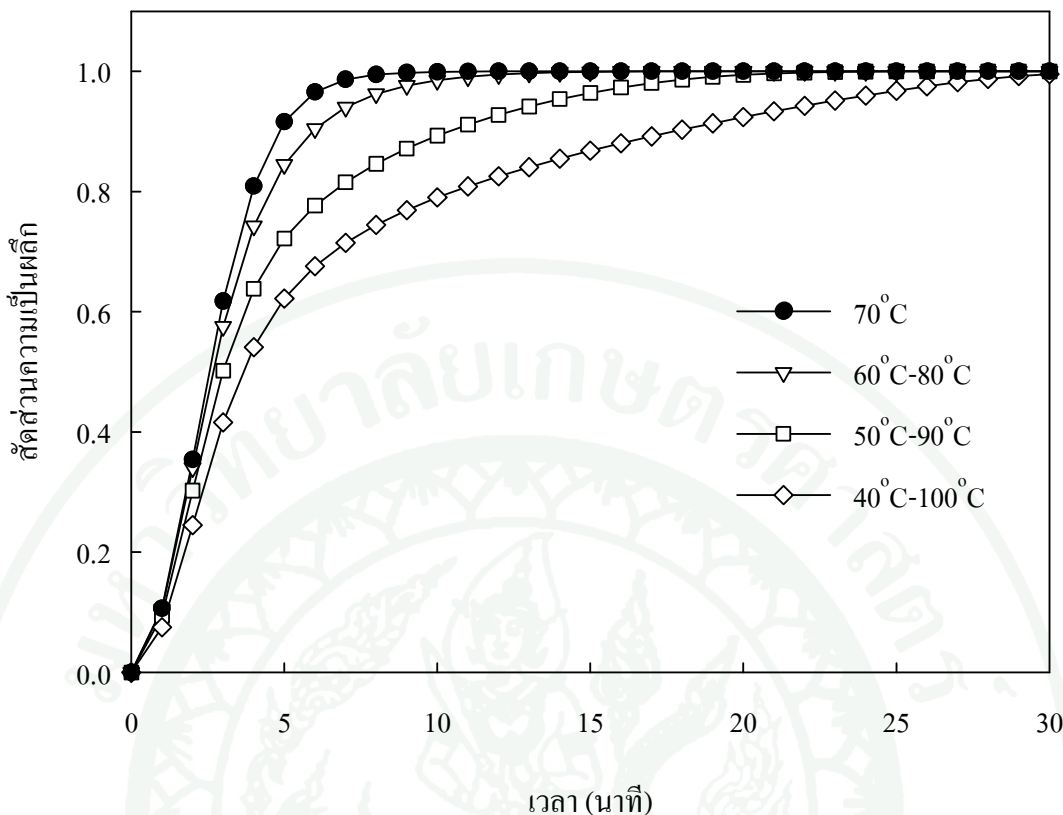
ผลการจำลองทั้ง 3 กรณีสามารถสรุปได้ว่าการตอกผลึกภายในได้สภาวะที่มีเกรเดียนต์ของอุณหภูมิต่อจลนพลาสต์ของการตอกผลึก ซึ่งจะทำให้ตอกผลึกช้าลง อย่างไรก็ตามต้องพิจารณาถึงช่วงอุณหภูมิที่ตอกผลึกและช่วงพิจารณาในช่วงอุณหภูมนี้ด้วย เนื่องจากอุณหภูมิส่งผลกระทบต่อความหนาแน่นของนิวเคลียส การกระจายตัวของตำแหน่งนิวเคลียสและอัตราการเติบโตของผลึก



ภาพที่ 23 ผลกระทบจากการตอกผลึกภายในไส้สภาวะที่มีเกรดีเย็นต์ของอุณหภูมิต่อจลนพลาสต์ของ การตอกผลึกที่อุณหภูมิกึ่งกลาง 60 องศาเซลเซียส

ตารางที่ 2 ค่าเฉลี่ยของค่าคงที่อัตราการตอกผลึกของ Avrami ภายในไส้สภาวะที่มีเกรดีเย็นต์ของ อุณหภูมิด้วยการเกิดนิวเคลียสแบบบิวชันท์ที่อุณหภูมิกึ่งกลาง 60 องศาเซลเซียส

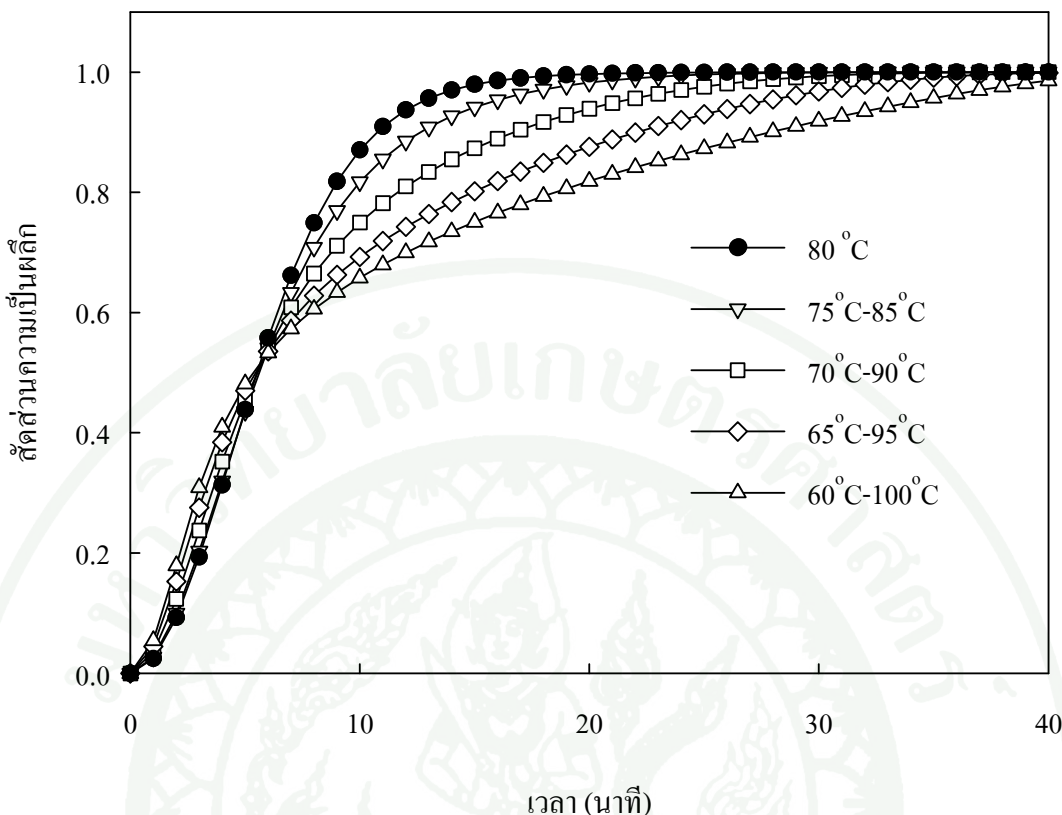
อุณหภูมิที่ตอกผลึก	ค่าเฉลี่ยของค่าคงที่อัตราการตอกผลึกของ Avrami (นาที ⁻²)
60°C	0.1953
55°C-65°C	0.1878
50°C-70°C	0.1683
45°C-75°C	0.1430
40°C-80°C	0.1185



ภาพที่ 24 ผลกระทบจากการตกลดภายในไนโตรเจนที่มีเกรดเดียนต์ของอุณหภูมิต่อจลนพลาสต์ของ การตกลดที่อุณหภูมิด้านกึ่งกลางเท่ากับ 70 องศาเซลเซียส

ตารางที่ 3 ค่าเฉลี่ยของค่าคงที่อัตราการตกลดของ Avrami ภายใต้สภาวะที่มีเกรดเดียนต์ของ อุณหภูมิด้านกึ่งกลางเท่ากับ 70 องศาเซลเซียส

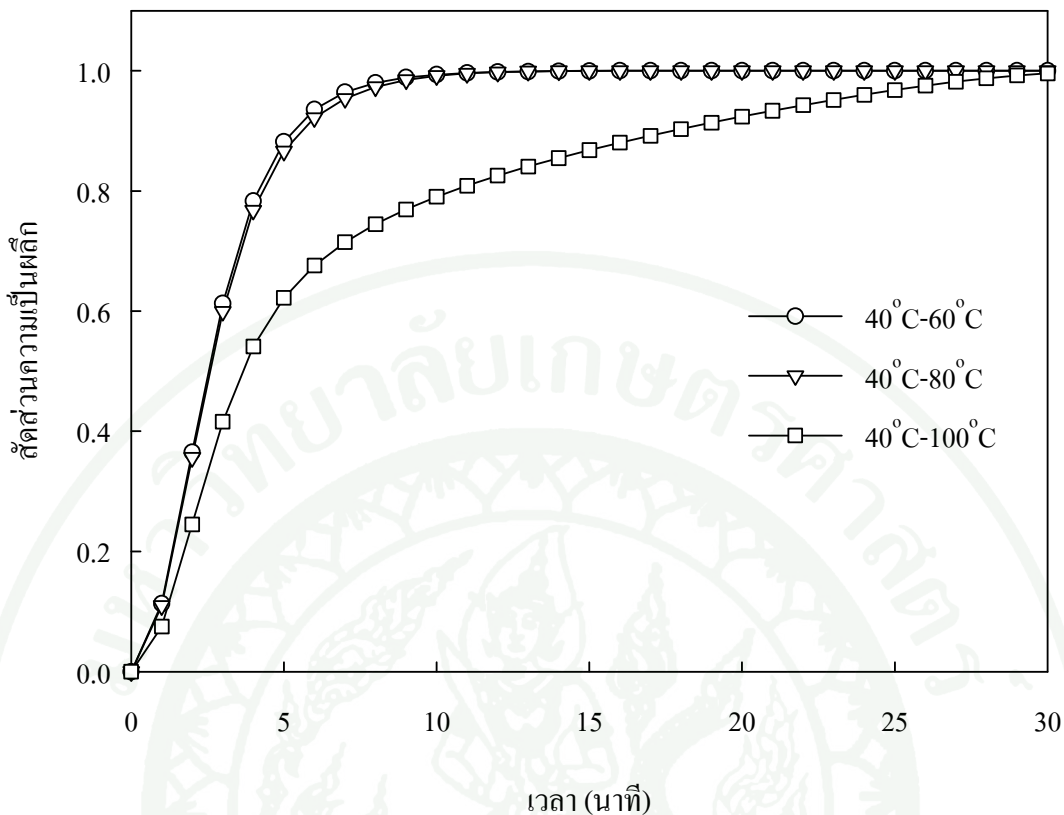
อุณหภูมิที่ตกลด	ค่าเฉลี่ยของค่าคงที่อัตราการตกลดของ Avrami (นาที^2)
70°C	0.1150
60°C-80°C	0.1141
50°C-90°C	0.1024
40°C-100°C	0.0806



ภาพที่ 25 ผลกระทบจากการตกลดภัยไฟสภาวะที่มีเกรเดียนต์ของอุณหภูมิต่อจลนผลศาสตร์ของ การตกลดภัยที่อุณหภูมิกึ่งกลาง 80 องศาเซลเซียส

ตารางที่ 4 ค่าเฉลี่ยของค่าคงที่อัตราการตกลดภัยของ Avrami ภายใต้สภาวะที่มีเกรเดียนต์ของ อุณหภูมิด้วยการเกิดนิวเคลียลีสแบบวิชพันธุ์ที่อุณหภูมิกึ่งกลาง 80 องศาเซลเซียส

อุณหภูมิที่ตกลดภัย	ค่าเฉลี่ยของค่าคงที่อัตราการตกลดภัยของ Avrami (นาที^2)
80°C	0.0246
75°C-85°C	0.0278
70°C-90°C	0.0366
65°C-95°C	0.0484
60°C-100°C	0.0595



ภาพที่ 26 ผลกระทบจากการตอกผลึกภายใต้สภาวะที่มีการเดินตัวของอุณหภูมิต่อจลนพลาสต์ของ การตอกผลึกที่อุณหภูมิด้านซ้ายเท่ากับ 40 องศาเซลเซียส

ตารางที่ 5 ค่าเฉลี่ยของค่าคงที่อัตราการตอกผลึกของ Avrami ภายใต้สภาวะที่มีการเดินตัวของ อุณหภูมิด้วยการเกิดนิวเคลียสแบบบิวิชพันธุ์ที่อุณหภูมิด้านซ้าย 40 องศาเซลเซียส

อุณหภูมิที่ตอกผลึก	ค่าเฉลี่ยของค่าคงที่อัตราการตอกผลึกของ Avrami (นาที ²)
40°C-60°C	0.1230
40°C-80°C	0.1185
40°C-100°C	0.0806

การศึกษาผลกระทบของการตอกผลึกภายใต้สภาวะที่มีเกรดียนต์ของอุณหภูมิต่อสัณฐานวิทยาในช่วงระหว่างการตอกผลึก

ขนาดเฉลี่ยของผลึกในช่วงระหว่างการตอกผลึก

ในกลุ่มงานวิจัยนี้ Ketdee (2007) ได้ศึกษาผลกระทบจากความหนาแน่นของนิวเคลียสและอัตราการเติบโตของผลึกต่อน้ำดินเฉลี่ยของผลึก แล้วพบว่าเมื่อความหนาแน่นของนิวเคลียสเพิ่มขึ้น ขนาดเฉลี่ยของผลึกจะลดลง เนื่องจากผลึกชนกัน ได้มากขึ้น และชนกัน ได้เร็วขึ้น แต่เมื่อเพิ่มอัตราการเติบโตของผลึก พบร่วมน้ำดินเฉลี่ยของผลึกจะเพิ่มขึ้นอย่างรวดเร็ว ทำให้ผลึกชนกัน ได้เร็วขึ้น แต่ไม่ส่งผลกระทบต่อน้ำดินเฉลี่ยของผลึกเมื่อตอกผลึกสมบูรณ์ นอกจากนี้ยังพบว่าเมื่อตอกผลึกที่อุณหภูมิสูงขึ้น ขนาดเฉลี่ยของผลึกจะลดลง เนื่องจากเมื่ออุณหภูมิสูงขึ้น ความหนาแน่นของนิวเคลียสจะลดลง จากความสัมพันธ์ของน้ำดินเฉลี่ยกับเวลาสามารถแบ่งพิจารณาได้ 3 ช่วง ดังนี้ ช่วงต้นที่เริ่มการตอกผลึก ความชันของน้ำดินเฉลี่ยของผลึกจะต่ำ เนื่องจากผลึกมีขนาดเล็ก ต่อมามีเวลาเพิ่มขึ้น ความชันของน้ำดินเฉลี่ยของผลึกจะเพิ่มขึ้น แล้วเมื่อเกิดการชนกันของผลึก ในช่วงหลังของการตอกผลึก ความชันของน้ำดินเฉลี่ยของผลึกจะเพิ่มขึ้นอย่างรวดเร็ว

การศึกษาผลกระทบของการตอกผลึกภายใต้สภาวะที่มีเกรดียนต์ของอุณหภูมิที่ช่วงอุณหภูมิต่างๆ ต่อน้ำดินเฉลี่ยของผลึกในช่วงระหว่างการตอกผลึก พิจารณาภาพที่ 27 พบว่าที่ช่วงอุณหภูมิต่ำลง ขนาดเฉลี่ยของผลึกจะเล็กลง ซึ่งเป็นผลกระทบจากความหนาแน่นของนิวเคลียส เนื่องจาก การตอกผลึกที่ช่วงอุณหภูมิต่ำ จะมีความหนาแน่นของนิวเคลียสมากกว่าช่วงอุณหภูมิสูง ทำให้ผลึกมีโอกาสชนกัน ได้เร็วขึ้น และชนกัน ได้มากขึ้น ในบริเวณที่เกิดการชนกันผลึกจะหยุดเติบโต จึงทำให้ การตอกผลึกในช่วงที่อุณหภูมิต่ำมีขนาดเฉลี่ยของผลึกเล็ก แต่จะเห็นว่าในช่วงแรกๆ ของการตอกผลึก ที่ช่วงอุณหภูมิ 70 ถึง 90 องศาเซลเซียส จะมีขนาดเฉลี่ยของผลึกใหญ่กว่าช่วงอุณหภูมิ 80 ถึง 90 องศาเซลเซียส เนื่องจากจำนวนนิวเคลียสที่มากกว่าส่วนใหญ่เกิดหนาแน่นในบริเวณที่อุณหภูมิต่ำ ซึ่งมีอัตราการเติบโตของผลึกสูง จึงทำให้ในช่วงแรกๆ ของการตอกผลึกเกิดผลึกที่ขนาดเฉลี่ยใหญ่กว่าช่วงอุณหภูมิ 80 ถึง 90 องศาเซลเซียส แต่เมื่อเกิดการชนกันของผลึก จึงทำให้ความชันของน้ำดินเฉลี่ยใหญ่

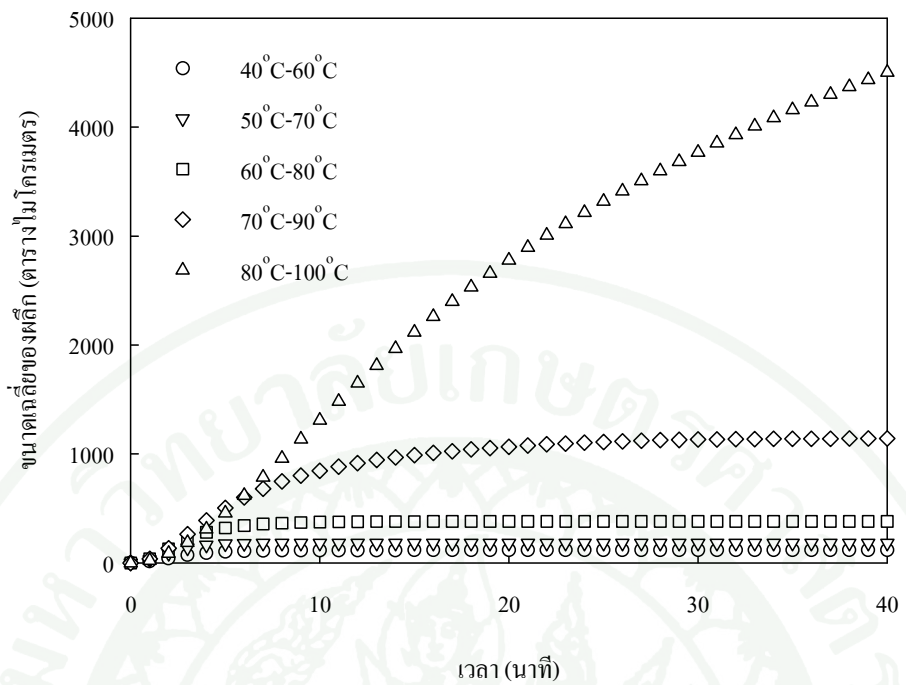
การศึกษาผลกระทบของการตอกผลึกภายใต้สภาวะที่มีเกรดียนต์ของอุณหภูมิต่อน้ำดินเฉลี่ยของผลึกในช่วงระหว่างการตอกผลึกในกรณีที่กำหนดให้อุณหภูมิกึ่งกลาง ได้แก่ 60, 70 และ 80

องค่าเซลเซียส ดังแสดงในภาพที่ 28, 29 และ 30 พบว่าในกรณีขนาดเฉลี่ยของผลึกจะลดลงเมื่อ เกรเดียนต์ของอุณหภูมิสูงขึ้น เนื่องจากความหนาแน่นของนิวเคลียสจะเพิ่มขึ้นตามเกรเดียนต์ของ อุณหภูมิ เมื่อเกรเดียนต์ของอุณหภูมิสูงขึ้นนิวเคลียสส่วนใหญ่จะเกิดหนาแน่นมากขึ้นในบริเวณที่ อุณหภูมิต่ำ จึงเกิดการชนกันของผลึกมากขึ้น บริเวณที่เกิดการชนกันจะหยุดการเติบโต จึงทำให้ ขนาดผลึกที่บริเวณอุณหภูมิต่ำมีขนาดเล็กมากๆ แต่บริเวณที่อุณหภูมิสูงจะมีขนาดผลึกที่ใหญ่ อย่างไรก็ตามขนาดผลึกส่วนใหญ่นั้นมีขนาดเล็ก จึงทำให้ขนาดเฉลี่ยของผลึกมีขนาดเล็กลงเมื่อ เกรเดียนต์ของอุณหภูมิเพิ่มขึ้น

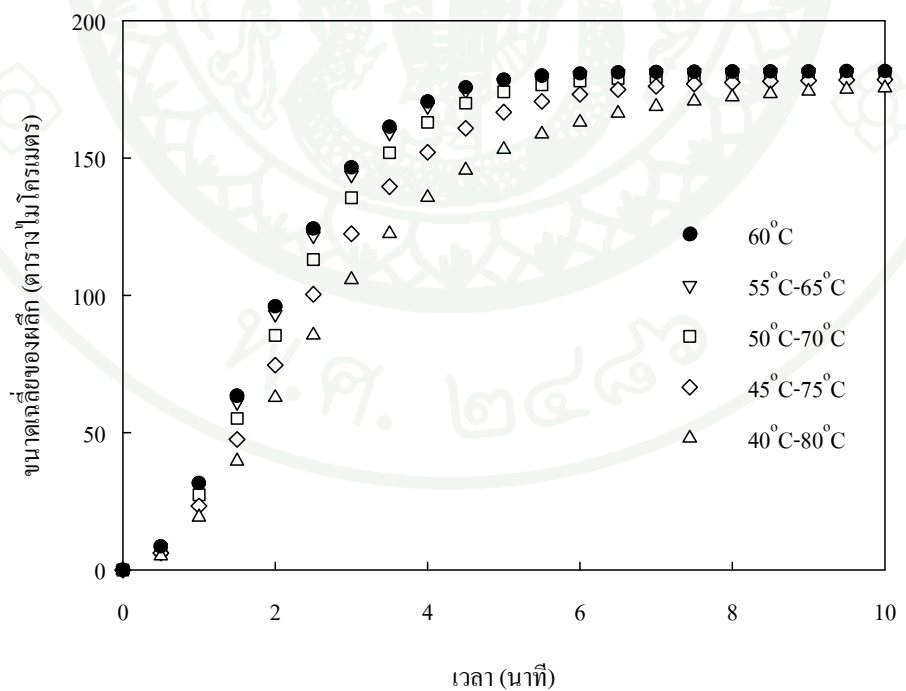
จากภาพที่ 30 กรณีที่อุณหภูมิกึ่งกลาง 80 องศาเซลเซียส ขนาดเฉลี่ยของผลึกมีขนาด ใกล้เคียงกันในช่วงแรกๆของการตกผลึก เนื่องจากการตกผลึกภายในสภาวะที่มีเกรเดียนต์ของ อุณหภูมนิวเคลียสจะเกิดหนาแน่นในบริเวณที่อุณหภูมิต่ำ ซึ่งในกรณีเป็นบริเวณที่มีอัตราการ เติบโตของผลึกสูง ในช่วงแรกๆผลึกมีการชนกันของผลึกน้อย ขนาดเฉลี่ยของผลึกภายในสภาวะที่ มีเกรเดียนต์ของอุณหภูมิจึงมีขนาดใหญ่ใกล้เคียงกับขนาดเฉลี่ยของอุณหภูมิกึ่งกลาง 80 องศาเซลเซียส แต่เมื่อเกิดการชนกันของผลึกจะทำให้ส่วนที่เกิดการชนกันหยุดเติบโต จึงทำให้ ความชันของขนาดเฉลี่ยลดลง แต่ในช่วงหลังของการตกผลึกช่วงอุณหภูมิ 75 ถึง 85 องศาเซลเซียส มีขนาดเฉลี่ยของใกล้เคียงกับของอุณหภูมิ 80 องศาเซลเซียส เนื่องจากในช่วงอุณหภูมนั้นมีความ หนาแน่นของนิวเคลียสใกล้เคียงกับที่อุณหภูมิ 80 องศาเซลเซียส

ในทางกลับกันกรณีที่กำหนดให้อุณหภูมิที่ด้านซ้ายเท่ากับ 40 องศาเซลเซียส แล้วเมื่อ เกรเดียนต์ของอุณหภูมิออกไปทางด้านขวาดังแสดงในภาพที่ 31 พบว่าเมื่อเกรเดียนต์ของอุณหภูมิ สูงขึ้นขนาดเฉลี่ยของผลึกจะเพิ่มขึ้น เนื่องจากในกรณีความหนาแน่นของนิวเคลียสจะลดลง เมื่อ เกรเดียนต์ของอุณหภูมิสูงขึ้น จึงทำให้ขนาดเฉลี่ยของผลึกลดลง

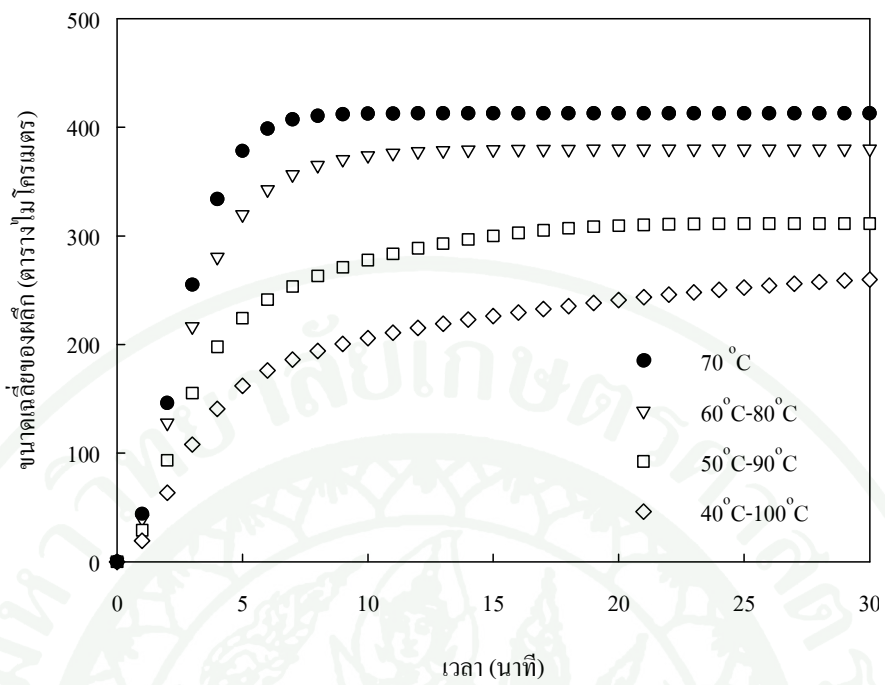
จึงสามารถสรุปได้ว่าเกรเดียนต์ของอุณหภูมิส่งผลกระทบต่อน้ำแข็งเฉลี่ยของผลึกในช่วง ระหว่างที่ตกผลึก ซึ่งจะต้องพิจารณาถึงช่วงอุณหภูมิที่ศึกษาด้วย เนื่องจากช่วงอุณหภูมิที่ศึกษา เกรเดียนต์ของอุณหภูมิจะส่งผลกระทบต่อการเปลี่ยนแปลงของความหนาแน่นของนิวเคลียส การ กระจายตัวของตำแหน่งนิวเคลียสและอัตราการเกิดนิวเคลียส



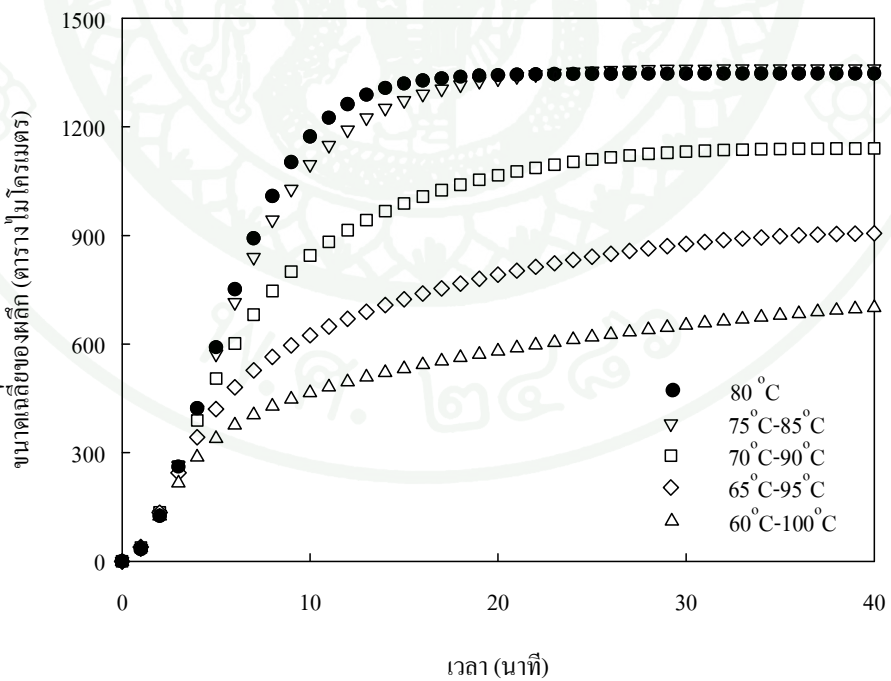
ภาพที่ 27 ผลกระทบจากการตกลดลึกภายในสภาวะที่มีเกรเดียนต์ของอุณหภูมิที่ช่วงอุณหภูมิต่างๆ ด้วยการเกิดนิวเคลียสแบบวิธีพันธุ์ต่อขนาดเฉลี่ยของผลึกในช่วงระหว่างการตกลดลึก



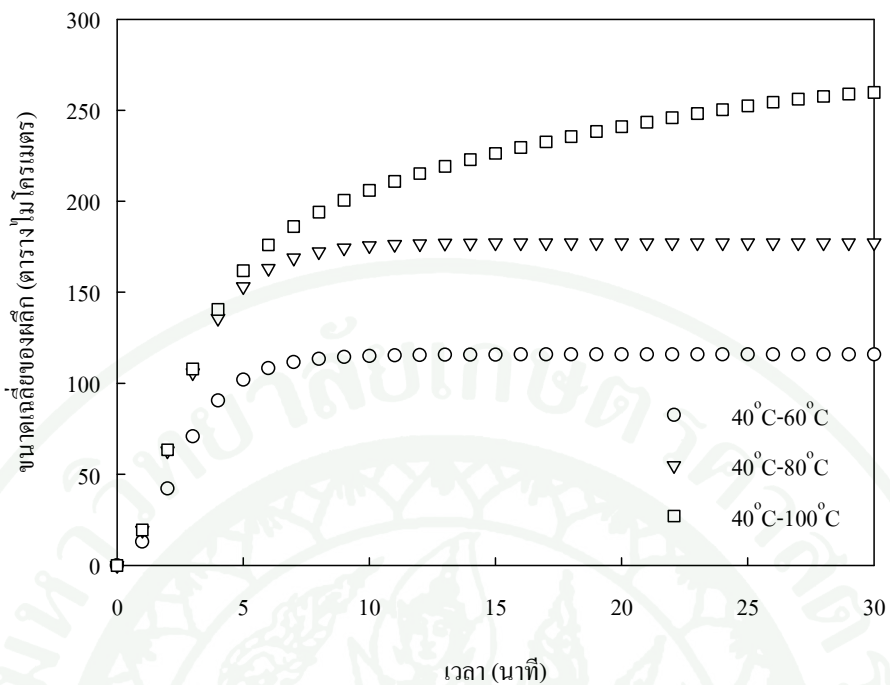
ภาพที่ 28 ผลกระทบจากการตกลดลึกภายในสภาวะที่มีเกรเดียนต์ของอุณหภูมิต่อขนาดเฉลี่ยของผลึกในช่วงระหว่างการตกลดลึกที่อุณหภูมิกึ่งกลาง 60 องศาเซลเซียส



ภาพที่ 29 ผลกระทบจากการตอกผลึกภายในช่วงระหว่างการตอกผลึกที่อุณหภูมิกึ่งกลางเท่ากับ 70 องศาเซลเซียส



ภาพที่ 30 ผลกระทบจากการตอกผลึกภายในช่วงระหว่างการตอกผลึกที่อุณหภูมิกึ่งกลาง 80 องศาเซลเซียส



ภาพที่ 31 ผลกระทบจากการตอกผลึกภายในช่วงระหว่างการตอกผลึกที่อุณหภูมิค้านซ้ายเท่ากับ 40 องศาเซลเซียส

การกระจายตัวของขนาดผลึกในช่วงระหว่างการตอกผลึก

จากการจำลองการกระจายตัวของขนาดผลึกในช่วงระหว่างการตอกผลึกภายในช่วงระหว่างการตอกผลึกโดยใช้สภาวะคงที่ (Ketdee, 2007) พบว่าที่ช่วงเวลาแรกของการตอกผลึก การกระจายตัวของขนาดผลึกจะแคบ ขนาดของผลึกส่วนใหญ่จะมีขนาดเล็ก และผลึกจะมีขนาดใกล้เคียงกัน เมื่อเวลาเพิ่มขึ้นผลึกเกิดการเติบโตมากขึ้น เกิดการชนกันของผลึก บริเวณที่เกิดการชนกันจะหยุดเติบโตในขณะที่บริเวณที่ไม่เกิดการชนกันจะเติบโตต่อไป จึงทำให้การกระจายตัวของขนาดผลึกจะกว้างขึ้น

ผลกระทบของการตอกผลึกภายในช่วงระหว่างการตอกผลึกที่ช่วงอุณหภูมิต่างๆ แสดงในภาพที่ 32 ซึ่งสัดส่วนจำนวนผลึกณ เวลาใดเวลาหนึ่งคำนวณจากจำนวนของผลึกในแต่ละช่วงของขนาดผลึกที่พิจารณาคิดต่อจำนวนนิวเคลียสทั้งหมดที่เกิดขึ้น เมื่อพิจารณาที่เวลาเดียวกันในช่วงระหว่างการตอกผลึกพบว่าเมื่อตอกผลึกในช่วงอุณหภูมิที่สูงขึ้น การกระจายตัวของขนาดผลึกจะกว้างขึ้น ผลึกส่วนใหญ่จะมีขนาดใหญ่ขึ้น เมื่อช่วงของอุณหภูมิที่ตอกผลึกสูงขึ้น อัตราการเติบโตของผลึกเพิ่มขึ้น ทำให้เกิดการชนกันของผลึก

เร็วขึ้น บริเวณที่เกิดการชนกันจะหยุดเดินโടในขณะที่บริเวณที่ไม่เกิดการชนกันจะเดินโടต่อ ส่งผลให้การกระจายตัวของขนาดผลึกกว้างขึ้น แต่กรณีที่ตกผลึกในช่วงที่อุณหภูมิสูงมากๆ เช่น ช่วงอุณหภูมิ 80 ถึง 100 องศาเซลเซียส ในช่วงระหว่างการตกผลึกจะมีการกระจายตัวของขนาดผลึกแคบกว่าช่วงอุณหภูมิ 70 ถึง 90 องศาเซลเซียส เนื่องจากช่วงอุณหภูมิ 80 ถึง 100 องศาเซลเซียส เป็นช่วงที่ความหนาแน่นของนิวเคลียสและอัตราการเติบโตของผลึกต่ำ จึงทำให้ในช่วงแรกของการตกผลึกมีโอกาสเกิดการชนกันของผลึกน้อย การกระจายตัวของขนาดผลึกจึงค่อนข้างแคบและมีขนาดเล็กกว่า เมื่อเปรียบเทียบกับช่วงอุณหภูมิ 70 ถึง 90 องศาเซลเซียส ที่มีอัตราการเติบโตของผลึกสูงกว่า

การศึกษาผลกระทบของการตกผลึกภายในไส้สภาระที่มีเกรเดียนต์ของอุณหภูมิต่อการกระจายตัวของขนาดผลึกในช่วงระหว่างการตกผลึก ที่อุณหภูมิกึ่งกลางเท่ากับ 60, 70 และ 80 องศาเซลเซียส แสดงในภาพที่ 33, 34 และ 35 ตามลำดับ เมื่อพิจารณาที่เวลาเดียวกันพบว่าการกระจายตัวของขนาดผลึกจะกว้างขึ้นและขนาดผลึกส่วนใหญ่จะเล็กลงเมื่อเกรเดียนต์ของอุณหภูมิสูงขึ้น เนื่องจากเมื่อเกรเดียนต์ของอุณหภูมิสูงขึ้น ความหนาแน่นของนิวเคลียสมากขึ้น นิวเคลียสจะเกิดหนาแน่นบริเวณที่อุณหภูมิต่ำมากขึ้น ทำให้บริเวณที่อุณหภูมิต่ำเกิดการชนกันของผลึกเร็วขึ้น และชนกันได้มากขึ้น ผลึกส่วนใหญ่จึงมีขนาดเล็กลง

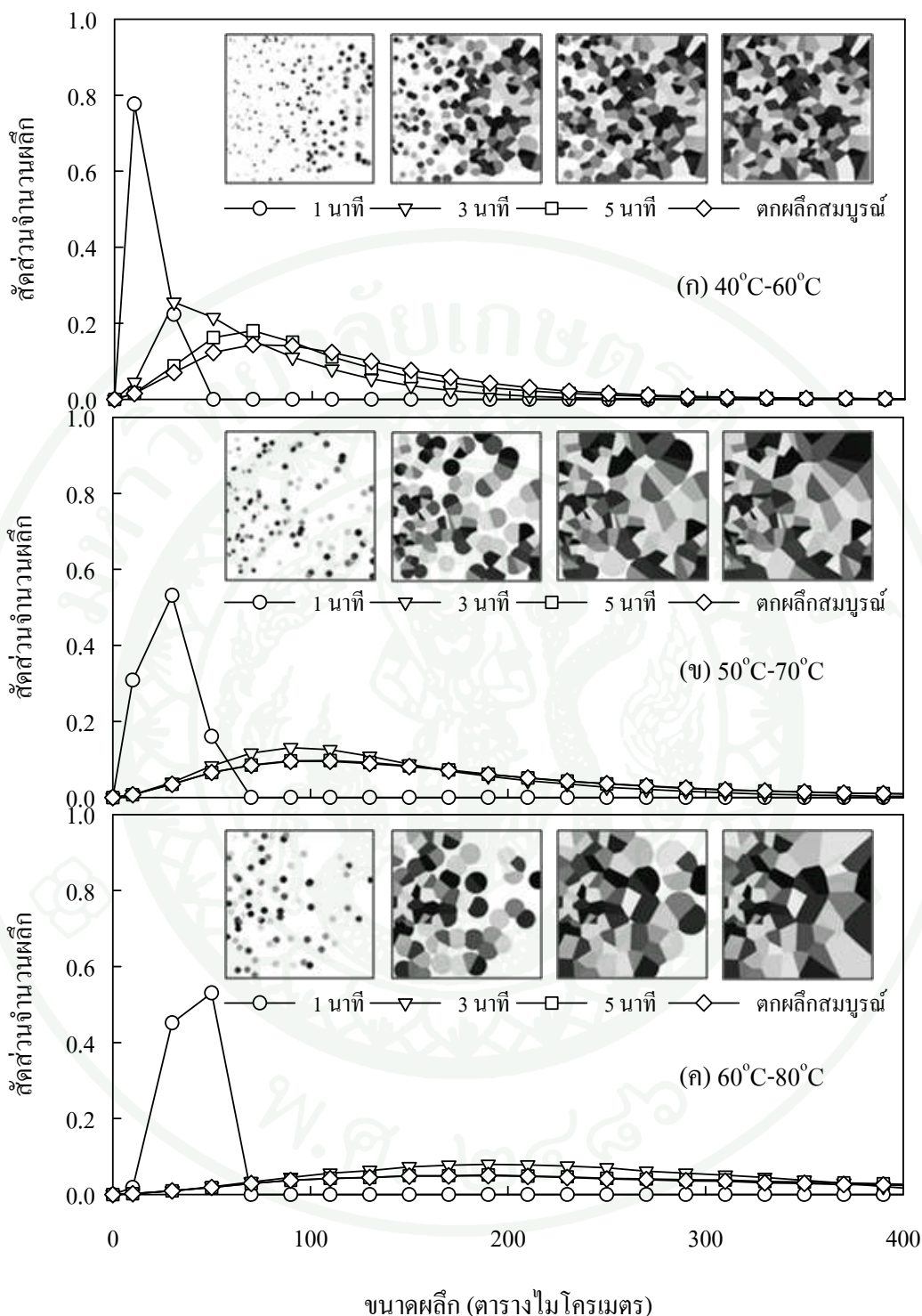
ในกรณีสังเกตได้ว่าการตกผลึกภายในไส้สภาระอุณหภูมิกึ่งที่จะมีการกระจายตัวของขนาดผลึกแคบมากและผลึกส่วนใหญ่จะมีขนาดใหญ่กว่าการตกผลึกภายในไส้สภาระที่มีเกรเดียนต์ของอุณหภูมิ เนื่องจากการตกผลึกภายในไส้สภาระอุณหภูมิกึ่งที่จะมีโอกาสที่จะเกิดนิวเคลียสเท่ากันทุกตำแหน่ง ทำให้นิวเคลียสส่วนใหญ่เกิดกระจายตัวอย่างสม่ำเสมอ นอก จากนี้ในกรณีที่อุณหภูมิกึ่งที่เป็นอุณหภูมิที่มีอัตราการเติบโตของผลึกสูงและมีความหนาแน่นของนิวเคลียสต่ำกว่าการตกผลึกภายในไส้สภาระที่มีเกรเดียนต์ของอุณหภูมิ โอกาสที่ผลึกจะชนกันจึงมีน้อยกว่าการตกผลึกภายในไส้สภาระที่มีเกรเดียนต์ของอุณหภูมิ จึงทำให้ผลึกส่วนใหญ่มีขนาดใกล้เคียงกันและมีขนาดใหญ่กว่าเมื่อเปรียบเทียบกับการตกผลึกภายในไส้สภาระที่มีเกรเดียนต์ของอุณหภูมิสูงๆ

อย่างไรก็ตามจากภาพที่ 33(จ), 34(ง) และ 35(จ) เป็นช่วงอุณหภูมิที่มีเกรเดียนต์ของอุณหภูมิสูงมากๆ เมื่อเปรียบเทียบกับช่วงอุณหภูมิที่มีเกรเดียนต์ของอุณหภูมิที่ต่ำกว่า จะพบว่าการกระจายตัวของขนาดผลึกแคบกว่า เนื่องจากนิวเคลียสส่วนใหญ่เกิดในบริเวณที่อุณหภูมิต่ำ ซึ่งมีอัตราการเติบโตของผลึกต่ำแต่มีความหนาแน่นของนิวเคลียสสูง จึงทำให้ในช่วงระหว่างการตก

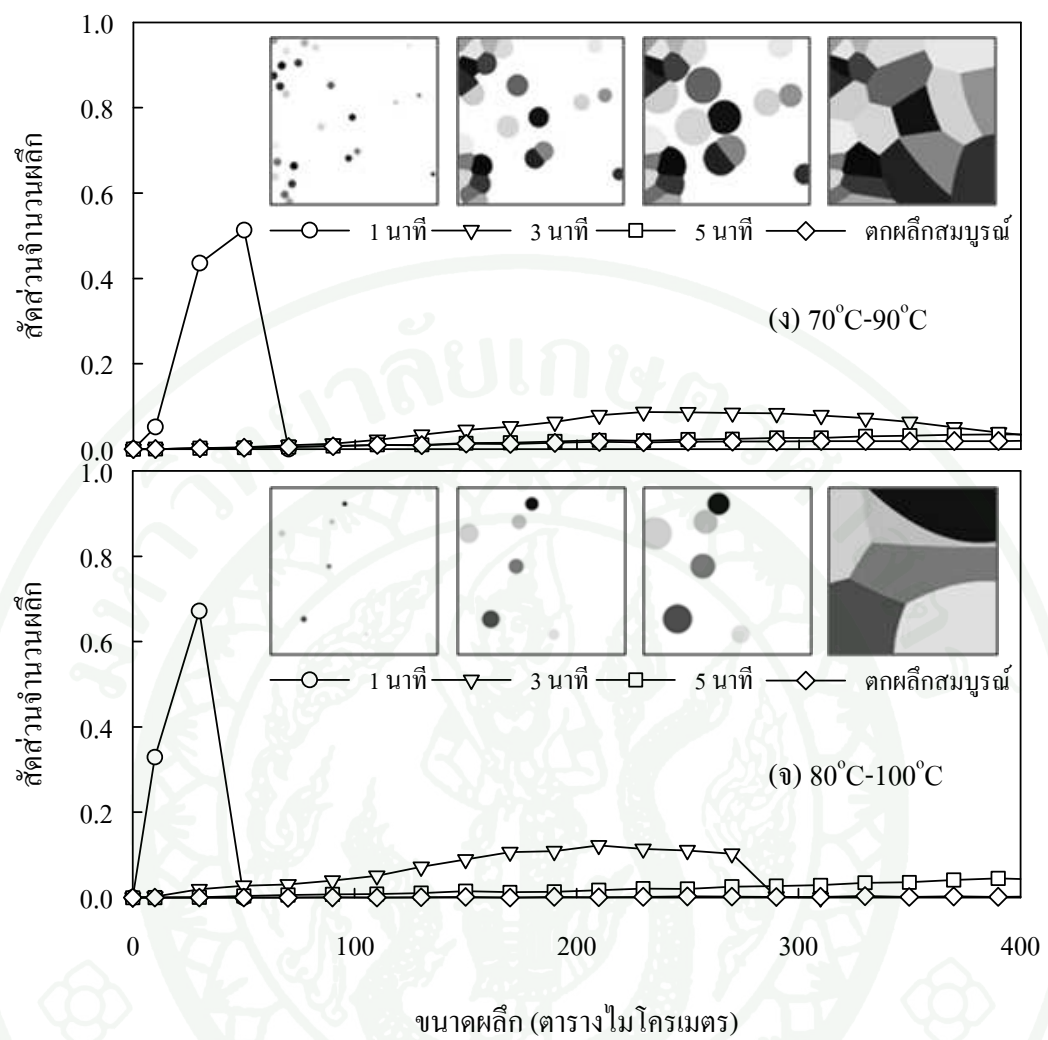
ผลึกส่วนใหญ่จะมีผลึกขนาดเล็กที่ใกล้เคียงกัน การกระจายตัวของขนาดผลึกจึงแอบกว่าเมื่อเปรียบเทียบกับช่วงอุณหภูมิที่มีการเดินต์ของอุณหภูมิที่ต่ำกว่า

การศึกษาผลกระทบของการตกผลึกภายในได้สภาวะที่มีการเดินต์ของอุณหภูมิที่กำหนดให้อุณหภูมิค้านซ้ายเท่ากับ 40 องศาเซลเซียส จากภาพที่ 36 เมื่อพิจารณาที่เวลาเดียวกันระหว่างการตกผลึก พบว่าเมื่อการเดินต์ของอุณหภูมิสูงขึ้นการกระจายตัวของขนาดผลึกจะกว้างขึ้นและผลึกส่วนใหญ่มีขนาดใหญ่ขึ้น เนื่องจากในกรณีนี้ความหนาแน่นของนิวเคลียสจะลดลงเมื่อการเดินต์ของอุณหภูมิเพิ่มขึ้น ทำให้ความหนาแน่นของนิวเคลียสริเวณที่อุณหภูมิสูงลดลง แต่ในระยะเวลาแรกๆ ที่ตกผลึกที่ช่วงอุณหภูมิ 40 ถึง 80 องศาเซลเซียส เป็นช่วงที่มีอัตราการเติบโตของผลึกสูง ทำให้ผลึกมีโอกาสชนกันได้เร็วขึ้น ผลึกส่วนใหญ่จึงมีขนาดใหญ่และมีการกระจายตัวของขนาดผลึกกว้างขึ้นใกล้เคียงกับที่ช่วงอุณหภูมิ 40 ถึง 100 องศาเซลเซียส ซึ่งมีความหนาแน่นของนิวเคลียสน้อยกว่า

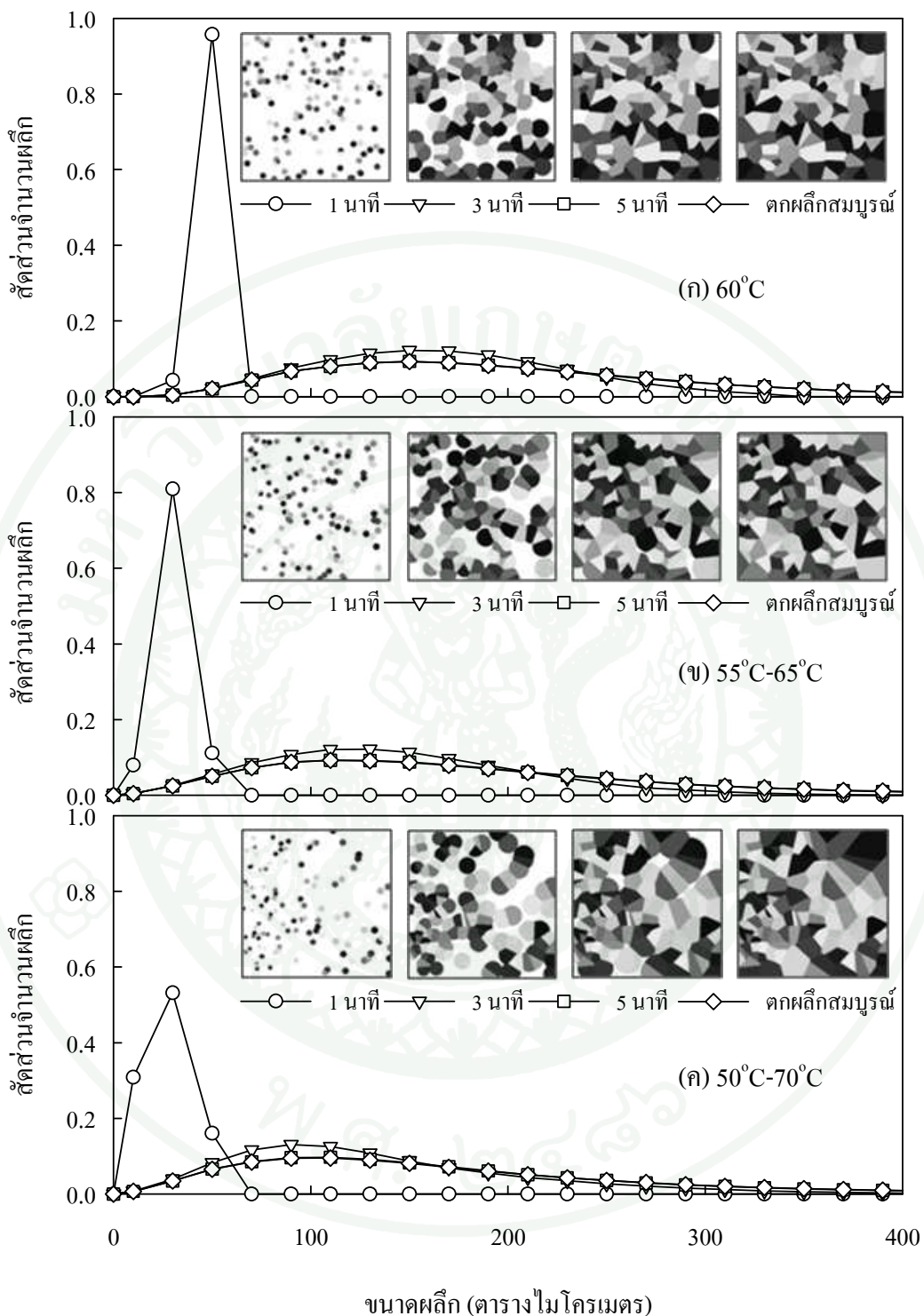
จึงสามารถสรุปได้ว่าการเดินต์ของอุณหภูมิส่งผลกระทบต่อการกระจายขนาดของผลึกในช่วงระหว่างที่ตกผลึก เมื่อพิจารณาที่เวลาเดียวกันในทุกๆ กรณีจะพบว่าการเดินต์ของอุณหภูมิทำให้การกระจายตัวของขนาดกว้างขึ้น ซึ่งต้องพิจารณาถึงตำแหน่งนิวเคลียส ความหนาแน่นของนิวเคลียส และอัตราการเติบโตของผลึกด้วย



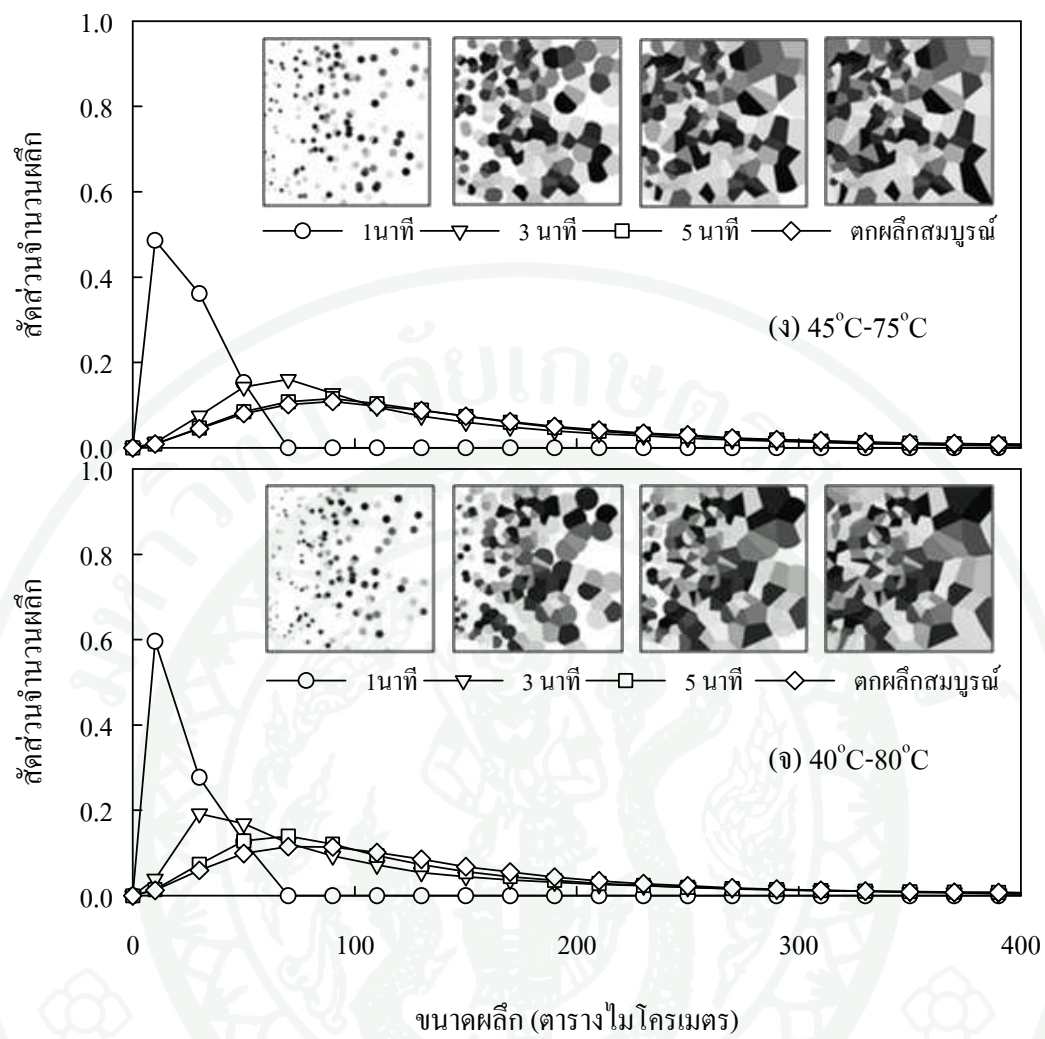
ภาพที่ 32 ผลกระทบจากการตอกผลึกภายใต้สภาวะที่มีเกรดเดียนต์ของอุณหภูมิที่ช่วงอุณหภูมิต่างๆ ด้วยการเกิดนิวเคลียสแบบวิธีพันธุ์ต่อการกระจายตัวของขนาดผลึกในช่วงระหว่างการตอกผลึก (ก) 40 ถึง 60 องศาเซลเซียส (ข) 50 ถึง 70 องศาเซลเซียส (ค) 60 ถึง 80 องศาเซลเซียส (ง) 70 ถึง 90 องศาเซลเซียส และ (จ) 80 ถึง 100 องศาเซลเซียส



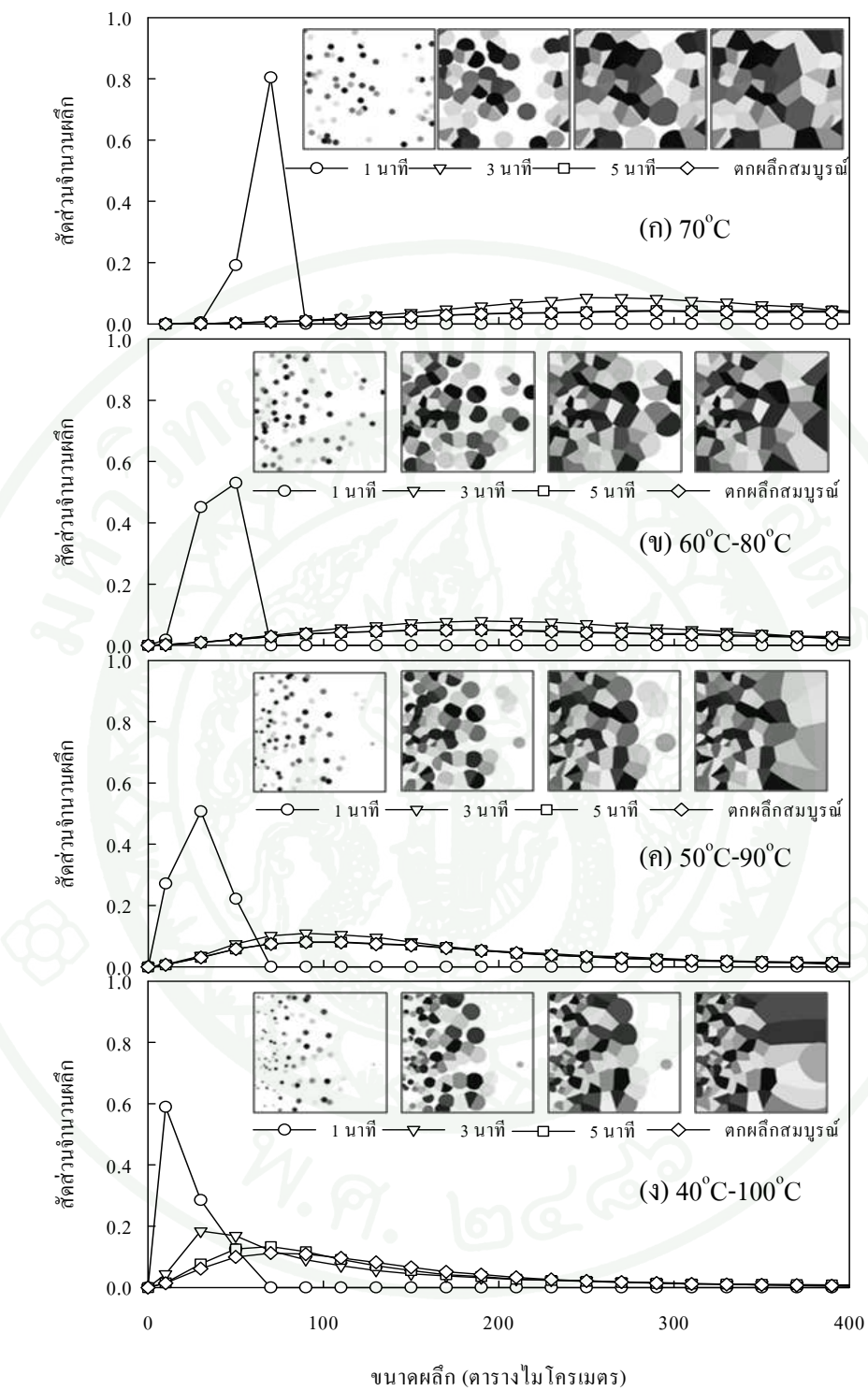
ภาพที่ 32 (ต่อ)



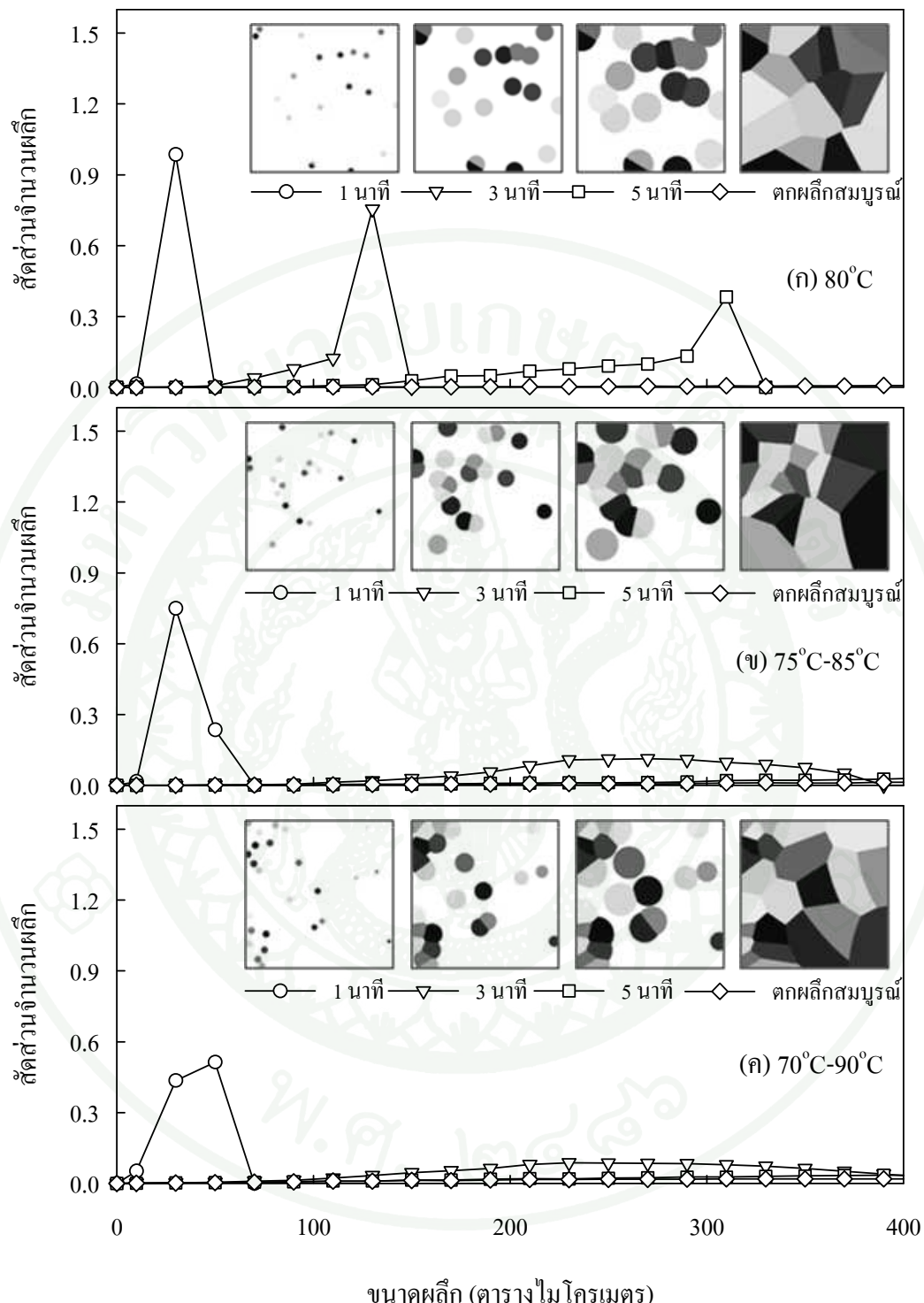
ภาพที่ 33 ผลกระทบจากการตกผลึกภายใต้สภาวะที่มีการเดินตื้องอุณหภูมิต่อการกระจายตัวของขนาดผลึกในช่วงระหว่างการตกผลึกที่อุณหภูมิกึ่งกลาง 60 องศาเซลเซียส (ก) 60 องศาเซลเซียส (ข) 55 ถึง 65 องศาเซลเซียส (ค) 50 ถึง 70 องศาเซลเซียส (ง) 45 ถึง 75 องศาเซลเซียส และ (จ) 40 ถึง 80 องศาเซลเซียส



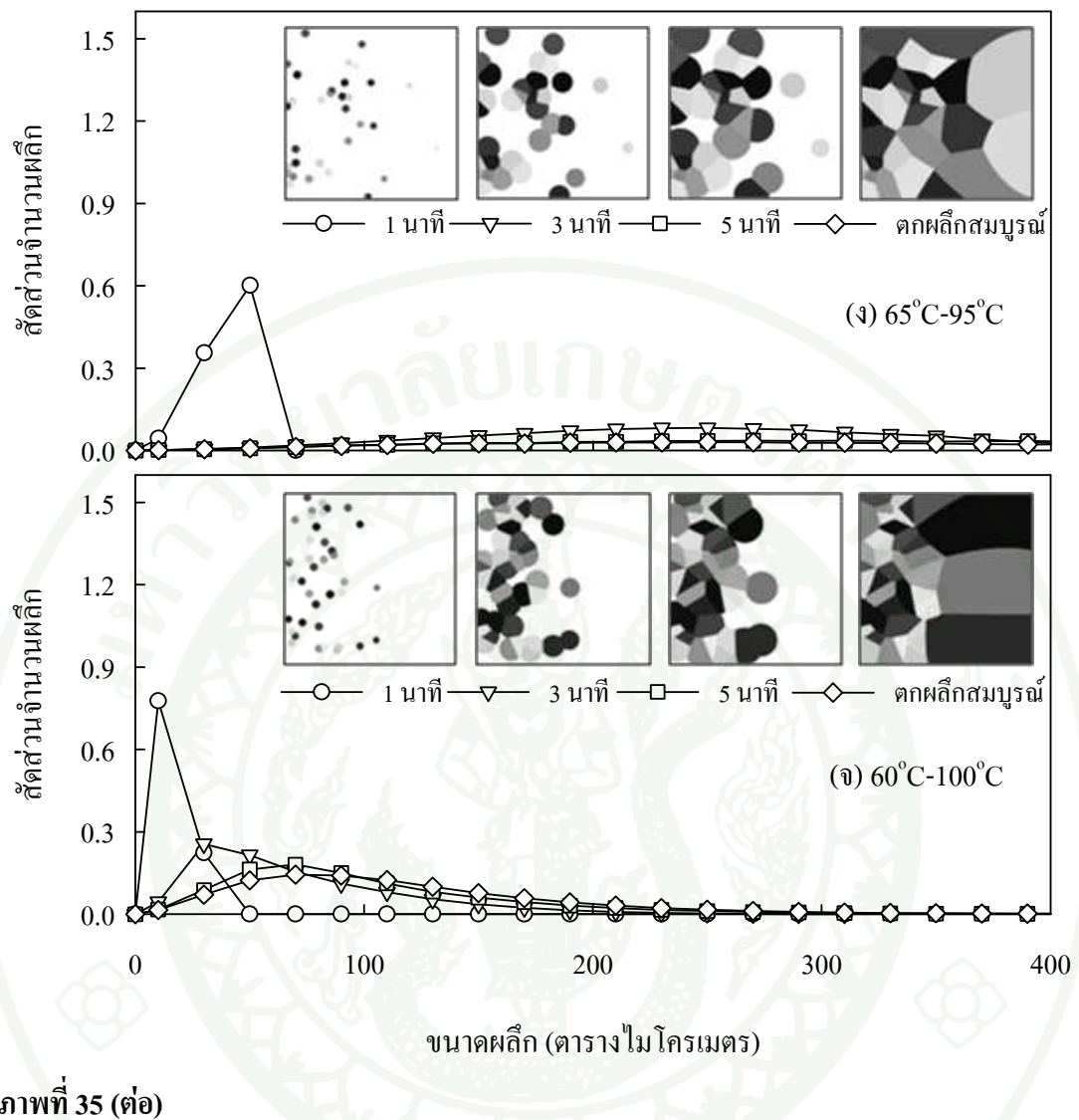
ภาพที่ 33 (ต่อ)

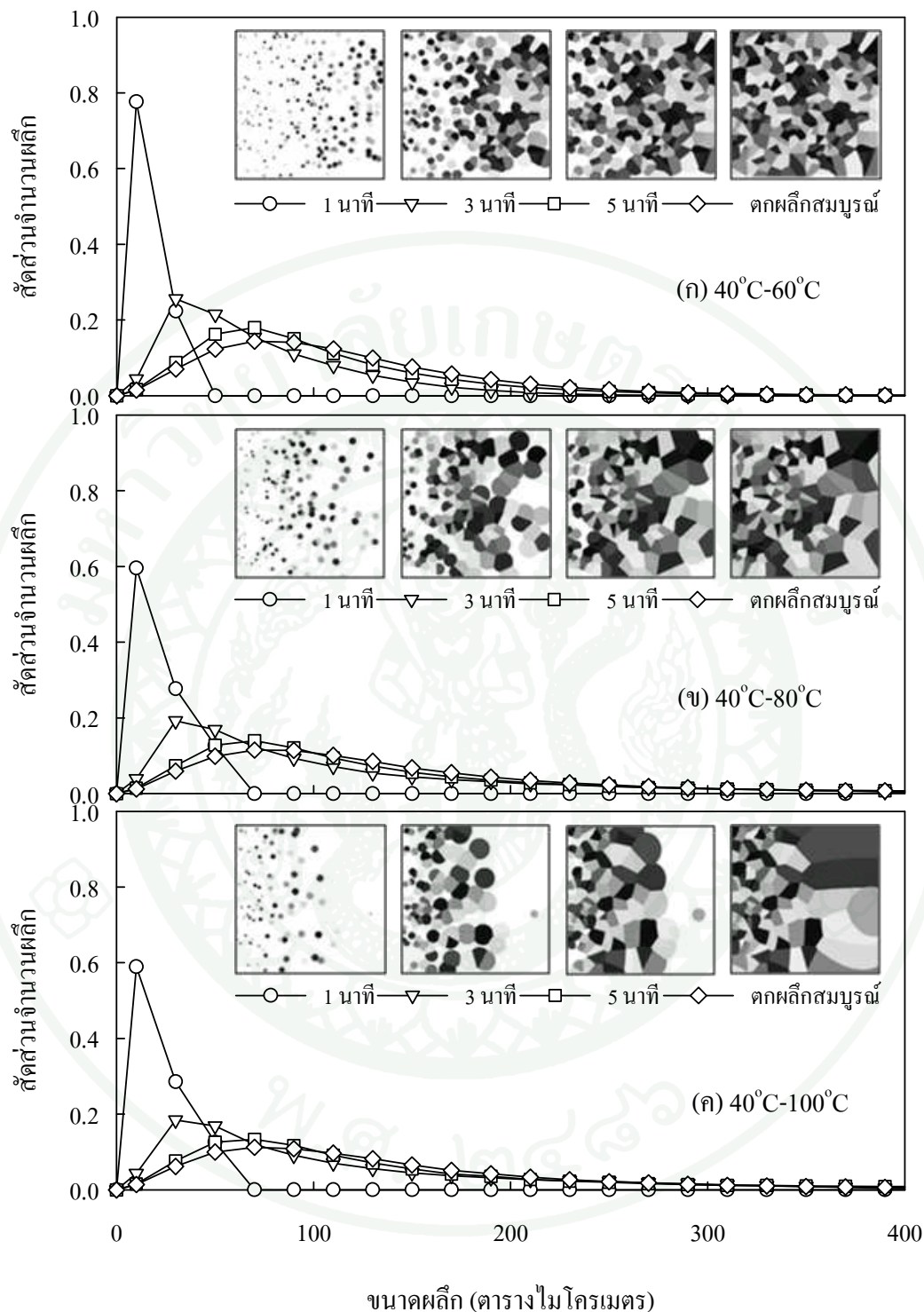


ภาพที่ 34 ผลการทดลองจากการทดสอบพลีกภายใต้สภาวะที่มีการเดินตัวของอุณหภูมิต่อการกระจายตัวของขนาดพลีกในช่วงระหว่างการทดสอบพลีกที่อุณหภูมิกึ่งกลาง 70 องศาเซลเซียส (ก) 70 องศาเซลเซียส (ข) 60 ถึง 80 องศาเซลเซียส (ค) 50 ถึง 90 องศาเซลเซียส และ (ง) 40 ถึง 10 องศาเซลเซียส



ภาพที่ 35 ผลการทบทวนการตกผลึกภายในช่วงระหว่างการตกผลึกที่อุณหภูมิคงกลาง 80 องศาเซลเซียส (ก) 80 องศาเซลเซียส (ข) 75 ถึง 85 องศาเซลเซียส (ค) 70 ถึง 90 องศาเซลเซียส (ง) 65 ถึง 95 องศาเซลเซียส และ (จ) 60 ถึง 100 องศาเซลเซียส





ภาพที่ 36 ผลกระทบจากการตกลักภายในสภาวะที่มีการเดินตัวของอุณหภูมิต่อการกระจายตัวของขนาดผลึกในช่วงระหว่างการตกลักที่อุณหภูมิด้านซ้ายเท่ากับ 40 องศาเซลเซียส (ก) 40 ถึง 60 องศาเซลเซียส (ข) 40 ถึง 80 องศาเซลเซียส และ (ค) 40 ถึง 100 องศาเซลเซียส

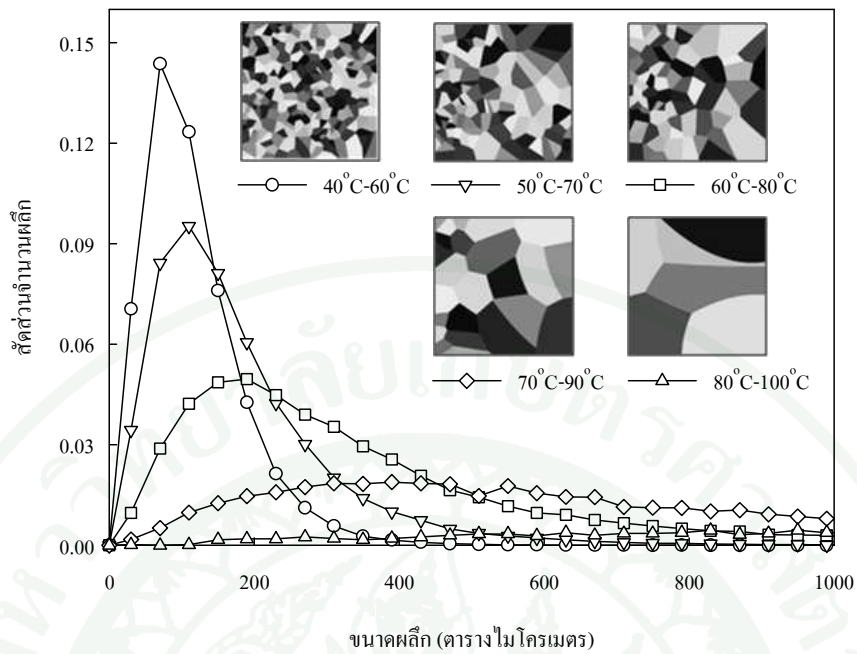
การศึกษาผลกระทบของการตอกผลึกภายในได้สภาวะที่มีเกรเดียนต์ของอุณหภูมิต่อสัมฐานวิทยาเมื่อตอกผลึกสมบูรณ์

การศึกษาผลกระทบจากการตอกผลึกภายในได้สภาวะที่มีเกรเดียนต์ของอุณหภูมิต่อการกระจายตัวของขนาดผลึกเมื่อตอกผลึกสมบูรณ์ที่ช่วงอุณหภูมิต่างๆ พิจารณาในภาพที่ 37 พบว่าเมื่อตอกผลึกในช่วงที่อุณหภูมิสูงขึ้น การกระจายตัวของขนาดผลึกเมื่อตอกผลึกสมบูรณ์จะกว้าง ผลึกมีขนาดแตกต่างกันมากขึ้น และขนาดผลึกส่วนใหญ่จะเพิ่มขึ้น เนื่องจากความหนาแน่นของนิวเคลียสจะลดลง เมื่อตอกผลึกในช่วงอุณหภูมิสูงขึ้น ซึ่งผลการจำลองที่ได้มีแนวโน้มในลักษณะเดียวกับกระจายตัวของขนาดผลึกเมื่อตอกผลึกสมบูรณ์ภายในได้สภาวะอุณหภูมิกังที่ของ Ketdee (2007)

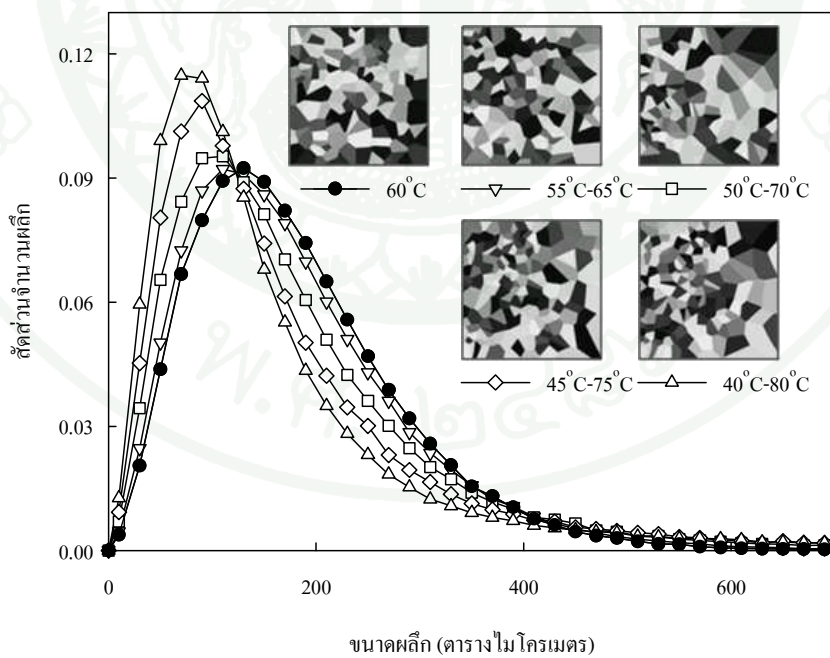
ในภาพที่ 38, 39 และ 40 แสดงถึงผลกระทบของการตอกผลึกภายในได้สภาวะที่มีเกรเดียนต์ของอุณหภูมิต่อการกระจายตัวของขนาดผลึกเมื่อตอกผลึกสมบูรณ์โดยกำหนดให้อุณหภูมิกึ่งกลางเท่ากับ 60, 70 และ 80 องศาเซลเซียส ตามลำดับ ซึ่งทั้งสามกรณีให้ผลการจำลองที่สอดคล้องกันคือเมื่อตอกผลึกภายในได้สภาวะที่มีเกรเดียนต์ของอุณหภูมิสูงขึ้น จะทำให้การกระจายตัวของขนาดผลึกเมื่อตอกผลึกสมบูรณ์แอบลง เนื่องจากเกรเดียนต์ของอุณหภูมิสูงขึ้นความหนาแน่นของนิวเคลียสเพิ่มขึ้นและนิวเคลียสส่วนใหญ่เกิดหนาแน่นบริเวณที่อุณหภูมิต่ำมากขึ้น ทำให้ในบริเวณนั้นผลึกเกิดการชนกันได้มากขึ้น ส่งผลให้ผลึกส่วนใหญ่มีขนาดเล็กใกล้เคียงกันมากขึ้น

การศึกษาผลกระทบของการตอกผลึกภายในได้สภาวะที่มีเกรเดียนต์ของอุณหภูมิต่อการกระจายตัวของขนาดผลึกเมื่อตอกผลึกสมบูรณ์โดยกำหนดให้อุณหภูมิที่ด้านซ้ายเท่ากับ 40 องศาเซลเซียส ดังแสดงในภาพที่ 41 ในกรณีนี้พบว่าเมื่อเกรเดียนต์ของอุณหภูมิสูงขึ้น การกระจายตัวของขนาดผลึกเมื่อตอกผลึกสมบูรณ์จะกว้างขึ้น แสดงว่าขนาดของผลึกมีความแตกต่างกันมากขึ้น และผลึกมีขนาดใหญ่ขึ้น เนื่องจากผลกระทบของความหนาแน่นของนิวเคลียสที่ลดลง และนิวเคลียสจะเกิดบริเวณที่อุณหภูมิสูงลดลง จึงทำให้ผลึกมีขนาดที่แตกต่างกันมากขึ้นเมื่อตอกผลึกภายในได้สภาวะที่มีเกรเดียนต์ของอุณหภูมิสูง

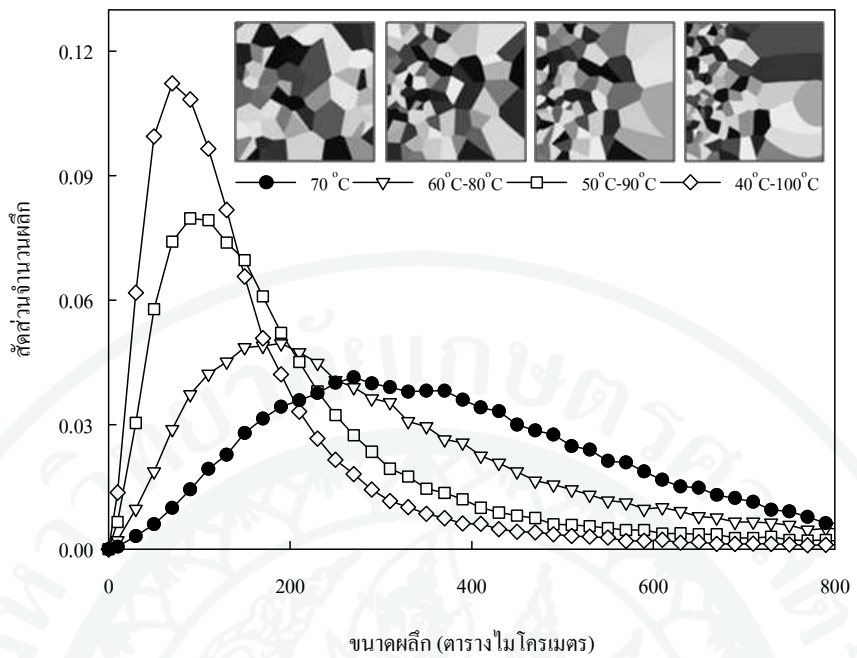
จึงสรุปได้ว่าการตอกผลึกภายในได้สภาวะที่มีเกรเดียนต์ของอุณหภูมิส่งผลต่อการกระจายตัวของขนาดผลึกเมื่อตอกผลึกสมบูรณ์ ซึ่งจะต้องพิจารณาถึงช่วงของอุณหภูมิที่ศึกษาเนื่องจากการเปลี่ยนแปลงของอุณหภูมิส่งผลกระทบต่อความหนาแน่นของนิวเคลียสและการกระจายตัวของตำแหน่งนิวเคลียส



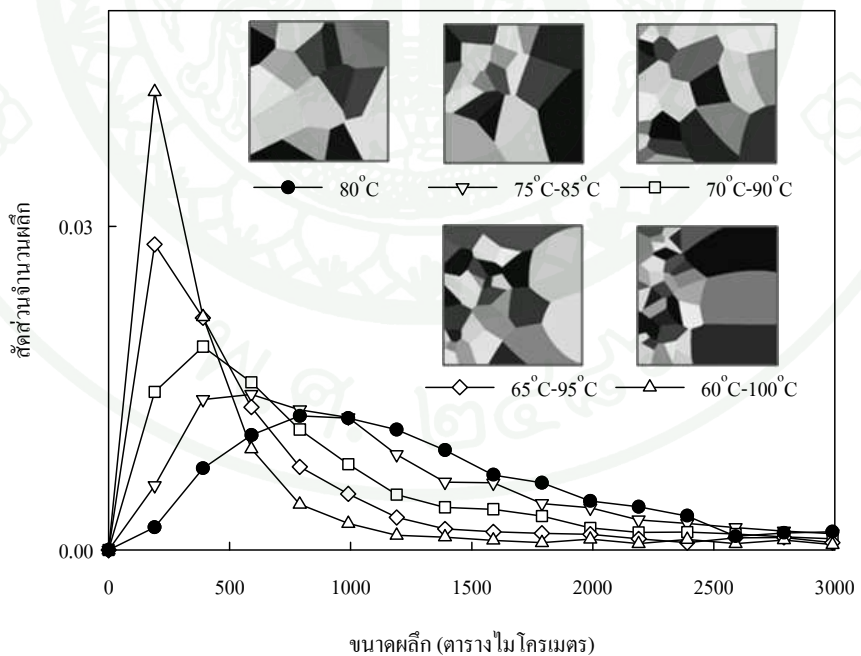
ภาพที่ 37 ผลกระทบจากการตกลดอุณหภูมิที่มีการเดินต์ของอุณหภูมิที่ช่วงอุณหภูมิต่างๆ ด้วยการเกิดนิวเคลียสแบบวิธีพันธุ์ต่อการกระจายตัวของขนาดคลีกเมื่อตกลดอุณหภูมิลง



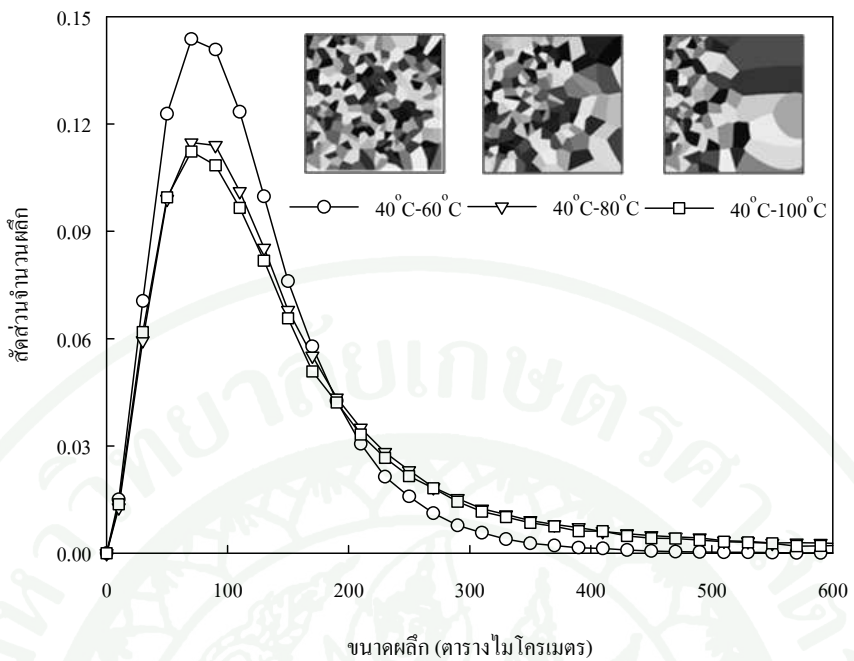
ภาพที่ 38 ผลกระทบจากการตกลดอุณหภูมิที่มีการเดินต์ของอุณหภูมิต่อการกระจายตัวของขนาดคลีกเมื่อตกลดอุณหภูมิลง 60 องศาเซลเซียส



ภาพที่ 39 ผลกระทบจากการตอกผลึกภายในไส้สภาวะที่มีการเดี่ยนต์ของอุณหภูมิต่อการกระจายตัวของขนาดผลึกเมื่อตอกผลึกสมบูรณ์ที่อุณหภูมิกึ่งกลาง 70 องศาเซลเซียส



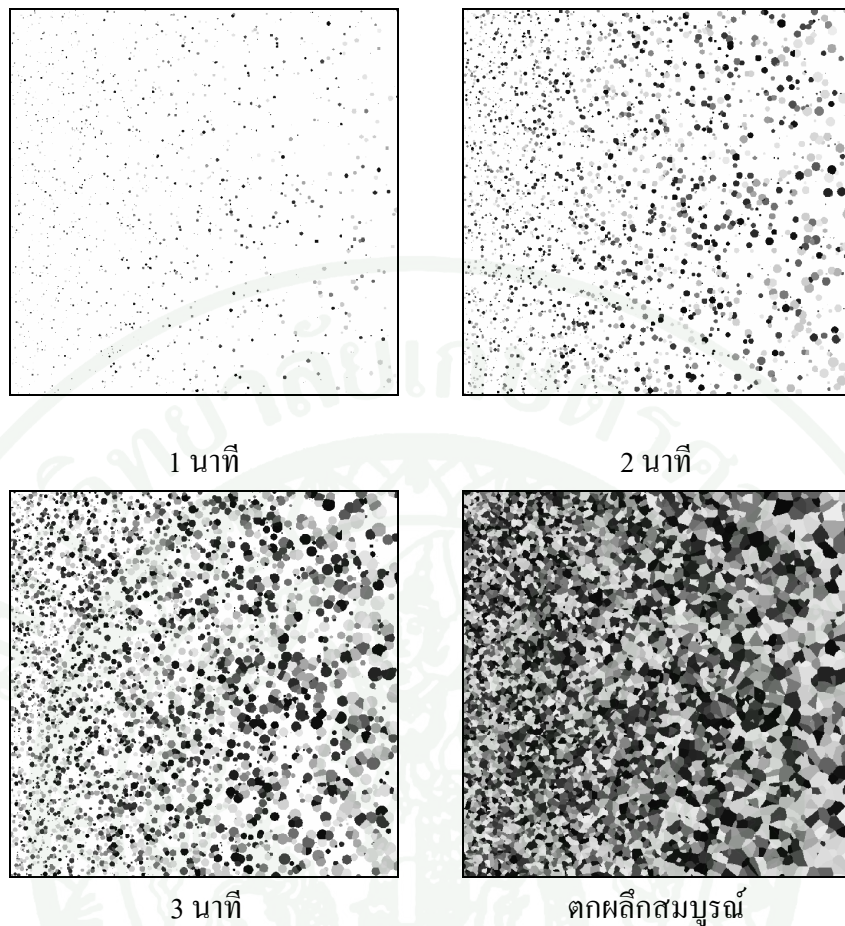
ภาพที่ 40 ผลกระทบจากการตอกผลึกภายในไส้สภาวะที่มีการเดี่ยนต์ของอุณหภูมิต่อการกระจายตัวของขนาดผลึกเมื่อตอกผลึกสมบูรณ์ที่อุณหภูมิกึ่งกลาง 80 องศาเซลเซียส



ภาพที่ 41 ผลกราฟทบทวนการตกลดภัยได้สภาวะที่มีเกรเดียนต์ของอุณหภูมิต่อการกระจายตัวของขนาดผลึกเมื่อตกลดภัยสมบูรณ์ที่อุณหภูมิค้านซ้าย 40 องศาเซลเซียส

การจำลองการตกลดภัยได้สภาวะที่มีเกรเดียนต์ของอุณหภูมิ ด้วยการเกิดนิวเคลียสแบบเอกพันธุ์

การศึกษาการจำลองการตกลดภัยได้สภาวะที่มีเกรเดียนต์ของอุณหภูมิด้วยการเกิดนิวเคลียสแบบเอกพันธุ์ในช่วงอุณหภูมิ 10 ถึง 40 องศาเซลเซียส โดยพิจารณาในพื้นที่ 800×800 พิกเซล กำหนดให้ 6 พิกเซล เท่ากับ 1 ไมโครเมตร และจำลองการตกลดภัย 10 ครั้งต่อหนึ่ง กรณีศึกษา โดยการรวมเป็นผลค่าเฉลี่ยที่มาจากการจำลองทั้ง 10 ครั้ง ด้วยการจำลองสัมฐานวิทยาในช่วงระหว่างการตกลดภัยได้สภาวะที่มีเกรเดียนต์ของอุณหภูมิที่ช่วงอุณหภูมิ 30 ถึง 40 องศาเซลเซียส ผลการจำลองของสัมฐานวิทยาในช่วงระหว่างการตกลดภัยในเชิงคุณภาพแสดงในภาพที่ 42 จะเห็นได้ว่าความหนาแน่นของนิวเคลียสจะค่อยๆ เพิ่มขึ้นตลอดเวลาการตกลดภัย โดยนิวเคลียสจะเกิดหนาแน่นบริเวณที่อุณหภูมิค่าซึ่งเป็นผลกราฟทบทวนเกรเดียนต์ของอุณหภูมิ ความสัมพันธ์ของอัตราการเติบโตของผลึก ค่าคงที่ของ Avrami และอัตราการเกิดนิวเคลียสแสดงดังในภาพที่ 14



ภาพที่ 42 ตัวอย่างการจำลองสัมฐานวิทยาในช่วงระหว่างการตกผลึกภายในตัวห้องอุณหภูมิในเชิงคุณภาพด้วยการเกิดนิวเคลียสแบบเอกพันธุ์ที่อุณหภูมิช่วง 30 ถึง 40 องศาเซลเซียส

การศึกษาผลกระทบของการตกผลึกภายในตัวห้องอุณหภูมิต่อจลนพลศาสตร์

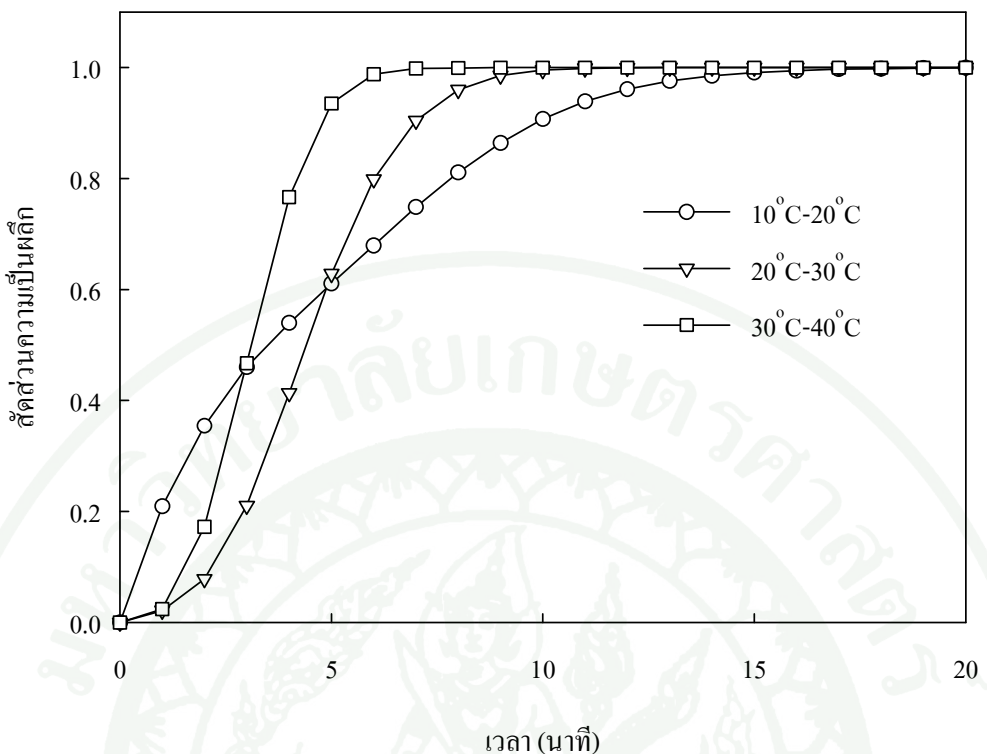
ผลกระทบของการตกผลึกภายในตัวห้องอุณหภูมิที่ช่วงอุณหภูมิต่างๆ ต่อจลนพลศาสตร์ของการตกผลึกแสดงดังภาพที่ 43 พบว่าเมื่อช่วงอุณหภูมิสูงขึ้นจะทำให้ตกผลึกเร็วขึ้น เนื่องจากเมื่อช่วงอุณหภูมิสูงขึ้นจะมีอัตราการเติบโตของผลึกมากขึ้น ถึงแม้ว่าจะมีอัตราการเกิดนิวเคลียสน้อยลง ซึ่งผลจากการจำลองสอดคล้องกับค่าเฉลี่ยของค่าคงที่อัตราการตกผลึกของ Avrami จะเพิ่มขึ้นตามช่วงอุณหภูมิแสดงดังตารางที่ 6 แสดงว่าค่าเฉลี่ยของค่าคงที่อัตราการตกผลึกของ Avrami สามารถนำมาใช้ชี้วัดอัตราการตกผลึกในกรณีได้ แต่จะเห็นว่าในช่วงแรกของการตกผลึกช่วงอุณหภูมิ 10 ถึง 20 องศาเซลเซียส มีความชันของสัดส่วนความเป็นผลึกสูง เนื่องจากในช่วง

อุณหภูมิต่ำๆ จะมีอัตราการเกิดนิวเคลียสสูงแต่มีอัตราการเติบโตของผลึกต่ำมาก จึงทำให้ความชันของสัดส่วนความเป็นผลิกลดลงในช่วงเวลาต่อมา

จากการศึกษาจนพบศาสตร์ของการตกผลึกภายในได้สภาวะที่มีเกรเดียนต์ของอุณหภูมิที่กำหนดให้อุณหภูมิกึ่งกลาง 25 องศาเซลเซียส ดังแสดงในภาพที่ 44 พบว่าในช่วงแรกของการตกผลึกเมื่อเกรเดียนต์ของอุณหภูมิสูงขึ้น ความชันของสัดส่วนความเป็นผลึกจะเพิ่มมากขึ้น ซึ่งสอดคล้องกับค่าเฉลี่ยของค่าคงที่อัตราการตกผลึกของ Avrami ที่เพิ่มขึ้นตามเกรเดียนต์ของอุณหภูมิ ดังแสดงในตารางที่ 7 ซึ่งเป็นผลมาจากการเกิดนิวเคลียสที่เพิ่มมากขึ้น เนื่องจากนิวเคลียสที่เกิดภายในได้สภาวะที่มีเกรเดียนต์ของอุณหภูมิสูงจะเกิดหนาแน่นในบริเวณที่อุณหภูมิต่ำ ซึ่งบริเวณนี้มีอัตราการเติบโตของผลึกต่ำมาก จึงทำให้ความชันของสัดส่วนความเป็นผลิกลดลงในช่วงหลังของการตกผลึก ซึ่งจะเห็นได้ว่าความชันของสัดส่วนความเป็นผลึกจะมีลักษณะใกล้เคียงกัน

อย่างไรก็ตามจากการศึกษาผลกระบวนการตกผลึกภายในกรณีที่กำหนดให้อุณหภูมิค่าน้ำชาเท่ากับ 10 องศาเซลเซียส และมีเกรเดียนต์ของอุณหภูมิออกไปทางด้านขวาดังแสดงในภาพที่ 45 พบว่าในช่วงแรกของการตกผลึก ความชันของสัดส่วนความเป็นผลึกจะลดลง เมื่อตกผลึกภายในได้สภาวะที่มีเกรเดียนต์ของอุณหภูมิสูงขึ้น เนื่องจากในกรณีนี้อัตราการเกิดนิวเคลียสจะสูงเมื่อตกผลึกภายในได้สภาวะที่มีเกรเดียนต์ของอุณหภูมิต่ำและเป็นช่วงอุณหภูมิที่มีอัตราการเติบโตของผลึกต่ำ จึงทำให้ความชันของสัดส่วนความเป็นผลิกลดลงในช่วงหลังของการตกผลึก ซึ่งผลของจนพบศาสตร์ของการตกผลึกที่เกิดขึ้นสอดคล้องกับค่าเฉลี่ยของค่าคงที่อัตราการตกผลึกของ Avrami ที่เพิ่มขึ้นตามเกรเดียนต์ของอุณหภูมิแสดงดังตารางที่ 8 แสดงว่าค่าเฉลี่ยของค่าคงที่อัตราการตกผลึกของ Avrami สามารถนำมาใช้ชี้วัดอัตราการตกผลึกในกรณีนี้ได้

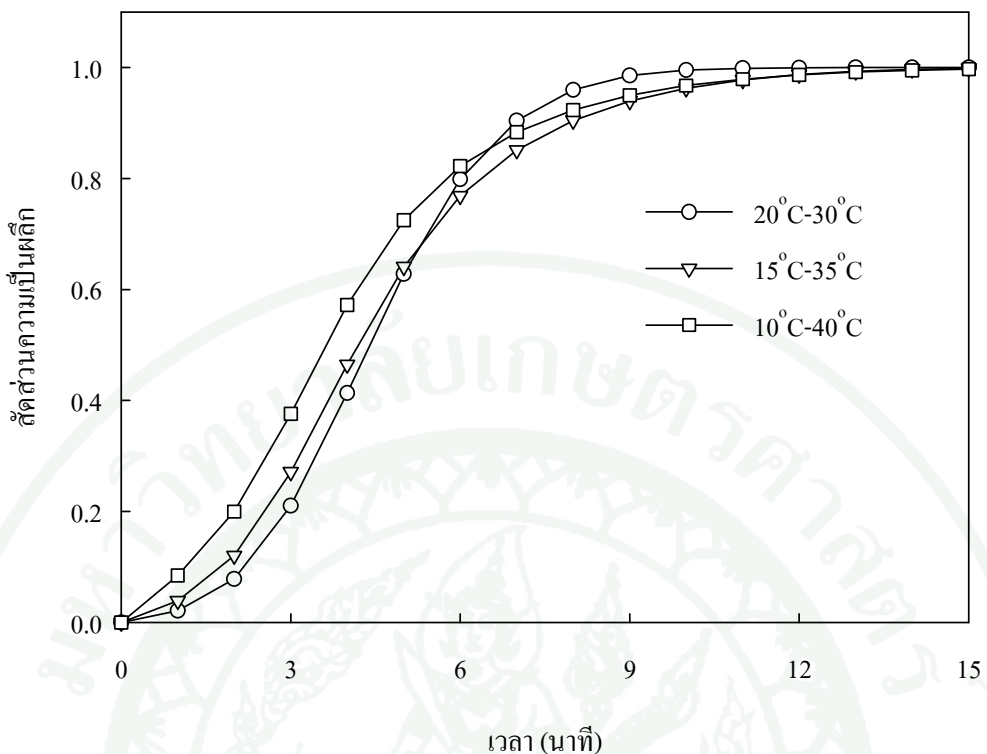
จึงสามารถสรุปได้ว่าเกรเดียนต์ของอุณหภูมิมีผลกระทบต่อจนพบศาสตร์ ซึ่งจะขึ้นกับช่วงอุณหภูมิที่ตกผลึก โดยจะต้องพิจารณาถึงอัตราการเกิดนิวเคลียส การกระจายตัวของตำแหน่งนิวเคลียสและอัตราการเติบโตของผลึก อย่างไรก็ตามในบางกรณีจะเห็นผลกระทบของเกรเดียนต์ของอุณหภูมน้อยมาก



ภาพที่ 43 ผลกระทบจากการตกผลึกภายในไส้สภาวะที่มีเกรดีเย็นต์ของอุณหภูมิที่ช่วงอุณหภูมิต่างๆ ด้วยการเกิดนิวเคลียสแบบเอกพันธุ์ต่อจลนพลศาสตร์ของการตกผลึก

ตารางที่ 6 ค่าเฉลี่ยของค่าคงที่อัตราการตกผลึกของ Avrami ภายใต้สภาวะที่มีเกรดีเย็นต์ของ อุณหภูมิด้วยการเกิดนิวเคลียสแบบเอกพันธุ์ที่ช่วงอุณหภูมิต่างๆ

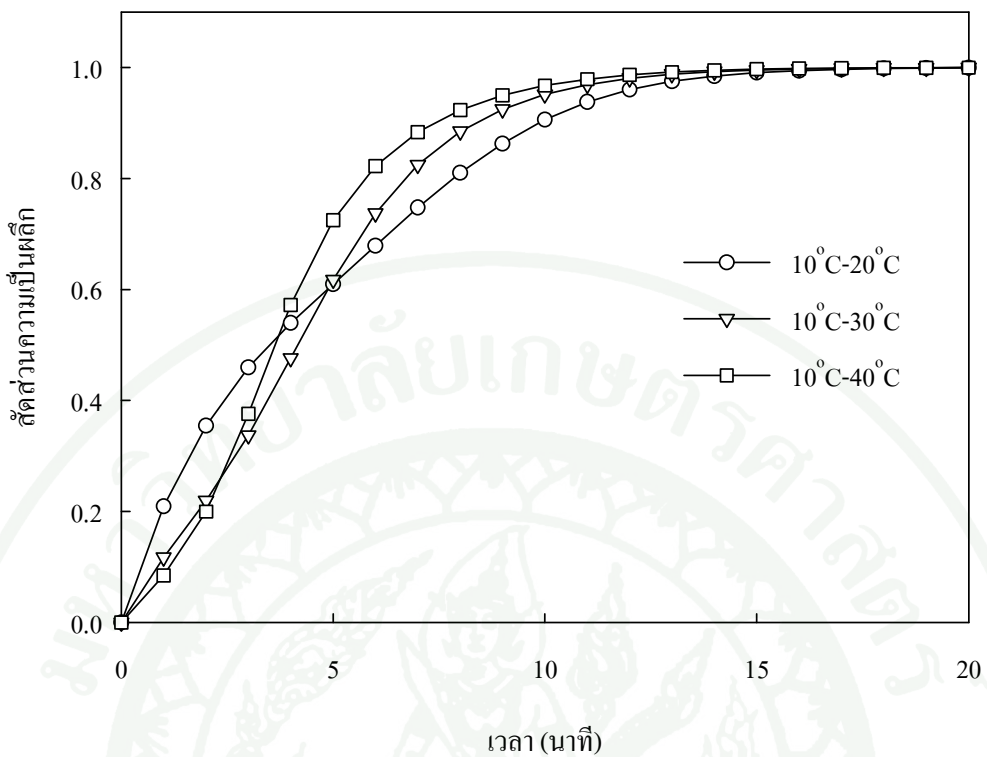
อุณหภูมิที่ตกผลึก	ค่าเฉลี่ยของค่าคงที่อัตราการตกผลึกของ Avrami (นาที ⁻³)
10°C-20°C	1.218×10^{-3}
20°C-30°C	8.578×10^{-3}
30°C-40°C	2.350×10^{-2}



ภาพที่ 44 ผลกระทบจากการตอกผลึกภายในไส้สภาวะที่มีเกรดีเย็นต์ของอุณหภูมิต่อจำนวนผลิตภัณฑ์ของ การตอกผลึกที่อุณหภูมิกึ่งกลาง 25 องศาเซลเซียส

ตารางที่ 7 ค่าเฉลี่ยของค่าคงที่อัตราการตอกผลึกของ Avrami ภายในไส้สภาวะที่มีเกรดีเย็นต์ของ อุณหภูมิด้วยการเกิดนิวเคลียสแบบเอกพันธุ์ที่อุณหภูมิกึ่งกลาง 25 องศาเซลเซียส

อุณหภูมิที่ตอกผลึก	ค่าเฉลี่ยของค่าคงที่อัตราการตอกผลึกของ Avrami (นาที ⁻³)
20°C-30°C	8.578×10^{-3}
15°C-35°C	9.726×10^{-3}
10°C-40°C	1.111×10^{-2}



ภาพที่ 45 ผลกระทบจากการตากผลึกภายใต้สภาวะที่มีการเดินตัวของอุณหภูมิต่อจลนพลาสต์ของ การตากผลึกที่อุณหภูมิด้านซ้าย 10 องศาเซลเซียส

ตารางที่ 8 ค่าเฉลี่ยของค่าคงที่อัตราการตากผลึกของ Avrami ภายใต้สภาวะที่มีการเดินตัวของ อุณหภูมิด้วยการเกิดนิวเคลียสแบบเอกพันธุ์ที่อุณหภูมิด้านซ้าย 10 องศาเซลเซียส

อุณหภูมิที่ตากผลึก	ค่าเฉลี่ยของค่าคงที่อัตราการตากผลึกของ Avrami (นาที ⁻³)
10°C-20°C	1.218×10^{-3}
10°C-30°C	4.901×10^{-3}
10°C-40°C	1.111×10^{-2}

การศึกษาผลกระทบของการตอกผลึกภายในช่วงระหว่างการตอกผลึก

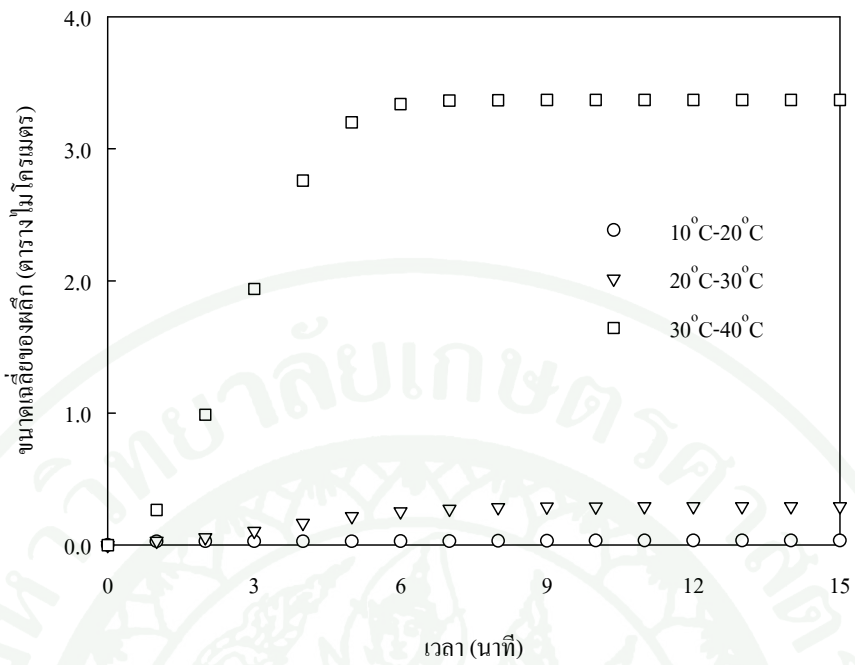
สำหรับกรณีที่นิวเคลียสเกิดแบบเอกสารพันธุ์นี้จะมีนิวเคลียสเกิดขึ้นตลอดเวลา โดยพิจารณาในช่วงที่อุณหภูมิต่ำ 10 ถึง 40 องศาเซลเซียส ซึ่งเป็นช่วงที่มีอัตราการเกิดนิวเคลียสสูง และมีอัตราการเติบโตของผลึกต่ำ

ขนาดเฉลี่ยของผลึกในช่วงระหว่างการตอกผลึก

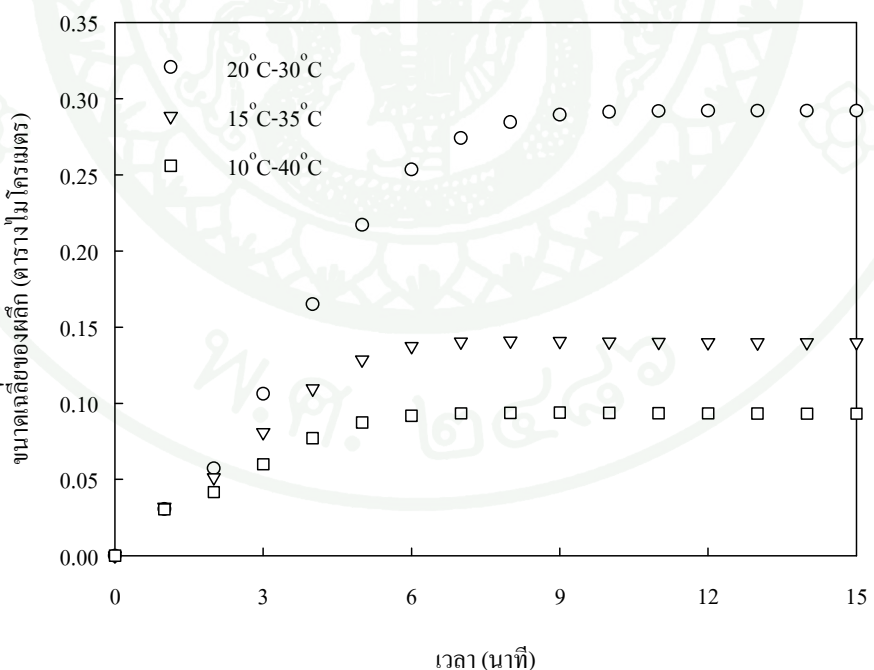
สำหรับกรณีที่นิวเคลียสเกิดแบบเอกสารพันธุ์นี้จะมีนิวเคลียสเกิดขึ้นตลอดเวลา ทำให้ผลึกส่วนใหญ่จะมีขนาดเล็ก จากการการศึกษาผลกระทบของช่วงอุณหภูมิที่ตอกผลึกต่อขนาดเฉลี่ยของผลึกพบว่าเมื่อตอกผลึกในช่วงที่อุณหภูมิต่ำ ขนาดเฉลี่ยของผลึกจะมีขนาดเล็ก เนื่องจากที่ช่วงอุณหภูมิต่ำ มีอัตราการเกิดนิวเคลียสสูง ทำให้นิวเคลียสเกิดขึ้นหนาแน่นมากแต่มีอัตราการเติบโตของผลึกต่ำ เมื่อพิจารณาในช่วงที่อุณหภูมิสูงขึ้นจะพบว่าความหนาแน่นของนิวเคลียสที่เกิดขึ้นน้อยกว่าและมีอัตราการเติบโตของผลึกสูงกว่า จึงทำให้เมื่อตอกผลึกในช่วงที่อุณหภูมิสูงขึ้น ขนาดเฉลี่ยของผลึกในช่วงระหว่างการตอกผลึกจะใหญ่ขึ้นแสดงดังภาพที่ 46

นอกจากนี้การศึกษาผลกระทบของการตอกผลึกภายในกรณีที่กำหนดให้อุณหภูมิกึ่งกลางเท่ากับ 25 องศาเซลเซียส แสดงในภาพที่ 47 พบว่าขนาดเฉลี่ยของผลึกจะลดลงเมื่อการเติบโตของอุณหภูมิเพิ่มขึ้น เนื่องจากเมื่อการเติบโตของอุณหภูมิสูงอัตราการเกิดนิวเคลียสจะเพิ่มขึ้นและนิวเคลียสที่ส่วนใหญ่จะเกิดหนาแน่นในบริเวณที่อุณหภูมิต่ำ ขณะนั้นสำหรับกรณีนี้ยังการเติบโตของอุณหภูมิสูงยังทำให้ขนาดเฉลี่ยของผลึกในช่วงระหว่างการตอกผลึกมีขนาดเล็กลง

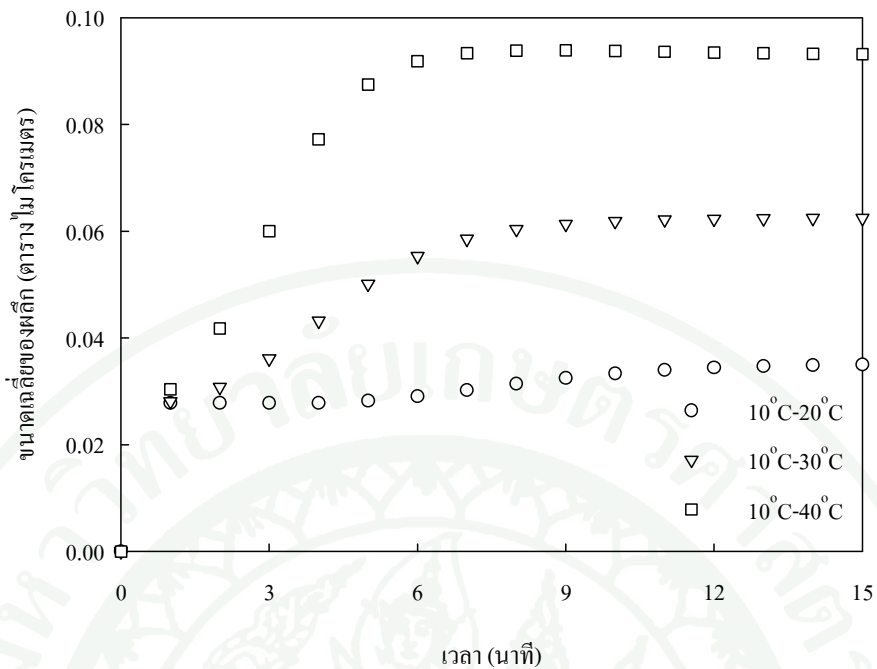
แต่สำหรับการตอกผลึกภายในช่วงระหว่างการตอกผลึกในกรณีที่กำหนดให้อุณหภูมิค้านซ้ายเท่ากับ 10 องศาเซลเซียส พบว่าเมื่อการเติบโตของอุณหภูมิเพิ่มขึ้นส่งผลให้ขนาดเฉลี่ยของผลึกใหญ่ขึ้น ดังแสดงในภาพที่ 48 เนื่องจากในกรณีนี้เมื่อการเติบโตของอุณหภูมิสูงขึ้นอัตราการเกิดนิวเคลียสจะลดลงแต่มีอัตราการเติบโตของผลึกมากขึ้น จึงทำให้ขนาดเฉลี่ยของผลึกมีขนาดใหญ่ขึ้น



ภาพที่ 46 ผลกระทบจากการตกผลึกภายในสภาวะที่มีการเดินตัวของอุณหภูมิที่ช่วงอุณหภูมิต่าง ๆ ด้วยการเกิดนิวเคลียสแบบเอกพันธุ์ต่อขนาดเนื้ือยของผลึกในช่วงระหว่างการตกผลึก



ภาพที่ 47 ผลกระทบจากการตกผลึกภายในสภาวะที่มีการเดินตัวของอุณหภูมิต่อขนาดเนื้ือยของผลึกในช่วงระหว่างการตกผลึกที่อุณหภูมิกึ่งกลาง 25 องศาเซลเซียส



ภาพที่ 48 ผลกระทบจากการตกผลึกภายในช่วงระหว่างอุณหภูมิต่อขนาดเนื้ือข่องผลึกในช่วงระหว่างการตกผลึกที่อุณหภูมิค้านซ้าย 10 องศาเซลเซียส

การกระจายตัวของขนาดผลึกในช่วงระหว่างการตกผลึก

สำหรับกรณีที่มีการเกิดนิวเคลียสแบบเอกพันธุ์จะมีนิวเคลียสเกิดขึ้นในช่วงระหว่างการตกผลึก ในช่วงเวลาเริ่มต้นของการตกผลึกส่วนใหญ่ผลึกจะมีขนาดเล็กมากและการกระจายตัวของขนาดผลึกแคบ เมื่อเวลาเพิ่มขึ้นผลึกมีขนาดใหญ่ขึ้นจะเกิดการชนกันของผลึกทำให้การกระจายตัวของขนาดผลึกจะกว้างขึ้น ซึ่งมีลักษณะที่สอดคล้องกับกรณีที่มีการเกิดนิวเคลียสแบบวิธีพันธุ์ ซึ่งสัดส่วนจำนวนผลึก ณ เวลาใดเวลาหนึ่งคำนวณจากจำนวนของผลึกในแต่ละช่วงของขนาดผลึกที่พิจารณาคิดต่อจำนวนนิวเคลียสทั้งหมดที่เกิดขึ้น ณ เวลานั้น

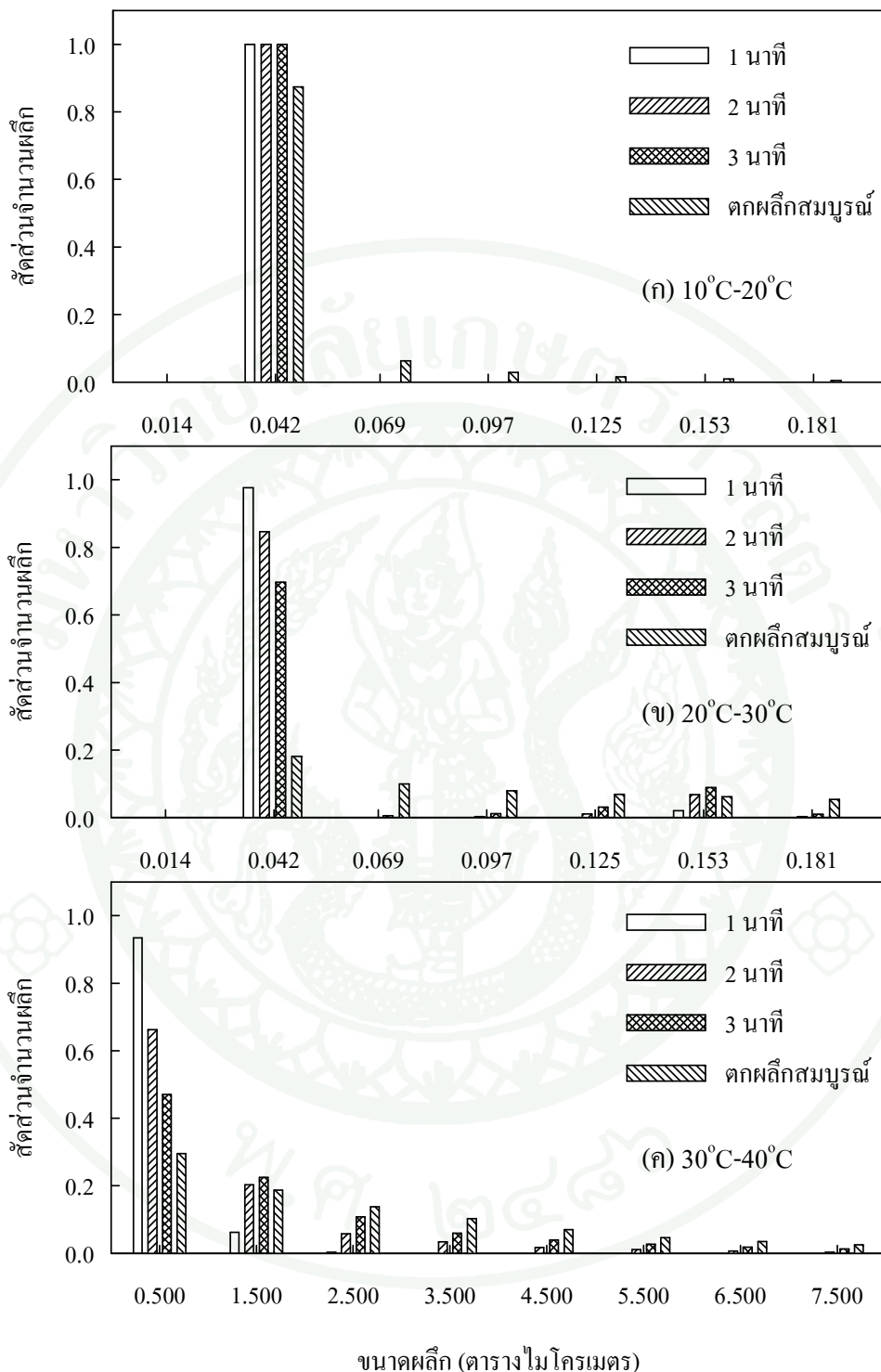
ผลกระทบของการตกผลึกภายในช่วงระหว่างการตกผลึกที่ช่วงอุณหภูมิต่างๆ ด้วยการเกิดนิวเคลียสแบบเอกพันธุ์แสดงในภาพที่ 49 เมื่อพิจารณาที่เวลาเดียวกันจะพบว่าที่ช่วงอุณหภูมิต่ำ 10 ถึง 20 องศาเซลเซียส มีการกระจายตัวของขนาดผลึกแคบ ส่วนใหญ่ผลึกมีขนาดเล็ก ซึ่งแตกต่างจากช่วงอุณหภูมิสูง 30 ถึง 40 องศาเซลเซียส อย่างชัดเจนเนื่องจากที่ช่วงอุณหภูมิต่ำมีอัตราการเกิดนิวเคลียสสูงมากและมีอัตราการเดินไตของผลึกที่ต่ำ ทำให้เกิดนิวเคลียสหนาแน่นมากที่อุณหภูมิต่ำผลึกจึงมีโอกาสชนกันได้

มากขึ้น จะทำให้ผลลัพธ์ส่วนใหญ่มีขนาดเล็กมากๆ แต่ก็ต่างจากช่วงอุณหภูมิสูงซึ่งมีอัตราการเกิดนิวเคลียสตัวและมีอัตราการเติบโตของผลลัพธ์สูง ทำให้ผลลัพธ์นั้นได้รีวิวขึ้นการกระจายตัวของขนาดผลลัพธ์จึงกว้างขึ้น

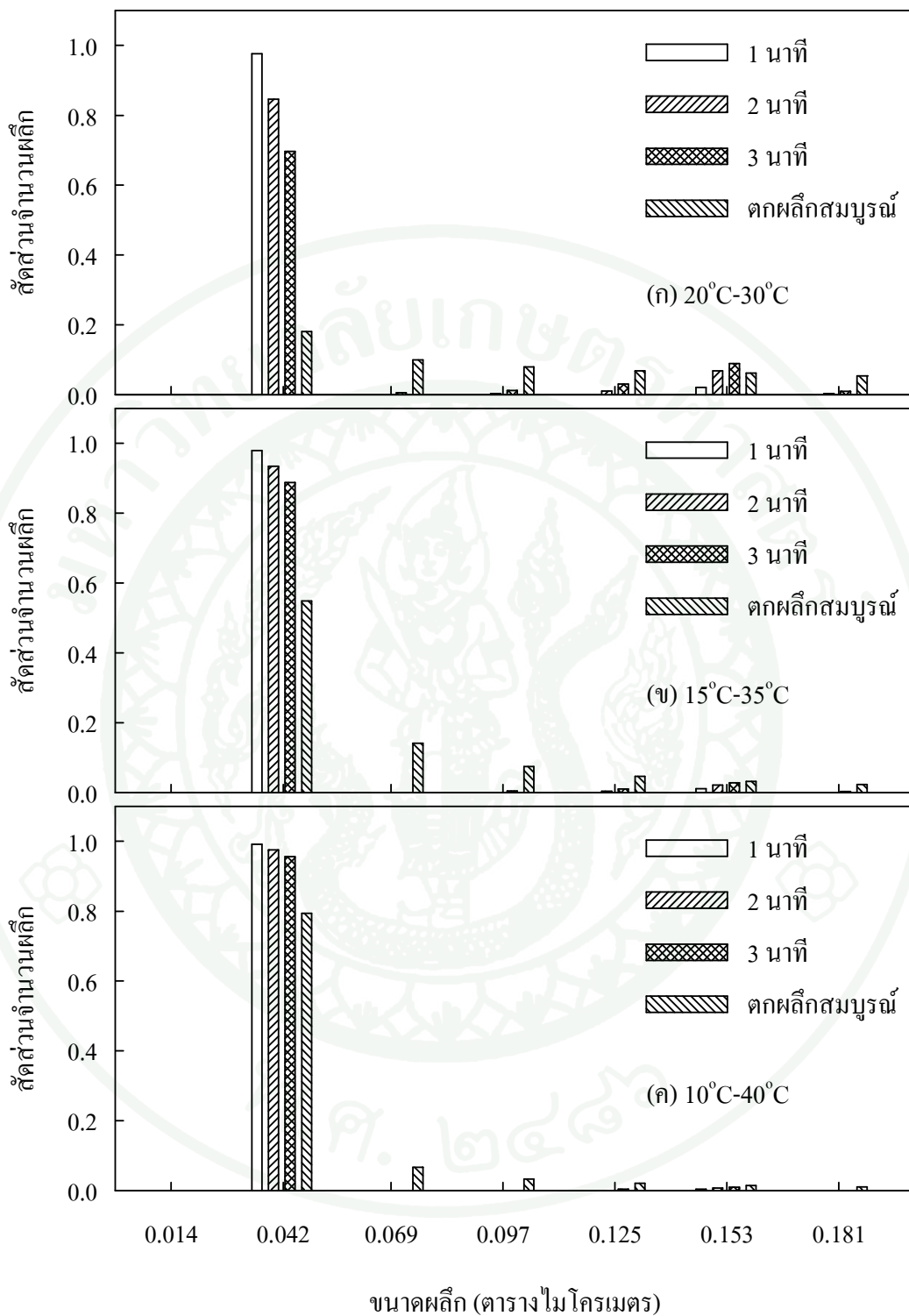
การศึกษาผลกระบวนการตกลผลลัพธ์ให้สภาวะที่มีการเดินตัวของอุณหภูมิต่อการกระจายตัวของขนาดผลลัพธ์ในช่วงระหว่างการตกลผลลัพธ์ ที่อุณหภูมิกึ่งกลางเท่ากับ 25 องศาเซลเซียส แสดงในภาพที่ 50 พบว่าที่เวลาเดียวกันในระหว่างการตกลผลลัพธ์ เมื่อการเดินตัวของอุณหภูมิเพิ่มขึ้น การกระจายตัวของขนาดผลลัพธ์จะแอบลงผลลัพธ์ส่วนใหญ่จะมีขนาดเล็กลง เนื่องจากในกรณีนี้เมื่อการเดินตัวของอุณหภูมิเพิ่มขึ้นอัตราการเกิดนิวเคลียสจะเพิ่มขึ้น โดยนิวเคลียสจะเกิดหนาแน่นมากขึ้นในบริเวณที่อุณหภูมิต่ำ ทำให้ในบริเวณนั้นมีโอกาสเกิดการชนของผลลัพธ์สูง ผลลัพธ์ส่วนใหญ่จึงมีขนาดเล็กใกล้เคียงกัน

อย่างไรก็ตามผลกระบวนการตกลผลลัพธ์ให้สภาวะที่มีการเดินตัวของอุณหภูมิต่อการกระจายตัวของขนาดผลลัพธ์ในช่วงระหว่างการตกลผลลัพธ์ ที่อุณหภูมิด้านซ้ายเท่ากับ 10 องศาเซลเซียส ดังแสดงในภาพที่ 51 เมื่อพิจารณาที่เวลาเดียวกันพบว่าเมื่อการเดินตัวของอุณหภูมิเพิ่มขึ้นการกระจายตัวของขนาดผลลัพธ์จะกว้างขึ้นและผลลัพธ์ส่วนใหญ่จะมีขนาดใหญ่ขึ้น เนื่องจากในกรณีนี้ที่การเดินตัวของอุณหภูมิต่ำเป็นช่วงที่อุณหภูมิต่ำ ซึ่งมีอัตราการเกิดนิวเคลียสสูงมากแต่มีอัตราการเติบโตของผลลัพธ์ต่ำมาก ทำให้ผลลัพธ์มีโอกาสชนกันได้มากขึ้นผลลัพธ์ส่วนใหญ่จึงมีขนาดเล็กมาก เมื่อการเดินตัวของอุณหภูมิเพิ่มขึ้นอัตราการเกิดนิวเคลียสลดลงและอัตราการเติบโตของผลลัพธ์มากขึ้น จึงทำให้ผลลัพธ์ส่วนใหญ่มีขนาดใหญ่ขึ้น แต่เนื่องจากจำนวนนิวเคลียสที่เกิดขึ้นหนาแน่นมากในบริเวณที่อุณหภูมิต่ำซึ่งเป็นบริเวณที่มีอัตราการเติบโตของผลลัพธ์ต่ำ ทำให้ในช่วงแรกๆ ของการตกลผลลัพธ์ส่วนใหญ่มีขนาดผลลัพธ์ที่ใกล้เคียงกัน

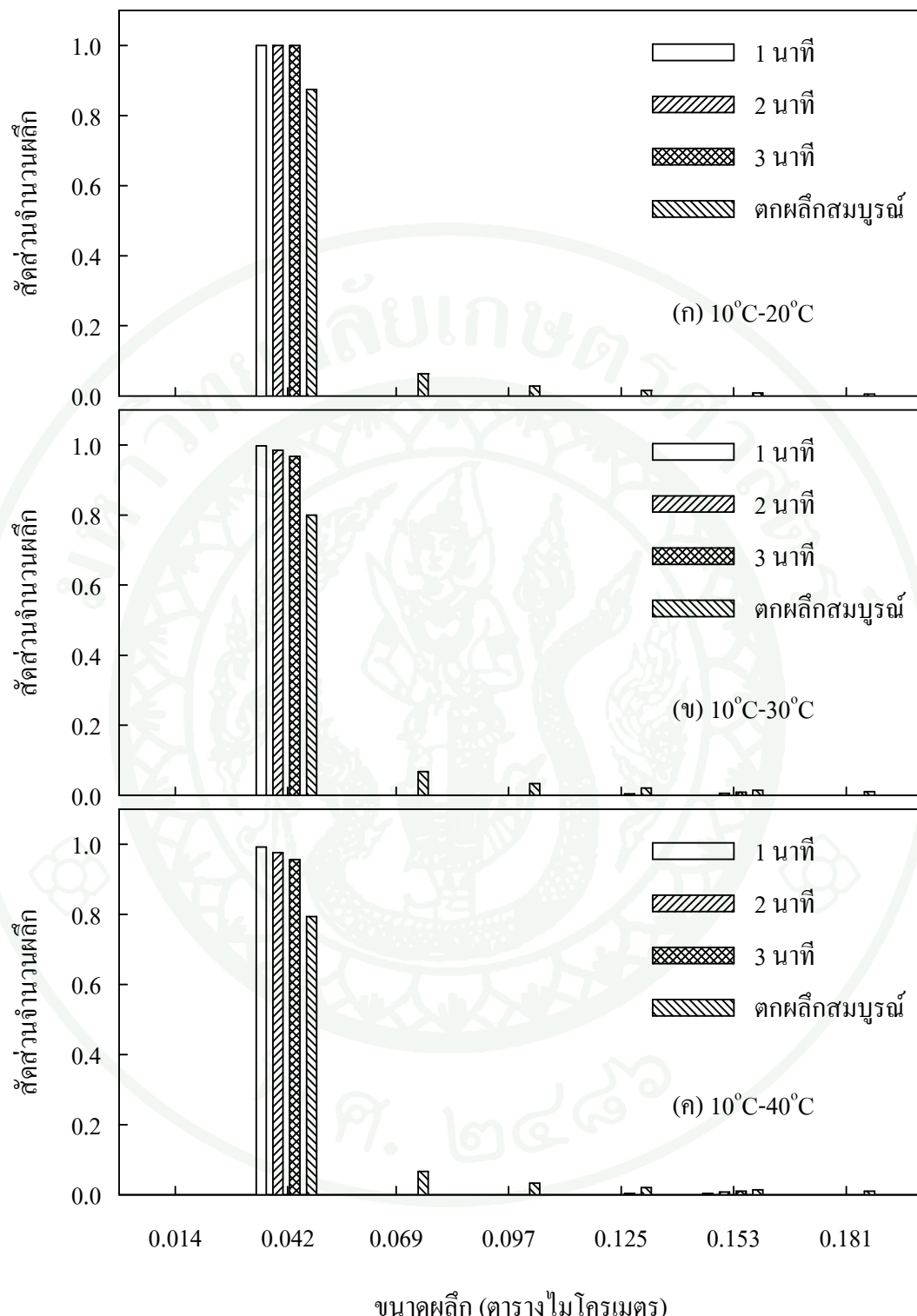
สรุปได้ว่าการตกลผลลัพธ์ให้สภาวะที่มีการเดินตัวของอุณหภูมิต่อสัมฐานวิทยาในช่วงระหว่างการตกลผลลัพธ์ทั้งขนาดเฉลี่ยของผลลัพธ์และการกระจายตัวของขนาดผลลัพธ์ โดยจะขึ้นอยู่กับช่วงของอุณหภูมิที่พิจารณาที่จะส่งผลกระทบต่ออัตราการเกิดนิวเคลียส ตำแหน่งนิวเคลียสและอัตราการเติบโตของผลลัพธ์ที่เปลี่ยนแปลงตามอุณหภูมิ



ภาพที่ 49 ผลกราฟจาก การทดลองผลึกภัยให้สภาวะที่มีเกรดียนต์ของอุณหภูมิต่อการกระจายตัวของขนาดผลึกในช่วงระหว่างการทดลองที่ช่วงอุณหภูมิต่างๆ ด้วยการเกิดนิวเคลียสแบบเอกพันธุ์ (ก) 10 ถึง 20 องศาเซลเซียส (ข) 20 ถึง 30 องศาเซลเซียส และ (ค) 30 ถึง 40 องศาเซลเซียส



ภาพที่ 50 ผลกระทบจากการตกผลึกภายในช่วงระหว่างการตกผลึกที่อุณหภูมิกึ่งกลาง 25 องศาเซลเซียส (ก) 20 ถึง 30 องศาเซลเซียส (ข) 15 ถึง 35 องศาเซลเซียส และ (ค) 10 ถึง 40 องศาเซลเซียส



ภาพที่ 51 ผลกราฟจาก การตกลักกภายในช่วงระหว่างการตกลักกที่อุณหภูมิ 10, 20 และ 30 องศาเซลเซียส สำหรับตัวอย่างที่มีกรดเดียนต์ของอุณหภูมิต่อการกระจายตัวของขนาดพลักกที่มีค่าเฉลี่ย 10, 20 และ 30 องศาเซลเซียส

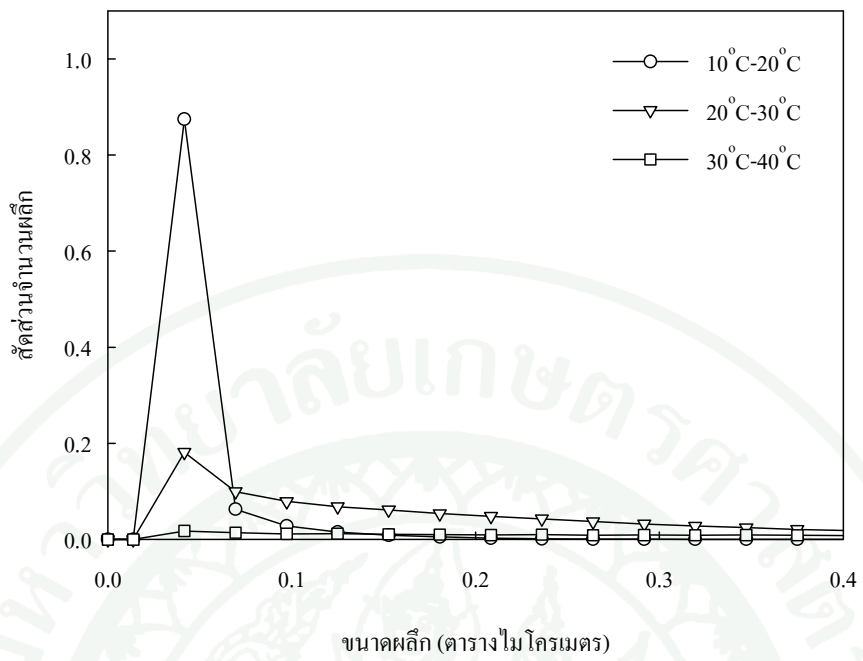
การศึกษาผลกระทบของการตอกผลึกภายในได้สภาวะที่มีเกรเดียนต์ของอุณหภูมิต่อสัณฐานวิทยาเมื่อตอกผลึกสมบูรณ์

จากการศึกษาผลกระทบของการตอกผลึกภายในได้สภาวะที่มีเกรเดียนต์ของอุณหภูมิที่ช่วงอุณหภูมิต่างๆ ต่อการกระจายตัวของขนาดผลึกเมื่อตอกผลึกสมบูรณ์ดังแสดงในภาพที่ 52 พบว่าเมื่อตอกผลึกในช่วงอุณหภูมิสูงขึ้นการกระจายตัวของขนาดผลึกจะกว้างขึ้นและผลึกส่วนใหญ่จะมีขนาดใหญ่ขึ้น เนื่องจากเมื่อตอกผลึกในช่วงอุณหภูมิสูงขึ้นอัตราการเกิดนิวเคลียสจะลดลง ทำให้ผลึกจะมีโอกาสชนกันได้ลดลง ผลึกจึงส่วนใหญ่จึงมีขนาดใหญ่ขึ้น

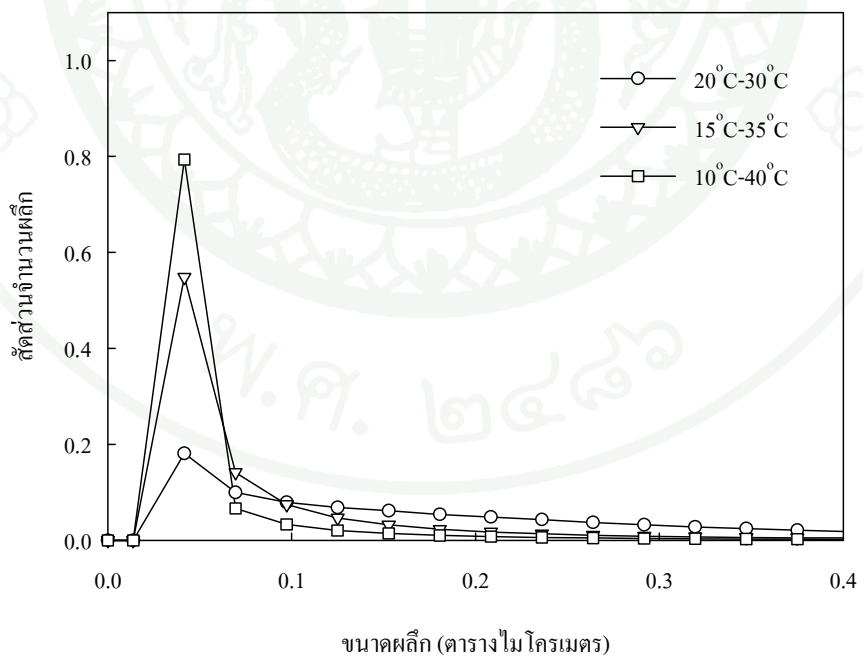
ในกรณีที่อุณหภูมิก่อให้เกิดการตอกผลึกภายในได้สภาวะที่มีเกรเดียนต์ของอุณหภูมิต่อการกระจายตัวของขนาดผลึกเมื่อตอกผลึกสมบูรณ์แสดงดังภาพที่ 53 พบว่าเมื่อเกรเดียนต์ของอุณหภูมิสูงขึ้น การกระจายตัวของขนาดผลึกจะแคบลงและผลึกส่วนใหญ่จะมีขนาดเล็กลง เนื่องจากที่การตอกผลึกภายในได้สภาวะที่มีเกรเดียนต์ของอุณหภูมิสูงจะมีอัตราการเกิดนิวเคลียสสูงมากขึ้น โดยนิวเคลียสจะเกิดหนาแน่นในบริเวณที่อุณหภูมิต่ำ จึงทำให้ผลึกส่วนใหญ่มีขนาดเล็กลง

อย่างไรก็ตามจากการศึกษาผลกระทบของการตอกผลึกภายในได้สภาวะที่มีเกรเดียนต์ของอุณหภูมิต่อการกระจายตัวของขนาดผลึกเมื่อตอกผลึกสมบูรณ์ที่กำหนดให้อุณหภูมิด้านซ้ายเท่ากับ 10 องศาเซลเซียส ดังแสดงในภาพที่ 54 พบว่าเมื่อเกรเดียนต์ของอุณหภูมิเพิ่มขึ้นทำให้การกระจายตัวของขนาดผลึกเมื่อตอกผลึกสมบูรณ์กว้างขึ้น เนื่องจากอัตราการเกิดนิวเคลียสลดลงทำให้โอกาสที่ผลึกจะชนกันได้ลดลง อย่างไรก็ตามจะเห็นได้ว่าในกรณีนี้การตอกผลึกภายในได้สภาวะที่มีเกรเดียนต์ของอุณหภูมิส่งผลต่อการกระจายตัวของขนาดผลึกเมื่อตอกผลึกสมบูรณ์น้อยมาก เนื่องจากเป็นช่วงที่มีจำนวนนิวเคลียสสูงมากถึงแม้ว่าเมื่อเกรเดียนต์ของอุณหภูมิเพิ่มขึ้นจะทำให้อัตราการเกิดผลึกลดลง ทำให้ผลึกส่วนใหญ่มีขนาดเล็กมากๆ จำนวนผลึกส่วนใหญ่จึงอยู่ในช่วงของขนาดที่เล็ก เช่นเดียวกัน

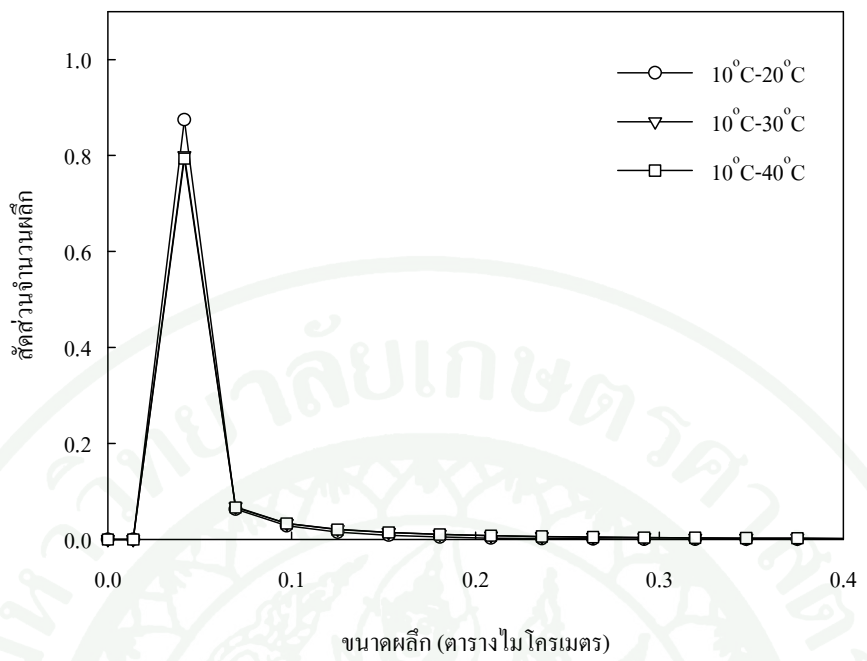
จึงสามารถสรุปได้ว่าการตอกผลึกภายในได้สภาวะที่มีเกรเดียนต์ของอุณหภูมิส่งผลกระทบต่อสัณฐานวิทยามากเมื่อตอกผลึกสมบูรณ์ ซึ่งจะขึ้นกับช่วงของอุณหภูมิที่พิจารณาเนื่องจากการเปลี่ยนแปลงของอุณหภูมิส่งผลกระทบต่ออัตราการเกิดนิวเคลียสและการกระจายตัวของตำแหน่งนิวเคลียส



ภาพที่ 52 ผลกระทบจากการตอกผลึกภายในให้สภาวะที่มีเกรดีเย็นต์ของอุณหภูมิต่อการกระจายตัวของขนาดผลึกเมื่อตอกผลึกสมบูรณ์ที่ช่วงอุณหภูมิต่างๆ ด้วยการเกิดนิวเคลียสแบบเอกพันธุ์



ภาพที่ 53 ผลกระทบจากการตอกผลึกภายในให้สภาวะที่มีเกรดีเย็นต์ของอุณหภูมิต่อการกระจายตัวของขนาดผลึกเมื่อตอกผลึกสมบูรณ์ที่อุณหภูมิกึ่งกลาง 25 องศาเซลเซียส



ภาพที่ 54 ผลกระทบจากการตกลดภัยได้สภาวะที่มีการเดินต์ของอุณหภูมิต่อการกระจายตัวของขนาดผลึกเมื่อตกลดลงในอุณหภูมิค้านซ้าย 10 องศาเซลเซียส

สรุปและข้อเสนอแนะ

การจำลองการเกิดนิวเคลียสของชนิดไอโอแทคติก พอดิโพรพิลีน ภายใต้สภาพที่มีการเดินต์ของอุณหภูมิด้วยการเกิดนิวเคลียสแบบวิชพันธุ์และเอกพันธุ์ โดยอุณหภูมิจะเปลี่ยนแปลงตามอุณหภูมิตามทิศทางแก่นอนเท่านั้น ผลกระทบของกรเดินต์ของอุณหภูมิทำให้นิวเคลียสส่วนใหญ่เกิดหนาแน่นในบริเวณที่อุณหภูมิต่ำและสเปียร์ໄโลที่จะมีลักษณะคล้ายกับวงรีซึ่งรูปร่างของสเปียร์ໄโลที่จะขึ้นกับช่วงอุณหภูมิและตำแหน่งที่พิจารณา

การจำลองการตกผลึกภายใต้สภาพที่มีการเดินต์ของอุณหภูมิ ด้วยการเกิดนิวเคลียสแบบวิชพันธุ์

งานวิจัยนี้ศึกษาในการจำลองการตกผลึกภายใต้สภาพที่มีการเดินต์ของอุณหภูมิด้วยการเกิดนิวเคลียสแบบวิชพันธุ์ เพื่อยืนยันความถูกต้องของการจำลองจึงเปรียบเทียบผลของชุดผลศาสตร์ของการตกผลึกจากการจำลองกับผลการทดลองจากงานวิจัยที่ผ่านมา (Pawlak and Piorkowska, 2001) พบว่ามีความสอดคล้องกันอย่างมาก ซึ่งจะบ่งชี้ได้ว่าผลการจำลองมีความถูกต้องในระดับหนึ่ง และพบว่าการจำลองการตกผลึกภายใต้สภาพที่มีการเดินต์ของอุณหภูมิมีอันตรายร้ายกว่าเดิม ซึ่งจะเห็นชัดเจนเมื่อการเดินต์ของอุณหภูมิสูงขึ้นและเวลาเพิ่มขึ้น นอกจากนี้การเดินต์ของอุณหภูมิจะส่งผลกระทบต่อชุดผลศาสตร์ของการตกผลึกและสัมฐานวิทยาในช่วงระหว่างการตกผลึก ได้แก่ ขนาดเฉลี่ยของผลึก การกระจายตัวของขนาดผลึกในช่วงระหว่างที่ตกผลึก ซึ่งต้องพิจารณาถึงช่วงของอุณหภูมิที่พิจารณาและช่วงอุณหภูมิที่ตกผลึก เนื่องจากการเปลี่ยนแปลงของอุณหภูมิจะส่งผลกระทบต่อความหนาแน่นของนิวเคลียส การกระจายตัวของตำแหน่งนิวเคลียสและอัตราการเกิดนิวเคลียส นอกจากนี้เมื่อตกผลึกสมบูรณ์แล้ว เกิดเดินต์ของอุณหภูมิยังจะส่งผลกระทบการกระจายตัวของขนาดผลึกเมื่อตกผลึกสมบูรณ์ เนื่องจากการเปลี่ยนแปลงของความหนาแน่นของนิวเคลียสและการกระจายตัวของตำแหน่งนิวเคลียสในช่วงอุณหภูมินั้น และพบว่าค่าเฉลี่ยของค่าคงที่อัตราการตกผลึกของ Avrami สามารถนำมาใช้เป็นตัวชี้วัดอัตราการการตกผลึกของการตกผลึกภายใต้สภาพที่มีการเดินต์ของอุณหภูมิได้ แต่ในบางกรณี เช่นที่อุณหภูมิกึ่งกลาง 80 องศาเซลเซียส ค่าเฉลี่ยของค่าคงที่อัตราการตกผลึกของ Avrami สามารถนำมาใช้พิจารณาในช่วงแรกของการตกผลึกเท่านั้น

การจำลองการตกผลึกภายในใต้สภาวะที่มีเกรดเดียนต์ของอุณหภูมิ ด้วยการเกิดนิวเคลียสแบบเอกพันธุ์

ในการจำลองการตกผลึกภายในใต้สภาวะที่มีเกรดเดียนต์ของอุณหภูมิด้วยการเกิดนิวเคลียสแบบเอกพันธุ์ พบว่าเกรดเดียนต์ของอุณหภูมิจะส่งผลกระทบต่อจนพลศาสตร์ของการตกผลึกและสัมฐานวิทยาในช่วงระหว่างการตกผลึก ได้แก่ ขนาดเฉลี่ยของผลึก การกระจายตัวของขนาดผลึก ในช่วงระหว่างที่ตกผลึก ซึ่งต้องพิจารณาถึงช่วงของอุณหภูมิที่ตกผลึก เนื่องจากการเปลี่ยนแปลงของอุณหภูมิจะส่งผลกระทบต่ออัตราการเกิดของนิวเคลียส การกระจายตัวของตำแหน่งนิวเคลียส และอัตราการเกิดนิวเคลียส นอกจานี้เมื่อตกผลึกสมบูรณ์เกรดเดียนต์ของอุณหภูมิยังจะส่งผลกระทบการกระจายตัวของขนาดผลึกเมื่อตกผลึกสมบูรณ์ เนื่องจากการเปลี่ยนแปลงของอัตราการเกิดของนิวเคลียสและการกระจายตัวของตำแหน่งนิวเคลียสในช่วงอุณหภูมนั้น และพบว่าค่าเฉลี่ยของค่าคงที่อัตราการตกผลึกของ Avrami สามารถนำมาใช้เป็นตัวชี้วัดอัตราการการตกผลึกของการตกผลึกภายในใต้สภาวะที่มีเกรดเดียนต์ของอุณหภูมิได้ แต่ในบางกรณี เช่น ที่อุณหภูมิค้างช้าย 10 องศาเซลเซียส ค่าเฉลี่ยของค่าคงที่อัตราการตกผลึกของ Avrami สามารถนำมาใช้พิจารณาในช่วงแรกของการตกผลึกเท่านั้น

เอกสารและสิ่งอ้างอิง

กัญญา ตระกูลกู. 2530. เทคโนโลยีพอลิเมอร์. คราฟแมนเพรส, กรุงเทพฯ.

พิมพารณ์ แซ่เตี๊ย และ เลิศชัยุตันน์ นิยมธรรมกิจ. 2551. การจำลองการตกผลึกของพอลิเมอร์
ภายใต้สภาพอุณหภูมิคงที่ในปริภูมิ 3 มิติ. โครงการวิศวกรรมเคมี,
มหาวิทยาลัยเกษตรศาสตร์.

วรัญญา วงศ์เทเวศน์ และ สุพกาญจน์ เจริญทรัพย์. 2549. การศึกษาสัณฐานวิทยาและการ
เจริญเติบโตของผลึกแบบ Spherulite ของพอลิไตรเมทิลีนเทอเรฟทาเลทโดยใช้เครื่อง
วิเคราะห์ Polarize Light Microscope. โครงการวิศวกรรมเคมี,
มหาวิทยาลัยเกษตรศาสตร์.

อุเทน นันทพูลทรัพย์. 2552. การจำลองพัฒนาการของสัณฐานวิทยาในช่วงระหว่างการเกิดผลึก
ภายใต้สภาพอุณหภูมิไม่คงที่ของพอลิเมอร์. วิทยานิพนธ์ปริญญาโท,
มหาวิทยาลัยเกษตรศาสตร์.

Anantawaraskul, S., S. Ketdee and P. Supaphol. 2009 Stochastic Simulation for Morphological
Development During the Isothermal Crystallization of Semicrystalline Polymer: A Case
Study of Syndiotactic Polypropylene. **Journal of Applied Polymer Science**, 11: 2260-
2268

Fokin, V. M., E. D., Zanotto, N. S., Yuritsyn and J.W.P. Schmelzer. 2006. Homogeneous
Crystal Nucleation in Silicate Glasses: A 40 Years Perspective. **Journal of Non-**
Crystalline Solids, 352: 2681-2714

Huang, T. and M. R. Kamal. 2000. Morphological Modeling of Polymer Solidification.
Polymer Engineering and Science, 40: 1796-1801

Huang, Y. and J. Petemann. 1990. Spherulite Growth of Polybutene-1 in a Thermal gradient.

Polymer Bulletin, 24: 649-656

Ketdee, S. 2006. **Simulation of Morphological Development during Isothermal Crystallization of Polymers**. M.S. Thesis, Kasetsart University.

_____ and S. Anantawaraskul. 2008. Simulation of Crystallization Kinetics and Morphological Development during Isothermal Crystallization of Polymer: Effect of Number of Nuclei and Growth Rate. **Chemical Engineering Communications**, 195: 1315-1327

Lamberti, G. and G. Titomanlio. 2005. Interaction between Light and Crystallizing Polymer: a Simulation Study. **European Polymer Journal**, 41: 2005-2066

Leephakpreeda, T. 2001. Mathematical Modeling of Solidification of Semicrystalline Polymers under Quiescent Non-isothermal Crystallite's Size. **Science Asia**, 27: 127-132

Okerberg, B. 2005. **Morphological Studies of Crystallization in Thin Films of PEO/PMMA Blends**. Ph.D. Thesis, Virginia Polytechnic Institute and State University.

Pawlak, A. and E. Piorkowska. 2001. Crystallization of Isotactic Polypropylene in a Temperature Gradient. **Colloid and Polymer Science**, 279:939-946

Piorkowska, E. 2002. Modeling of Polymer Crystallization in a Temperature Gradient. **Journal of Applied Polymer Science**, 86: 1351-1362

Raabe, D. 2004. Mesoscale Simulation of Spherulite Growth during Polymer Crystallization by Use of Cellular Automaton. **Acta Materialia**, 52: 2653-2664

Raabe, D. and A. Godora. 2005. Mesoscale Simulation of Kinetics and topology of Spherulite Growth during Crystallization of Isotactic Polypropylene (iPP) by Using a Cellular Automaton. **Modelling and Simulation in Material Science and Engineering.**, 13: 733-751

Rodriguez, F., C. Cohen, C. Ober, and L. Archer. 2003. **Principles of Polymer System.** 5th ed. Taylor & Francis, New York.

Santis, F., A. Vietri and R. Pantani. 2006. Morphology Evolution during Polymer Crystallization Simultaneous Calorimetric and Optical Measurements. **Macromolecular Symposia**, 234: 7-12

Schultz, J. M. 2001. **Polymer Crystallization: The Development of Crystalline Order in Thermoplastic Polymers.** American Chemical Society, Washington, D.C.

Supaphol, P. and J.E. Sprueill. 2000ก. Thermal Properties and Isothermal Crystallization of Syndiotactic Polypropylenes: Differential Scanning Calorimetry and Overall Crystallization Kinetics. **Journal of Applied Polymer Science**, 75: 44–59

_____ 2000ໜ. Regime crystallization in syndiotactic polypropylenes: re-evaluation of the literature data. **Polymer**, 41: 1205–1216

_____ 2000ກ. Crystalline Memory Effect in Isothermal Crystallization of Sydiotactic Polypropylene. **Journal of Applied Polymer Science**, 75: 337-346

_____ 2001. Isothermal Melt-and Cold-Crystallization Kinetics and Subsequent Melting Behavior in Sydiotactic Polypropylene: A Differential Scanning Calorimetry Study. **Polymer**, 42: 699-712

Vasile, C. 2000. **Handbook of Polyolefins.** 2nd Ed. Marcel Dekker Inc. New York.

Xu, H. and C. Bellehumeur. 2006. Morphology Development of Ethylene Copolymers in Rotational Molding. **Journal of Applied Polymer Science**, 102: 5903-5917

Yasuniwa, M., S. Tsubakihara, K. Iura and Y. Ono. 2006. Crystallization behavior of poly (L-lactic acid). **Polymer**, 47: 7554-7563





สิงหนาท ๑๗๖ มหาวิทยาลัยเกษตรศาสตร์

ตารางผนวกที่ 1 ค่าสัดส่วนความเป็นผลึกที่ช่วงอุณหภูมิต่างๆ ด้วยการเกิดนิวเคลียสแบบวิวัชพันธุ์

เวลา (นาที)	50°C	40°C-60°C	60°C	50°C-70°C	70°C	60°C-80°C	80°C	70°C-90°C	90°C	80°C-100°C
1	0.119011	0.112736	0.174139	0.152583	0.107199	0.104846	0.024703	0.03481	0.00135	0.004692
2	0.396170	0.365412	0.52914	0.47604	0.358533	0.340539	0.092765	0.123855	0.005449	0.017929
3	0.668380	0.612721	0.812026	0.754037	0.620981	0.57502	0.192255	0.237648	0.012129	0.038098
4	0.852502	0.783165	0.942939	0.905491	0.80529	0.742373	0.307285	0.352249	0.021312	0.063552
5	0.942674	0.881893	0.985755	0.966673	0.904936	0.84455	0.42652	0.45423	0.032859	0.092636
6	0.979019	0.935586	0.996872	0.988185	0.953417	0.904279	0.538015	0.539322	0.046552	0.124003
7	0.992940	0.964494	0.999181	0.995743	0.976606	0.940147	0.635532	0.608647	0.06251	0.15657
8	0.997753	0.98	0.999773	0.998501	0.987966	0.962258	0.720511	0.66487	0.080235	0.189504
9	0.999457	0.988603	0.999951	0.99948	0.994002	0.976136	0.789527	0.711075	0.099663	0.222205
10	0.999858	0.993439		1	0.999834	0.9973	0.985085	0.843992	0.749484	0.120827 0.254169
11	0.999979	0.996177		1	0.999953	0.999085	0.990794	0.884615	0.78188	0.143355 0.285211
12	1	0.997667		1	0.999989	0.999815	0.994472	0.914423	0.809711	0.167044 0.31502
13	1	0.998638		1	0.999998	0.999997	0.996793	0.936139	0.833772	0.191699 0.343453
14	1	0.99921		1	1	1	0.998199	0.952712	0.854819	0.217578 0.370474
15	1	0.99953		1	1	1	0.999047	0.964843	0.873207	0.244198 0.396029
16	1	0.999723		1	1	1	0.999541	0.974043	0.889468	0.271496 0.420193
17	1	0.999853		1	1	1	0.999799	0.980609	0.903975	0.299362 0.443074
18	1	0.999922		1	1	1	0.999923	0.985098	0.916936	0.327716 0.46484
19	1	0.999955		1	1	1	0.999976	0.988398	0.928528	0.356443 0.485384
20	1	0.999976		1	1	1	0.999995	0.99079	0.938967	0.385479 0.504949
22	1	0.999993		1	1	1	1	0.994175	0.956491	0.443944 0.541373
24	1	0.999999		1	1	1	1	0.996515	0.970189	0.502015 0.574518
26	1	1		1	1	1	1	0.997776	0.980543	0.558228 0.604894
28	1	1		1	1	1	1	0.998597	0.98802	0.610882 0.632963
30	1	1		1	1	1	1	0.999256	0.993158	0.659908 0.659143
32	1	1		1	1	1	1	0.999726	0.996428	0.705012 0.683631
34	1	1		1	1	1	1	0.999958	0.998328	0.745024 0.706686
36	1	1		1	1	1	1	1	0.999308	0.780969 0.728361
38	1	1		1	1	1	1	1	0.999754	0.813457 0.748918
40	1	1		1	1	1	1	1	0.999929	0.842257 0.76843

ตารางผนวกที่ 2 ค่าสัดส่วนความเป็นผลึกที่อุณหภูมิกึ่งกลาง 60 องศาเซลเซียส ด้วยการเกิดนิวเคลียสแบบวิวัธพันธุ์

เวลา (นาที)	60°C	55°C-65°C	50°C-70°C	45°C-75°C	40°C-80°C
0.5	0.04711	0.045674	0.040953	0.034858	0.029025
1	0.174275	0.169176	0.152583	0.13097	0.109549
1.5	0.348712	0.338271	0.308043	0.267539	0.225202
2	0.528364	0.516198	0.47604	0.419387	0.356369
2.5	0.684626	0.673554	0.629862	0.563894	0.485124
3	0.807177	0.795268	0.754037	0.686794	0.599425
3.5	0.888306	0.8794	0.844715	0.782575	0.693644
4	0.938965	0.932258	0.905491	0.852451	0.767592
4.5	0.967663	0.963022	0.94371	0.90084	0.823654
5	0.983086	0.98004	0.966673	0.933347	0.865953
5.5	0.991161	0.989175	0.980175	0.954895	0.897558
6	0.99535	0.994019	0.988185	0.969345	0.921529
6.5	0.997521	0.996675	0.992929	0.978981	0.939802
7	0.998641	0.99813	0.995743	0.985567	0.95371
7.5	0.99923	0.998934	0.997465	0.990001	0.964555
8	0.999551	0.999378	0.998501	0.993255	0.972876
8.5	0.999732	0.999622	0.999115	0.995473	0.979637
9	0.999836	0.999773	0.99948	0.997006	0.984657
9.5	0.999896	0.999864	0.999704	0.997982	0.9887
10	0.999933	0.999918	0.999834	0.998668	0.991592
11	0.999968	0.999971	0.999953	0.999428	0.995416
12	0.999982	0.999988	0.999989	0.999749	0.997636
13	0.99999	0.999996	0.999998	0.999892	0.998826
14	0.999995	0.999999	1	0.999953	0.99941
15	0.999998	1	1	0.999982	0.99973
16	1	1	1	0.999993	0.99987
17	1	1	1	0.999998	0.999933
18	1	1	1	1	0.999968
19	1	1	1	1	0.999984
20	1	1	1	1	0.999992

ตารางผนวกที่ 3 ค่าสัดส่วนความเป็นผลึกที่อุณหภูมิกึ่งกลาง 70 องศาเซลเซียส ด้วยการเกิดนิวเคลียสแบบวิวัชพันธุ์

เวลา (นาที)	70°C	60°C-80°C	50°C-90°C	40°C-100°C
1	0.10632	0.104846	0.094087	0.075069
2	0.354017	0.340539	0.302625	0.245092
3	0.617655	0.57502	0.502038	0.415984
4	0.808888	0.742373	0.638239	0.540908
5	0.916008	0.84455	0.72213	0.621979
6	0.965841	0.904279	0.776517	0.675835
7	0.98642	0.940147	0.815562	0.714417
8	0.994562	0.962258	0.846265	0.744554
9	0.9978	0.976136	0.871582	0.769304
10	0.999084	0.985085	0.892938	0.790203
11	0.999599	0.990794	0.91145	0.808749
12	0.999817	0.994472	0.927508	0.825415
13	0.999914	0.996793	0.941537	0.840579
14	0.999962	0.998199	0.953778	0.854715
15	0.999983	0.999047	0.964253	0.867814
16	1	0.999541	0.973177	0.880226
17	1	0.999799	0.980469	0.891927
18	1	0.999923	0.986339	0.903027
19	1	0.999976	0.9909	0.91367
20	1	0.999995	0.994236	0.923756
22	1	1	0.998071	0.942683
24	1	1	0.999469	0.959836
26	1	1	0.999888	0.975114
28	1	1	0.99999	0.987541
30	1	1	1	0.995622
32	1	1	1	0.999059
34	1	1	1	0.999898
36	1	1	1	0.999993
38	1	1	1	1
40	1	1	1	1

ตารางผนวกที่ 4 ค่าสัดส่วนความเป็นผลึกที่อุณหภูมิกึ่งกลาง 80 องศาเซลเซียส ด้วยการเกิดนิวเคลียสแบบวิวัชพันธุ์

เวลา (นาที)	80°C	75°C-85°C	70°C-90°C	65°C-95°C	60°C-100°C
1	0.024592	0.026734	0.03481	0.044911	0.054698
2	0.092724	0.09953	0.123855	0.152474	0.179243
3	0.193531	0.202805	0.237648	0.275688	0.30892
4	0.313311	0.319428	0.352249	0.384508	0.409659
5	0.438424	0.435294	0.45423	0.470153	0.48126
6	0.557679	0.541322	0.539322	0.53567	0.533296
7	0.661878	0.632688	0.608647	0.586768	0.573236
8	0.748967	0.708395	0.66487	0.628012	0.605861
9	0.817916	0.769295	0.711075	0.662667	0.633597
10	0.8705	0.817418	0.749484	0.692573	0.65786
11	0.909223	0.855298	0.78188	0.71894	0.67965
12	0.936808	0.884981	0.809711	0.742575	0.699525
13	0.956351	0.908331	0.833772	0.764007	0.717823
14	0.970015	0.926869	0.854819	0.783661	0.734757
15	0.979391	0.941584	0.873207	0.801792	0.750658
16	0.985695	0.953486	0.889468	0.818656	0.765642
17	0.990033	0.963134	0.903975	0.834345	0.779889
18	0.993069	0.97094	0.916936	0.849059	0.793378
19	0.995142	0.977238	0.928528	0.862788	0.806252
20	0.996586	0.982294	0.938967	0.875693	0.818507
22	0.998278	0.989608	0.956491	0.899223	0.841525
24	0.999104	0.994272	0.970189	0.92013	0.862785
26	0.999532	0.996977	0.980543	0.93855	0.882533
28	0.999763	0.998515	0.98802	0.954439	0.901015
30	0.999889	0.999327	0.993158	0.967892	0.918397
32	0.999958	0.999725	0.996428	0.978819	0.93452
34	0.999993	0.999924	0.998328	0.987228	0.949634
36	0.999999	0.999984	0.999308	0.993065	0.963476
38	1	1	0.999754	0.996757	0.975622
40	1	1	0.999929	0.998751	0.985738

ตารางผนวกที่ 5 ค่าสัดส่วนความเป็นผลึกที่อุณหภูมิค้านซ้าย 40 องศาเซลเซียส ด้วยการเกิดนิวเคลียสแบบวิวัชพันธุ์

เวลา (นาที)	40°C-60°C	40°C-80°C	40°C-100°C
1	0.112736	0.109549	0.075069
2	0.365412	0.356369	0.245092
3	0.612721	0.599425	0.415984
4	0.783165	0.767592	0.540908
5	0.881893	0.865953	0.621979
6	0.935586	0.921529	0.675835
7	0.964494	0.95371	0.714417
8	0.98	0.972876	0.744554
9	0.988603	0.984657	0.769304
10	0.993439	0.991592	0.790203
11	0.996177	0.995416	0.808749
12	0.997667	0.997636	0.825415
13	0.998638	0.998826	0.840579
14	0.99921	0.99941	0.854715
15	0.99953	0.99973	0.867814
16	0.999723	0.99987	0.880226
17	0.999853	0.999933	0.891927
18	0.999922	0.999968	0.903027
19	0.999955	0.999984	0.91367
20	0.999976	0.999992	0.923756
22	0.999993	0.999999	0.942683
24	0.999999	1	0.959836
26	1	1	0.975114
28	1	1	0.987541
30	1	1	0.995622
32	1	1	0.999059
34	1	1	0.999898
36	1	1	0.999993
38	1	1	1
40	1	1	1

ตารางผนวกที่ 6 ค่าสัดส่วนจำนวนผลึกเมื่อตกลงผลึกสมบูรณ์ที่ช่วงอุณหภูมิต่างๆ ด้วยการเกิด^{นิวเคลียสแบบวิวัธพันธุ์}

ขนาดผลึก (ตารางไมล์โตรเมตร)	40°C-60°C	50°C-70°C	60°C-80°C	70°C-90°C	80°C-100°C
10	0.015013	0.007006	0.002118	0.000382	0.000188
30	0.070514	0.034372	0.009682	0.001741	0.000188
50	0.122811	0.065359	0.018678	0.003143	0.000376
70	0.143714	0.084279	0.028901	0.00514	0
90	0.140793	0.094788	0.037327	0.006626	0.000563
110	0.123369	0.095228	0.042264	0.009769	0.000188
130	0.099743	0.088963	0.045141	0.009047	0.001127
150	0.076035	0.081231	0.048616	0.012573	0.00169
170	0.05781	0.070358	0.048981	0.01219	0.000188
190	0.042626	0.060528	0.04958	0.014654	0.001878
210	0.030592	0.050921	0.047419	0.01682	0.001127
230	0.02134	0.042405	0.044848	0.015843	0.001878
250	0.015863	0.036182	0.040701	0.01699	0.00263
270	0.011165	0.030177	0.039007	0.017372	0.002442
290	0.007754	0.02473	0.036305	0.017712	0.00169
310	0.005751	0.020157	0.035341	0.018477	0.002066
330	0.00392	0.017249	0.0308	0.018392	0.003757
350	0.002714	0.013998	0.029558	0.018349	0.00169
370	0.002169	0.011767	0.026433	0.018647	0.00263
390	0.001548	0.010033	0.025644	0.018859	0.002066
410	0.001328	0.008041	0.022519	0.019496	0.002442
430	0.000896	0.007446	0.020737	0.018477	0.002442
450	0.000585	0.006523	0.018678	0.017118	0.00263
470	0.000455	0.004845	0.016488	0.018222	0.003005
490	0.000378	0.004531	0.015582	0.017415	0.00263
510	0.000252	0.003566	0.014341	0.014739	0.003381
530	0.000243	0.003517	0.013085	0.015716	0.003757
550	0.000117	0.002776	0.011698	0.017712	0.003381
570	0.000113	0.002426	0.01126	0.015971	0.003569
590	8.55E-05	0.00216	0.009697	0.015546	0.002817

**ตารางผนวกที่ 7 ค่าสัดส่วนจำนวนผลึกเมื่อตกลงผลึกสมบูรณ์ที่อุณหภูมิกึ่งกลาง 60 องศาเซลเซียส
ด้วยการเกิดนิวเคลียสแบบวิธีพันธุ์**

ขนาดผลึก (ตารางไมโครเมตร)	60°C	55°C-65°C	50°C-70°C	45°C-75°C	40°C-80°C
10	0.003816	0.004578	0.007006	0.009249	0.0127
30	0.020504	0.024676	0.034372	0.045246	0.059441
50	0.043759	0.050211	0.065359	0.080417	0.098984
70	0.066766	0.072475	0.084279	0.10124	0.114782
90	0.079794	0.086954	0.094788	0.108588	0.114033
110	0.089305	0.092102	0.095228	0.097778	0.101175
130	0.09234	0.090885	0.088963	0.087411	0.085309
150	0.08905	0.085956	0.081231	0.07418	0.067924
170	0.082064	0.079064	0.070358	0.061413	0.055142
190	0.074291	0.069739	0.060528	0.050207	0.043451
210	0.064957	0.060084	0.050921	0.042214	0.034996
230	0.05573	0.051062	0.042405	0.034602	0.02821
250	0.046901	0.043024	0.036182	0.030106	0.023134
270	0.038823	0.036132	0.030177	0.023098	0.018394
290	0.031901	0.028558	0.02473	0.019456	0.015317
310	0.025766	0.023565	0.020157	0.016562	0.012398
330	0.020582	0.019487	0.017249	0.013627	0.010791
350	0.015475	0.01571	0.013998	0.011365	0.009142
370	0.013121	0.012433	0.011767	0.009874	0.008002
390	0.010433	0.010668	0.010033	0.008756	0.007198
410	0.00766	0.008186	0.008041	0.007341	0.006058
430	0.00617	0.006568	0.007446	0.007001	0.005474
450	0.004546	0.005232	0.006523	0.005599	0.004939
470	0.003582	0.004255	0.004845	0.005239	0.00452
490	0.003	0.003368	0.004531	0.004739	0.0043
510	0.00222	0.00275	0.003566	0.004323	0.003434
530	0.001574	0.002335	0.003517	0.003983	0.003256
550	0.001504	0.001913	0.002776	0.003296	0.00285
570	0.000957	0.001568	0.002426	0.003053	0.002899
590	0.000695	0.001188	0.00216	0.002477	0.00283

**ตารางผนวกที่ 8 ค่าสัดส่วนจำนวนผลึกเมื่อตกลงผลึกสมบูรณ์ที่อุณหภูมิกึ่งกลาง 70 องศาเซลเซียส
ด้วยการเกิดนิวเคลียสแบบวิธีพันธุ์**

ขนาดผลึก (ตารางไมโครเมตร)	70°C	60°C-80°C	50°C-90°C	40°C-100°C
10	0.000593	0.002118	0.006538	0.013644
30	0.003123	0.009682	0.030443	0.061787
50	0.006011	0.018678	0.057856	0.099513
70	0.009930	0.028901	0.074105	0.11229
90	0.014380	0.037327	0.079742	0.108397
110	0.019330	0.042264	0.079285	0.096538
130	0.022765	0.045141	0.073913	0.081764
150	0.027996	0.048616	0.069694	0.06572
170	0.031446	0.048981	0.060981	0.050846
190	0.034335	0.04958	0.052136	0.042143
210	0.035880	0.047419	0.045165	0.033147
230	0.037598	0.044848	0.03805	0.026663
250	0.040081	0.040701	0.032329	0.02156
270	0.041377	0.039007	0.027498	0.018102
290	0.039924	0.036305	0.023496	0.01438
310	0.039034	0.035341	0.01941	0.011647
330	0.037941	0.0308	0.017475	0.010115
350	0.038144	0.029558	0.014578	0.008521
370	0.038176	0.026433	0.013593	0.007473
390	0.036021	0.025644	0.012018	0.006192
410	0.034132	0.022519	0.009999	0.006141
430	0.033257	0.020737	0.008833	0.004841
450	0.030025	0.018678	0.008076	0.004205
470	0.028620	0.016488	0.007511	0.004094
490	0.027574	0.015582	0.005985	0.00362
510	0.024810	0.014341	0.005877	0.003187
530	0.023983	0.013085	0.005552	0.003035
550	0.021250	0.011698	0.00506	0.002783
570	0.020907	0.01126	0.004639	0.002007
590	0.018690	0.009697	0.004639	0.002027

**ตารางผนวกที่ 9 ค่าสัดส่วนจำนวนผลลัพธ์เมื่อตอกผลลัพธ์สมบูรณ์ที่อุณหภูมิกึ่งกลาง 80 องศาเซลเซียส
ด้วยการเกิดนิวเคลียสแบบวิธีพันธุ์**

ขนาดผลลัพธ์ (ตารางไมโครเมตร)	80°C	75°C-85°C	70°C-90°C	65°C-95°C	60°C-100°C
10	0	0.000239	3.82E-04	0.00089	0.002134
30	0.000421	0.000399	0.001741	0.004209	0.009346
50	0.000526	0.000638	3.14E-03	0.007699	0.019285
70	0.000211	0.000638	0.00514	0.012284	0.027767
90	0.000947	0.001754	6.63E-03	0.016834	0.033223
110	0.001053	0.003269	0.009769	0.019777	0.038382
130	0.001368	0.003827	0.009047	0.024293	0.041056
150	0.001053	0.004226	1.26E-02	0.025662	0.043757
170	0.001789	0.003987	1.22E-02	0.024909	0.044621
190	0.002105	0.00598	0.014654	0.028331	0.04246
210	0.002737	0.006538	1.68E-02	0.02881	0.039111
230	0.003368	0.008212	1.58E-02	0.029084	0.036437
250	0.004	0.008531	1.70E-02	0.029289	0.036653
270	0.004632	0.005581	1.74E-02	0.029255	0.035356
290	0.004	0.007654	1.77E-02	0.028091	0.032817
310	0.006316	0.009648	0.018477	0.028399	0.03144
330	0.004632	0.011641	1.84E-02	0.026689	0.026416
350	0.005684	0.009648	1.83E-02	0.024944	0.0262
370	0.006	0.010684	0.018647	0.022891	0.022824
390	0.007579	0.013953	1.89E-02	0.021522	0.021608
410	0.006947	0.011481	0.019496	0.022377	0.019609
430	0.008	0.010844	1.85E-02	0.020188	0.016773
450	0.008947	0.011003	1.71E-02	0.020222	0.015477
470	0.008105	0.012199	1.82E-02	0.018545	0.014099
490	0.007684	0.009807	1.74E-02	0.018169	0.014423
510	0.008737	0.011162	0.014739	0.016424	0.012695
530	0.010211	0.010764	1.57E-02	0.017416	0.011506
550	0.010211	0.012199	1.77E-02	0.015466	0.012236
570	0.010737	0.012917	1.60E-02	0.014576	0.009778
590	0.010632	0.014432	1.55E-02	0.013242	0.009373

**ตารางผนวกที่ 10 ก่าสัดส่วนจำนวนผลึกเมื่อตกผลึกสมบูรณ์ที่อุณหภูมิค้านซ้าย 40 องศาเซลเซียส
ด้วยการเกิดนิวเคลียสแบบวิวัชพันธุ์**

ขนาดผลึก (ตารางไมโครเมตร)	40°C-60°C	40°C-80°C	40°C-100°C
10	0.015013	0.0127	0.013644
30	0.070514	0.059441	0.061787
50	0.122811	0.098984	0.099513
70	0.143714	0.114782	0.11229
90	0.140793	0.114033	0.108397
110	0.123369	0.101175	0.096538
130	0.099743	0.085309	0.081764
150	0.076035	0.067924	0.06572
170	0.05781	0.055142	0.050846
190	0.042626	0.043451	0.042143
210	0.030592	0.034996	0.033147
230	0.02134	0.02821	0.026663
250	0.015863	0.023134	0.02156
270	0.011165	0.018394	0.018102
290	0.007754	0.015317	0.01438
310	0.005751	0.012398	0.011647
330	0.00392	0.010791	0.010115
350	0.002714	0.009142	0.008521
370	0.002169	0.008002	0.007473
390	0.001548	0.007198	0.006192
410	0.001328	0.006058	0.006141
430	0.000896	0.005474	0.004841
450	0.000585	0.004939	0.004205
470	0.000455	0.00452	0.004094
490	0.000378	0.0043	0.00362
510	0.000252	0.003434	0.003187
530	0.000243	0.003256	0.003035
550	0.000117	0.00285	0.002783
570	0.000113	0.002899	0.002007
590	8.55E-05	0.00283	0.002027

ตารางผนวกที่ 11 ค่าสัดส่วนความเป็นผลึกที่ช่วงอุณหภูมิต่างๆ ด้วยการเกิดนิวเคลียสแบบเอกพันธุ์

เวลา (นาที)	10°C-20°C	20°C-30°C	30°C-40°C
1	0.209488	0.021146	0.024007
2	0.354449	0.07793	0.172437
3	0.459721	0.210205	0.466952
4	0.539349	0.413279	0.766781
5	0.609641	0.62831	0.935223
6	0.678764	0.798549	0.988119
7	0.747717	0.904177	0.998281
8	0.810238	0.959841	0.999209
9	0.862769	0.98565	0.999782
10	0.905968	0.99542	0.999891
11	0.938171	0.998709	0.999932
12	0.960416	0.999675	0.999982
13	0.975234	0.999917	1
14	0.984809	0.999978	1
15	0.990894	0.999992	1
16	0.994628	0.999997	1
17	0.996911	0.999998	1
18	0.998249	0.999998	1
19	0.999025	0.999998	1
20	0.999459	0.999999	1
21	0.999698	1	1
22	0.999838	1	1
23	0.99991	1	1
24	0.999961	1	1
25	0.999982	1	1
26	0.99999	1	1
27	0.999995	1	1
28	0.999997	1	1
29	0.999999	1	1
30	1	1	1

ตารางผนวกที่ 12 ค่าสัดส่วนความเป็นผลึกที่อุณหภูมิกึ่งกลาง 25 องศาเซลเซียส ด้วยการเกิด^{นิวเคลียสแบบเอกพันธุ์}

เวลา (นาที)	20°C-30°C	15°C-35°C	10°C-40°C
1	0.021146	0.039091	0.084636
2	0.07793	0.120166	0.199743
3	0.210205	0.271316	0.376266
4	0.413279	0.464637	0.572317
5	0.62831	0.641058	0.724995
6	0.798549	0.76851	0.822581
7	0.904177	0.851238	0.883645
8	0.959841	0.904487	0.923428
9	0.98565	0.939636	0.949778
10	0.99542	0.962606	0.967458
11	0.998709	0.977741	0.97919
12	0.999675	0.987366	0.986918
13	0.999917	0.993216	0.991851
14	0.999978	0.996858	0.99504
15	0.999992	0.998694	0.997017
16	0.999997	0.999471	0.998224
17	0.999998	0.99979	0.998976
18	0.999998	0.99992	0.999411
19	0.999998	0.999969	0.999675
20	0.999999	0.999988	0.999826
21	1	1	0.999906
22	1	1	0.999949
23	1	1	0.999972
24	1	1	0.999985
25	1	1	0.999992
26	1	1	0.999995
27	1	1	0.999998
28	1	1	0.999999
29	1	1	1
30	1	1	1

ตารางผนวกที่ 13 ค่าสัดส่วนความเป็นผลึกที่อุณหภูมิด้านซ้าย 10 องศาเซลเซียส ด้วยการเกิดนิวเคลียสแบบเอกพันธุ์

เวลา (นาที)	10°C-20°C	10°C-30°C	10°C-40°C
1	0.209488	0.117239	0.084636
2	0.354449	0.219518	0.199743
3	0.459721	0.337429	0.376266
4	0.539349	0.475973	0.572317
5	0.609641	0.617605	0.724995
6	0.678764	0.737088	0.822581
7	0.747717	0.824887	0.883645
8	0.810238	0.884883	0.923428
9	0.862769	0.924631	0.949778
10	0.905968	0.951364	0.967458
11	0.938171	0.969055	0.97919
12	0.960416	0.980561	0.986918
13	0.975234	0.987997	0.991851
14	0.984809	0.992715	0.99504
15	0.990894	0.995652	0.997017
16	0.994628	0.997446	0.998224
17	0.996911	0.998547	0.998976
18	0.998249	0.999179	0.999411
19	0.999025	0.999541	0.999675
20	0.999459	0.999757	0.999826
21	0.999698	0.999872	0.999906
22	0.999838	0.999936	0.999949
23	0.99991	0.999964	0.999972
24	0.999961	0.99998	0.999985
25	0.999982	0.99999	0.999992
26	0.99999	0.999994	0.999995
27	0.999995	0.999998	0.999998
28	0.999997	0.999999	0.999999
29	0.999999	1	1
30	1	1	1

ตารางผนวกที่ 14 ก่าสัคส่วนจำนวนผลึกเมื่อตกลงผลึกสมบูรณ์ที่ช่วงอุณหภูมิต่างๆ ด้วยการเกิดนิวเคลียสแบบเอกพันธุ์

ขนาดผลึก (ตารางไมโครเมตร)	10°C-20°C	20°C-30°C	30°C-40°C
0.013889	0	0	0
0.041667	0.874482	0.181155	0.017632
0.069444	0.062976	0.099651	0.014238
0.097222	0.02803	0.078934	0.011603
0.125	0.015107	0.068078	0.011811
0.152778	0.008643	0.061715	0.010731
0.180556	0.004973	0.053849	0.010238
0.208333	0.00277	0.048194	0.009214
0.236111	0.001537	0.043125	0.010143
0.263889	0.000754	0.036965	0.008778
0.291667	0.000369	0.032261	0.009233
0.319444	0.000189	0.027774	0.00893
0.347222	0.000102	0.024258	0.009195
0.375	3.93E-05	0.020932	0.008968
0.402778	1.90E-05	0.018072	0.008152
0.430556	5.73E-06	0.016237	0.008114
0.458333	1.58E-06	0.014283	0.008892
0.486111	9.88E-07	0.012637	0.007413
0.513889	9.88E-07	0.011307	0.007489
0.541667	0	0.010133	0.006825
0.569444	0	0.009316	0.007147
0.597222	0	0.008179	0.00656
0.625	0	0.007662	0.007944
0.652778	0	0.00683	0.006332
0.680556	0	0.00618	0.00764
0.708333	0	0.005644	0.007602
0.736111	0	0.005374	0.006977
0.763889	0	0.004972	0.006901
0.791667	0	0.004596	0.006389
0.819444	0	0.004303	0.006503

**ตารางผนวกที่ 15 ค่าสัดส่วนจำนวนผลึกเมื่อตกลงสู่สมบูรณ์ที่อุณหภูมิกึ่งกลาง 25 องศาเซลเซียส
ด้วยการเกิดนิวเคลียสแบบเอกพันธุ์**

ขนาดผลึก (ตารางไมโครเมตร)	20°C-30°C	15°C-35°C	10°C-40°C
0.013889	0	0	0
0.041667	0.181155	0.548549	0.793858
0.069444	0.099651	0.141156	0.06628
0.097222	0.078934	0.074303	0.032912
0.125	0.068078	0.046474	0.020386
0.152778	0.061715	0.032089	0.014315
0.180556	0.053849	0.022968	0.010239
0.208333	0.048194	0.017349	0.00764
0.236111	0.043125	0.01341	0.005923
0.263889	0.036965	0.01053	0.004679
0.291667	0.032261	0.008528	0.003818
0.319444	0.027774	0.007178	0.003228
0.347222	0.024258	0.006023	0.002708
0.375	0.020932	0.005175	0.002371
0.402778	0.018072	0.004602	0.002042
0.430556	0.016237	0.003969	0.001801
0.458333	0.014283	0.003644	0.001556
0.486111	0.012637	0.003178	0.00144
0.513889	0.011307	0.002817	0.001283
0.541667	0.010133	0.002527	0.00116
0.569444	0.009316	0.002383	0.001054
0.597222	0.008179	0.002102	0.000963
0.625	0.007662	0.001951	0.000906
0.652778	0.00683	0.001722	0.000774
0.680556	0.00618	0.001604	0.000732
0.708333	0.005644	0.001538	0.000662
0.736111	0.005374	0.001402	0.000649
0.763889	0.004972	0.001329	0.000618
0.791667	0.004596	0.001281	0.000569
0.819444	0.004303	0.001087	0.000516

ตารางผนวกที่ 16 ค่าสัดส่วนจำนวนผลลัพธ์เมื่อตกลงผลลัพธ์สมบูรณ์ที่อุณหภูมิค้านซ้าย 10 องศาเซลเซียส
ด้วยการเกิดนิวเคลียสแบบเอกพันธุ์

ขนาดผลลัพธ์ (ตารางไม่โครเมตร)	10°C-20°C	10°C-30°C	10°C-40°C
0.013889	0	0	0
0.041667	0.874482	0.79995	0.793858
0.069444	0.062976	0.067705	0.06628
0.097222	0.02803	0.033529	0.032912
0.125	0.015107	0.020845	0.020386
0.152778	0.008643	0.014461	0.014315
0.180556	0.004973	0.010329	0.010239
0.208333	0.00277	0.00759	0.00764
0.236111	0.001537	0.005909	0.005923
0.263889	0.000754	0.004608	0.004679
0.291667	0.000369	0.003749	0.003818
0.319444	0.000189	0.003099	0.003228
0.347222	0.000102	0.002601	0.002708
0.375	3.93E-05	0.002202	0.002371
0.402778	1.90E-05	0.001938	0.002042
0.430556	5.73E-06	0.001664	0.001801
0.458333	1.58E-06	0.001512	0.001556
0.486111	9.88E-07	0.001295	0.00144
0.513889	9.88E-07	0.001175	0.001283
0.541667	0	0.001078	0.00116
0.569444	0	0.000934	0.001054
0.597222	0	0.000868	0.000963
0.625	0	0.000756	0.000906
0.652778	0	0.000727	0.000774
0.680556	0	0.000668	0.000732
0.708333	0	0.000613	0.000662
0.736111	0	0.000556	0.000649
0.763889	0	0.000513	0.000618
0.791667	0	0.000491	0.000569
0.819444	0	0.000459	0.000516

ประวัติการศึกษาและการทำงาน

ชื่อ – นามสกุล	นางสาวฐิติพร สุขสด
วัน เดือน ปี ที่เกิด	12 กันยายน พ.ศ. 2527
สถานที่เกิด	อำเภอพระพุทธบาท จังหวัดสระบุรี
ประวัติการศึกษา	วศ.บ. (เคมี) มหาวิทยาลัยศรีนครินทรวิโรฒ (2550)
ตำแหน่งหน้าที่การทำงานปัจจุบัน	นิสิตปริญญาโท ภาควิชาวิศวกรรมเคมี คณะวิศวกรรมศาสตร์ มหาวิทยาลัยเกษตรศาสตร์ โครงการพัฒนาบัณฑิตศึกษาและวิจัยด้านวิศวกรรมเคมี ภายใต้ศูนย์ความเป็นเลิศแห่งชาติด้านปิโตรเคมี ปิโตรเคมี และวัสดุขั้นสูง
ทุนการศึกษาที่ได้รับ	